



Title	大気圧中大出力マイクロ波プラズマに関する研究
Author(s)	小林, 明
Citation	大阪大学, 1976, 博士論文
Version Type	VoR
URL	https://hdl.handle.net/11094/662
rights	
Note	

The University of Osaka Institutional Knowledge Archive : OUKA

<https://ir.library.osaka-u.ac.jp/>

The University of Osaka

大気圧中大出力マイクロ波プラズマに関する研究

昭和51年6月

小林 明

目 次

16

序 論

1

第1章 実験装置 及び実験方法

5

1-1 実験装置

5

(1) マイクロ波発生装置

5

(2) プラズマ生成装置

7

1-2 マイクロ波による大気圧プラズマの生成

15

1-3 結言

18

第2章 測定方法

19

2-1 分光測定

20

2-2 干渉測定

29

第3章 大気圧マイクロ波プラズマビームに関する基礎的実験

33

3-1 マイクロ波プラズマビームの電力吸収特性

34

3-2 作動ガス液体の流速分布とそのプラズマに及ぼす影響

38

3-3 マイクロ波プラズマビームの形状と容積特性

44

3-4 大気圧マイクロ波プラズマビームのサーマル・ピニチ効果

47

(1) サーマル・ピニチ効果に及ぼす管径の影響

47

(2) プラズマビームの各パラメータに及ぼす水素の影響

49

3-5 水素プラズマビームの諸特性

52

3-6 結言

54

第4章	大気圧プラズマにおける中性粒子の挙動 とその考察	55
4-1	レーザー干涉実験	56
4-2	気体壁に関する考察	58
(1)	Meierovich の理論	58
(2)	実験結果への Meierovich の理論の適用	59
4-3	マイクロ波プラズマビームにおける中性 の粒子密度と温度	62
(1)	入射電力依存性	62
(2)	水素流量依存性	63
4-4	結言	65
第5章	マイクロ波水素プラズマの熱平衡に関する考察	66
5-1	プラズマの熱平衡条件	67
5-2	水素プラズマの熱平衡に関する実験と考 察	70
5-3	結言	73
第6章	大気圧マイクロ波プラズマビームに関する 理論的考察	74
6-1	問題の設定及び解析方法	75
(1)	基礎式	76
(2)	プラズマ中の電界	78
(3)	熱束の導入	80
6-2	マイクロ波プラズマビームの物理的特性	83
(1)	マイクロ波エネルギーの吸収特性	83
(2)	プラズマビームの速度と直径に及ぼすマ イクロ波エネルギーの影響	85
(3)	管壁によるサーマル・ピンチ効果の理論	

的考察	87
6-3 実験結果への適用	88
(1) ガス流体の軸方向分速を考慮したエンゼル ギー平衡理論	88
(2) 実験結果への適用と考察	90
6-4 結言	93
結論	94
謝辞	96
参考文献	97
Appendix A	99
Appendix B	101
Appendix C	105

序 論

本論文は、大出力マイクロ波によって生成して生成して大気圧中のプラズマについて研究したものである。

大気圧気体中のプラズマは、真空中の高密度プラズマと比較して、容器壁からの不純物がプラズマ中に混入するのを避けることができる、回転気体によってプラズマのMHD不安定性を抑制できることなど、多くの利点を持つということが、これまで多くの研究者によって理論的に明らかにされている¹⁾。このことは、定常プラズマの研究にとって非常に好都合な性質である。

ところが、大気圧気体中のプラズマでは、プラズマが高温になると熱伝導によるエネルギー損失が非常に大きくなり、その高温状態の保持のために非常に大きなエネルギーが必要になる。しかし、簡単な計算で既に Alfvén 等²⁾ (1960) が指摘しているように、強磁場中ではこの熱伝導損失が著しく抑制され、いわゆる“気体絶縁”的状態になるといわれている。したがって、もしこの状態が実現されるならば、比較的小さなエネルギーで高温のプラズマを保持することができる。

強磁場中で熱伝導損失を小さく定常高密度プラズマの実験的研究は、数 Torr 程度の気体圧力の下にあるアーケーク・プラズマで行われているが³⁾、大気圧状態のものは全くなく、かつ、アーケークの場合には電極からの不純物の問題やシースの影響など多くの難点が存在する。

これに対して、マイクロ波によるプラズマは、無電極放電であり、電極消耗によるプラズマ内不純物の問題なく、さらに超高周波電界による直接的な加熱によってプラズマが生成されるという特徴を持っている。したがって、このプラズマは上記のような研究にとって非常に好都合である。しかし、マイクロ波を用いて大気圧以上のプラズマについての研究は、出力数 kW のマイクロ波を用いて実験についていくつかの研究報告がなされている

が、大出力マイクロ波によるものは実験的にも理論的にもほとんど行はれていない。

このような中で、最近、ソ連の Kapitza・グループ^{4,5,6)}によつて二、三の興味ある研究報告がなされている。彼らは最高出力 175 kW という大出力のマイクロ波発振器を用いて実験を行い、内径 200° の円筒空洞共振器中に、定常で比較的安定な（静止していない）He の拡散型放電、及び H₂ のフィラメント状放電を得ている。これによると、そのプラズマは、直径 1 cm、長さ 10 cm のオーダーであり、電子密度 $n_e \sim 10^{16} \text{ cm}^{-3}$ 、電子温度 $T_e \sim 100 \text{ eV}$ に達することが実験的に論証されている。もし、これらのことが事実であるとするならば、マイクロ波によるプラズマ生成は、高溫、高密度のプラズマの研究にとって大いに興味ある研究対象となりうるであろう。

ところが、この Kapitza 型のプラズマは、らせん気体流による安定化に無理があるため、円筒空洞共振器のまわりに公転運動を生じ、プラズマの性質上及び測定上にも多くの問題点を含むものである。さらに、そのプラズマの特性の解析の際に完全電離が仮定され $n_e \sim 10^{15} \text{ cm}^{-3}$ に対し、 $T_e \sim 100 \text{ eV}$ が主張されているが、理論的には、その密度に対して $T_e \sim 6 \sim 7000^\circ \text{K}$ としても矛盾はない。また、同じく実験結果からその放電を異常表皮効果によって説明し、さらにプラズマの構造に電気的二重層を仮定しているがまだ決定的なものとなりえていない。以上のようにその論文中には多数の問題点が存在することが明らかになった。

これらを解明するために著者等は阪大密接工学研究所において、出力 30 kW、CW マイクロ波発振器を用いて一連の研究を行なつた。その結果、TM モードの円筒空洞共振器を用いた Kapitza 方式では、安定で電力吸収効率のよいプラズマを得ることはできなかつて、つまり、円筒空洞共振器では、その構造上の問題から共振器壁面

に放電がとび、10 kW 以上の電力をプラズマに注入する
ことが出来ず、かつモードの変化を生じるなど原理的に
注入可能電力に限界があることが明らかになつた。また
プラズマの安定性の面でも、直径 30 cm の円筒の中へ気
体の回転流を乱れなく作ることが困難で静止プラズマは
得られなかつた。

しかしながら、出力の大きいマイクロ波を用いて安定なプラズマを生成し、その物理的な特性を明らかにすることは、上記のような気体絶縁性プラズマのためにも、またプラズマ物理の基礎的研究にとっても非常に有意義である。また、プラズマの物理的な研究にとどまらず、核融合、新らしい实用熱源の開発など工学的応用にも重要な貢献を期待できるものと思われる。

こうして背景をもとに、本研究は大気圧気体中で出力 30 kW の CW マイクロ波による安定な定常プラズマの生成及びその物理的特性の解明を目的として行われたものである。その結果、Kapitza の採用した円筒空洞共振器の代りに矩形空洞共振器を用いることによつて最大電力に至るまで電力吸收の良好なマイクロ波プラズマを得ることに成功した。その安定性は回転気体流によつて極めて有効に保証されている。このプラズマの物理的特性は種々の外部パラメータ（マイクロ波入力、気体流量、管径など）に対するプラズマ温度や密度の変化を光学的測定によつて明らかにし、また得られたプラズマの諸特性を理論的に解明するため、プラズマ・パラメータの数値計算を実行し、プラズマの振舞について考察を行つた。このようすは本論文の内容は以下の如く 6 章に分けて述べる。

第 1 章では、マイクロ波発生装置及び矩形空洞共振器方式によるプラズマ発生装置のそれぞれについて説明し、大気圧下マイクロ波プラズマの生成方法について述べる。

第 2 章では、プラズマ・パラメータ主に密度の測定に

用いに光学的測定法、つまり、分光測定法及びマッハツエンダ型レーザー干渉計による測定法について、それらの原理、特徴及び適用限界について述べる。

第3章では、大気圧マイクロ波プラズマの基本的な特性を明らかにするとともに、まず、プラズマの電力吸収効率を熱量的測定法により求め、次に、作動ガス流体の流速分布をセト一管で測定する。

さらに、生成されているマイクロ波プラズマの密度・温度及びその形状を分光器によって測定し、これらのパラメータに及ぼすマイクロ波入力、水素気体流、そして管径の効果を明らかにするとともに、水素プラズマの諸特性を考察する。

第4章では、大気圧プラズマにおける中性粒子の挙動を知るために、特にその密度分布をレーザー干涉計によって測定し、その分布形状を利用してプラズマの温度と入射電力との関係について、Meierovich の理論を適用してみる。またプラズマ中の中性粒子の密度、温度について、その入力依存性、水素流量依存性を調べる。

第5章では、大気圧プラズマの熱平衡条件を考慮するとともに、様々な電子温度の決定法を用いて決定したプラズマ電子温度から大気圧中マイクロ波水素プラズマの熱平衡について考察する。

第6章では、熱平衡を仮定した単純なプラズマ・モデルを用いて、マクスウェルの方程式及びエネルギー平衡式を電子計算機による数値計算によって直接的に解き、プラズマの温度・密度及びその分布形状等を求め、実験で得られたプラズマの諸特性について理論的考察をする。

第1章 実験装置 及び 実験方法

1-1 実験装置

本研究で用いた実験装置の構成は、Fig. 1-1 に示す通りである。この図では共振器（図中 P の位置）に対して左右両方向からマイクロ波を入射できるものを見ているが、本研究では主に一方向からのみのマイクロ波入射の場合について行なわれたものである。説明の簡単化のため、本装置を二つの部分、つまり、マイクロ波発生部とラズマ生成部とに分けて考える。

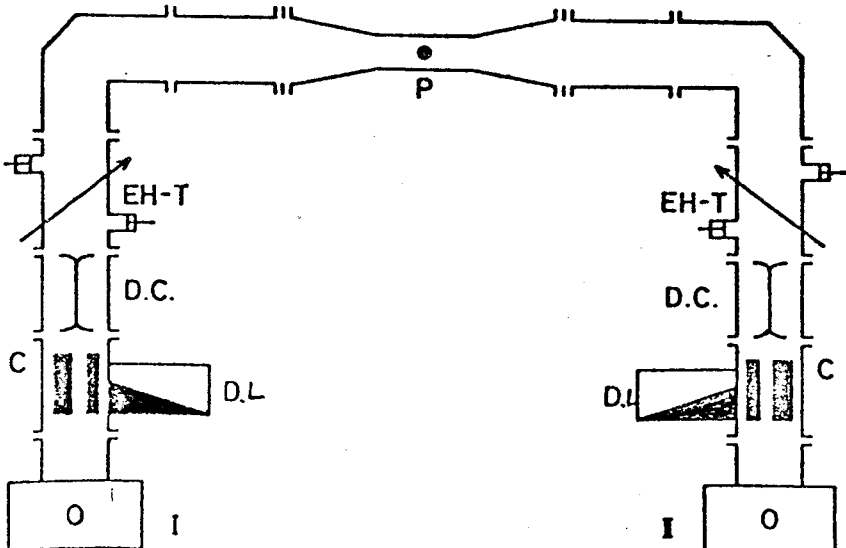


Fig. 1-1 Schematic diagram of experimental apparatus

○: oscillator	C: circulator
D.L.: dummy load	
D.C.: directional coupler	
EH-T: EH tuner	P: plasma

(1) マイクロ波発生装置

マイクロ波の発生部は、30 kW 直流電源及びマグネットロン方式のマイクロ波発振器（Fig. 1-1 の O）で構成されている。このマグネットロンで発振するマイクロ波は、周波数 $f = 915 \text{ MHz}$ 、自由波長 $\lambda \sim 34 \text{ cm}$ であり。矩形導波管（断面 120×240 ）を TE_{10} モードで伝播し、導波管に接続されたサーキュレーター C、方向性結合器 D.C.、EHチューナー EH-T、などの導波管

回路を通りて、矩形空洞共振器中で TE_{101} モードの定在波を形成する。以下にこれらの回路の働きを示す。

C: サーキュレーター circulator

プラズマからのマイクロ波の反射波を本負荷 (D.L. ダミー・ロード) に吸収させる。この装置は、発振管であるマグネットロンを保護する役目をする。

D.C. : 方向性結合器 Directional coupler

プラズマへのマイクロ波の入射電力 P_i と反射電力 P_r を同時に電気的に測定することができる。測定のときは、Power meter を取付ける必要がある。

EH-T : EHチューナー EH Tuner

マイクロ波がプラズマに対して最も良く吸収されるように共振器に立つ電界の定在波の位相調整の役目をする。

このように導波管回路を通して矩形空洞共振器 (プラズマ生成部) に入射するマイクロ波の出力は、マグネットロンのアノード (陽極) を流れる電流値を変化させることによって調整可能である。

(2) プラズマ生成装置

プラズマの発生部は空洞共振器を中心にして構成されているが、以下にこれについて説明する。本研究の予備的実験における実験装置と同様の円筒空洞共振器を用いて、その中にプラズマを生成することを試みた。出力 30 kW の共振器で発振されたマイクロ波は矩形導波管中を TE₁₀モードで伝播するのであるが、これは同軸変換器によって TEM モードに同軸変換され、円筒空洞共振器中に Fig. 1-2 のような電磁界分布を形成する。

プラズマの点火は、数 kW のマイクロ波のエネルギーを共振器に入れる状態で、共振器軸に直角方向から共振器中央、電界最大の位置に点火棒を挿入することによって行う。このと

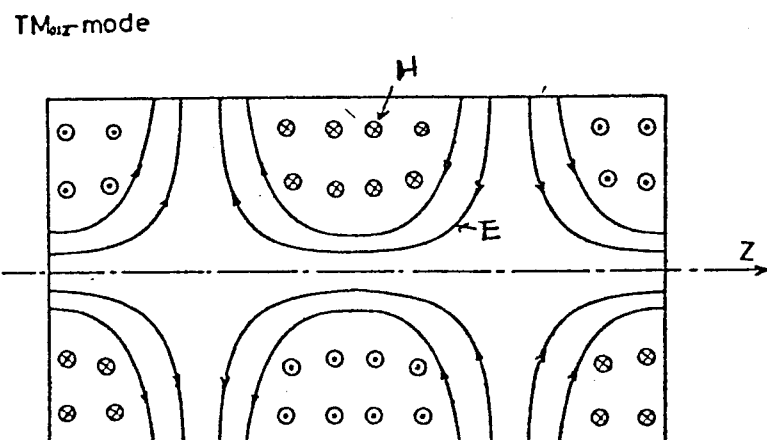


Fig. 1-2 TM₀₁₂-mode in cylindrical cavity resonator

きプラズマは共振器軸上に生成されるが、このプラズマの安定化のために気体を共振器軸の周りに回転流として流す。この実験では作動気体として Ar + H₂, He, N₂などを用いた。

一連の実験の結果、この TM₀₁₂モードによる方式では、

- 1) 回転流によるプラズマの安定化が困難である。
 - 2) プラズマと共振器壁との間に放電が生じやすい。
- という二つの問題があることが判明した。また、基本的にはマイクロ波の入射電力が増加したとき、共振器中央に生成されたプラズマは軸方向に長さが伸びるので、共振器中のモードが TEM モードに変化し、プラズマの安定性が保証されない。以上のような理由から、このような

方式では、 $\text{Ar} + \text{H}_2$ プラズマへのマイクロ波入射電力に限界がある。事実、 $\text{Ar} + \text{H}_2$ プラズマでは注入電力が最大 20 kW までであった。以上のこととは、安定な高出力マイクロ波プラズマの生成にとって基本的な欠陥であるようと思われる。

したがって、本研究においては、新たに TE₁₀₁ モードの矩形空洞共振器による方式を開発した。この方法では、マイクロ波のエネルギーを共振器に注入するためにはマイクロ波のモードを回軸変換する必要はないので、装置系が簡単になる。

TE₁₀₁ モードは、矩形空洞共振器中の電磁界分布として最も基本的なモードである。Fig. 1-3 のように座標軸を定めると、共振器中の電界 E (E_x, E_y, E_z) は、マイクロ波の理論から次式で表わされる。¹⁾ このとき、共振器には Z 方向にマイクロ波が入射するものと考えている。

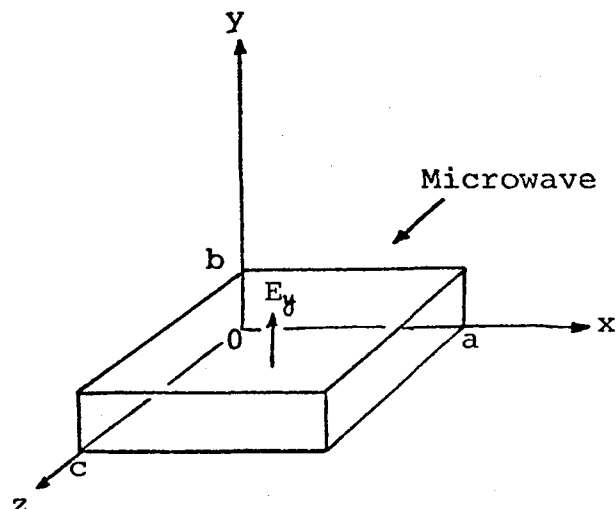


Fig. 1-3 Rectangular cavity resonator

$$E_y = A \sin\left(\frac{\pi x}{a}\right) \sin\left(\frac{\pi z}{c}\right)$$

$$E_x = E_z = 0$$

- ここで、 a : 震動器の巾
- b : 震動器の高さ
- c : 震動器の長さ
- A : 電界の振幅

である。上式からすぐわかるように、電界 E は Z 方向成分だけを持ち、その値は、震動器中央において最大である。

このような矩形空洞共振器中にプラズマを生成する場合、マイクロ波の電界強度が最大となる共振器中央に平行方向（電界のかかる方向）にプラズマを生成するのが最も効率よいと考えられる。したがって、共振器上下面の中央に穴を開け、そこへガラス管を垂直に設置し、その中へプラズマを生成する。このとき、マイクロ波の漏洩を防ぐため、共振器上下面から突き出たガラス管のまわりを金属円筒で覆う。

ところが、このようにしてプラズマを点火した状態では、共振器中にエネルギー吸収体としてのプラズマが存在するとの、共振器はもはや共振器としての役割を果たさず、導波管中には進行波ができる。そして、この場合には、共振器とプラズマとで同軸変換器としての働きをすることになる。そこで、共振器中央に生成されるプラズマに印加される電界の強度は、導波管中の進行波の最大電界を求ることによって知ることができます。

矩形導波管内の最大電界強度 E と進行波の入力との間には、次のようないくつかの関係がある。⁽¹²⁾

$$E = \sqrt{\frac{4P_i \cdot Z_{TE}}{ab}}$$

ここで P_i : マイクロ波の入力

Z_{TE} : TE 波の電波インピーダンス
である。

上式に a, b として $a = 18\text{ cm}, b = 12.4\text{ cm}$ を与えて計算すると、周波数 $f = 915\text{ MHz}$ のマイクロ波に対して、 $Z_{TE} \sim 500\Omega$ であるので、最大電界 E のマイクロ波入力 P_i に対する依存性は、Fig. 1-4 に示すようになる。例えば、 $P_i = 30\text{ kW}$ に対しては、 $E \sim 450\text{ V/cm}$ である。これに対して、導波管の高さを約半分の $b = 6\text{ cm}$ として計算すると、この場合の電界強度の入力依存性は Fig. 1-4 の実線で示してあるものとなる。前者と比較して

電界は強くなり、同じ入力 ($P_i = 30 \text{ kW}$) に対して $E \sim 600 \text{ V/cm}$ に達する。このように電界強度が大きくなることはアラズマ生成にとって好都合である。また、後者のように共振器高さの低いう方が、アラズマに磁場を印加するのにも都合がよい。したがって、本研究においては共振器ハーフエンド導波管の高さの約半分にしている。

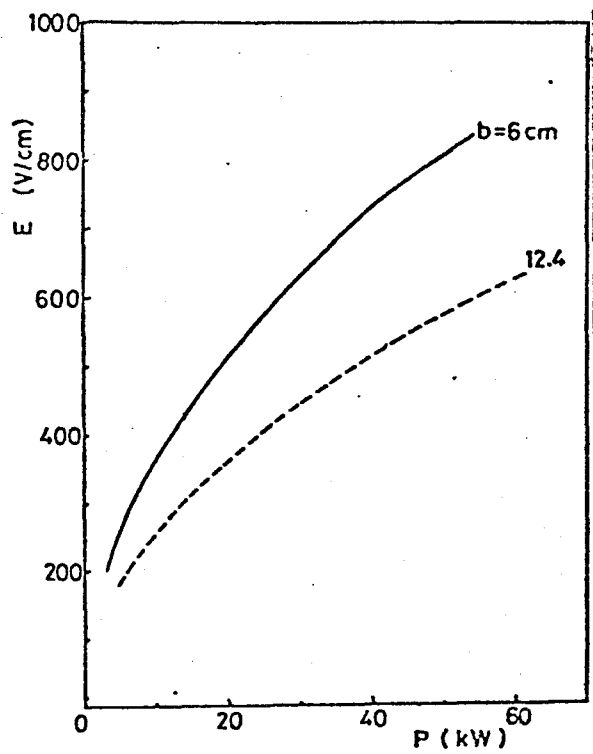


Fig. 1-4 Relation between maximum electric field E and input power P_i

(a) 気体放流型

共振器を中心にして構成されるこの型の装置は Fig. 1-5 に示す通りである。

この図では、マイクロ波が左方及び右方の両方向から入射するようになっている。この場合、気体は金属(銅)円筒の底面部の側壁にあけた4個の穴より流入し、この円筒の内部に取付けられたガラス管内を回転しながら流れ、上方から大気中に排出される。

このとき、作動ガスは、 N_2 , He , Ar 及びそれらと H_2 の混合気体であり、ボンベより直接減圧弁を通じて装置に送られる。このとき、気体流量の変化は、減圧弁の圧力を調整することによって行われるが、その範囲は $\Delta = 60 \sim 600 \text{ l/min}$ である。また、プラズマの容器壁となるガラス管はパイレックス製で、直径 20° , 30° , 40° の3種類のものが装着可能である。

共振器側面に設置されている測定用スリット状窓は、大きさがマイクロ波の波長入に比べて十分小さいので、マイクロ波の漏れは cut off される。金属円筒下部に取り付けられている棒は、プラズマの点火棒であり、先端のタングステン線が共振器中心の最大電界の位置まで挿入できるようになっている。また、プラズマが生成された時の熱を吸収するためと、共振器部分内壁での放電の防止のため、共振器及び金属円筒に木栓してある。

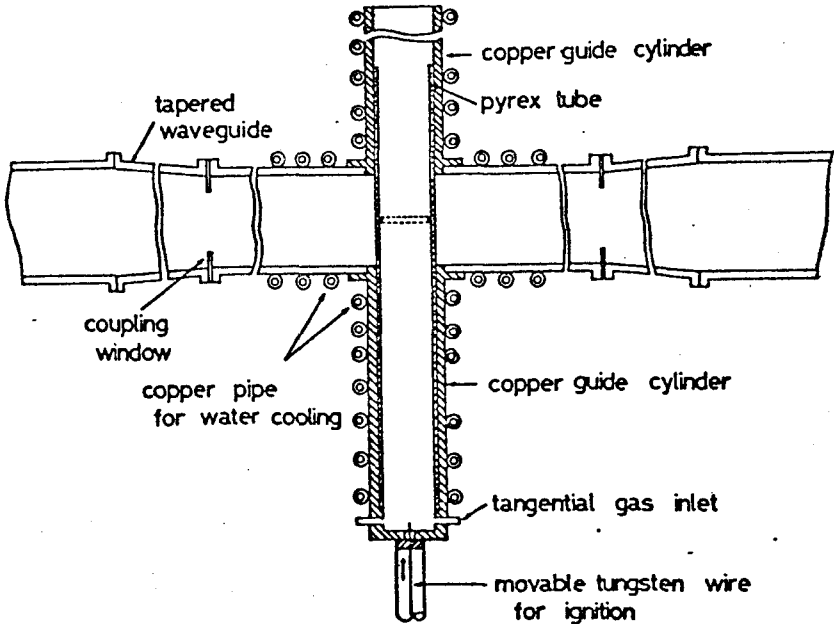


Fig. 1-5 Schematic diagram of apparatus by gas exhaust-type

(b) 気体循環型

(a) の気体放電型の装置では、気体を多量に必要とすること及び、爆発の危険性のため水素のプラズマを生成するのが不可能であることなどに、研究の進行上多くの欠点を持っていた。これに対して、Fig. 1-6 に示すような気体を大気圧で装置内に封入して循環させる気体循環型の装置を開発した。これは、次のようないくつかの特徴を持っている。

- 1) 不純物のないプラズマの生成が可能であり、水素プラズマの実験を比較的安全、容易に行なうことができる。
- 2) 全ての観測窓は、マイクロ波をカット・オフするよう設計されていて、マイクロ波の漏洩損失がない。
- 3) 気体の混合アラズマの生成が容易であり、その混合比率を自由に選択できる。

Fig. 1-6 において、マイクロ波は、共振器①に垂直面に垂直方向から入射する。そして、直径 20cm のガラス管内にプラズマを生成する。このとき、系内に封入された気体は、圧縮機③によって左回りに回転するが、以下に、図に示された装置の各部の名称及びその働きを述べる。

① 矩形共振器　共振器内壁の放電を防ぐため水冷を行っている。プラ

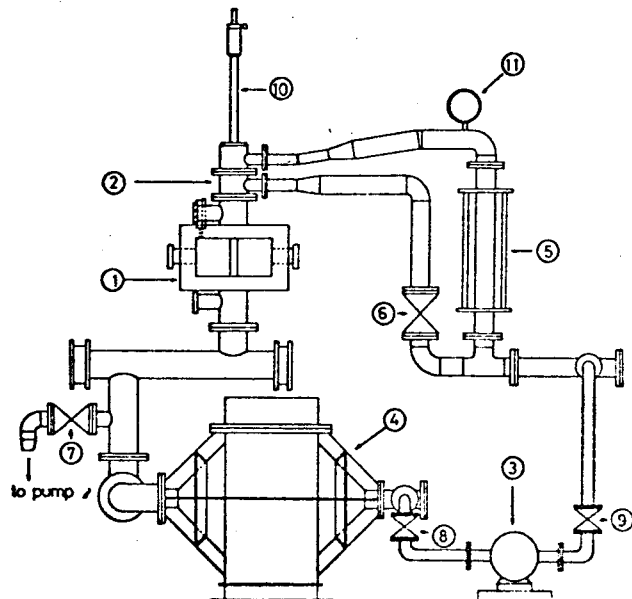


Fig. 1-6 Schematic diagram of apparatus by gas circulation-type

- | | |
|--------------------------------|--------------------|
| 1 rectangular cavity resonator | 6 7 8 9 bulb |
| 2 metal conductor | 10 lighting-up rod |
| 3 compressor | 5 gas flow meter |
| 4 heat-exchanger | 11 pressure gauge |

ラズマの測定は左右に設置して窓より行う。導波管との結合部はバイコール・ガラスで密閉し、空気などの不純物の系内への混入を防いでいる。

②外導体 気体放流型の金属円筒の部分であり、ガラス管への気体流入部は、気体が上から下の方向に回転流として流れよう構造を持っている。この部分も熱を持つために水で冷却している。

③圧縮機 空気で 750 l/min 、水素で 820 l/min の流量を得ることができる。本研究では 2 台の圧縮機を用いて実験を行った。これは、水素を扱うため、密封防爆型のものである。

④熱交換器 冷却能力は 60 kW あり、マイクロ波の出力に見合う十分熱い気体を冷却することができる。なお、本装置では、配管系の形より、共振器から熱交換器に至るまでの二重水冷管（出口水冷管と名付ける）によつて、気体の大部分の熱量が吸収されている。

⑤流量計 1 気圧の空気で 1000 l/min までの目盛をもつ防爆型の気体流量計である。

⑥気体流量調整バルブ 気体流量はこのバルブの開閉によって調整できる。最大流量は、圧縮機の能力によつて決定される。

⑦真空ポンプ開閉バルブ 循環装置の中に封入した気体の交換のために真空ポンプを作動させるとときに開く。使用する真空ポンプはロータリ・ポンプで、到達真空度は $\sim 10^{-4} \text{ torr}$ である。

⑧⑨圧縮機側遮断用バルブ 圧縮機は微量の真空を生じるので、循環装置内の真空度を上げる必要があるときは、この圧縮機両端の二つのバルブを開じる。

⑩点火棒 プラズマの点火は細いタンゲステン線を先端に取り付けたこの棒を共振器中央部に挿入することによつて行う。

⑪圧力計 絶対圧力で $0 \sim 3$ 気圧の測定が可能なものの

である。

- (12) 安全弁 封入気体の圧力が2気圧以上になると破れる
ようになって膜を装着してるので、木素の爆発による
危険防止の役割を果たす。

1-2 マイクロ波による大気圧プラズマの生成

本研究において使用した気体は、Ar, He 及び N_2 , H_2 そして、それらと水素の混合気体である。前節において述べたように、プラズマは出力 30 kW のマイクロ波によって矩形空洞共振器中心の電界最大の位置に装着した直径数 cm のパイレックスのガラス管の中に生成される。このとき、プラズマの点火は、比較的小さなマイクロ波電力を共振器に注入して状態でタンブステン製点火棒をガラス管の中心に押入することによって行われる。その放電の点火の機構は、次のようく説明される。まず、高周波電界中に置かれたタンブステン線の中を高周波電流が流れ、その結果、タンブステンが加熱され、その先端から熱電子を放出する。次にこの熱電子が高周波電界中で加速され（ゆすぶられ）、それに伴って得たエネルギーを中性粒子との衝突の際に、中性原子の励起及び電離に消費する。このようにして生成された二次電子を中心にして、定常放電が形成される。

この場合、He, N_2 では、点火可能電力の 'threshold' が低く、 $P_i = 2 \sim 3 \text{ kW}$ であり、プラズマの生成が比較的容易であるが、 H_2 では、threshold 電力が約 15 kW で前者に比べて非常に大きな値となり、プラズマの生成が多少困難になる。

また、Arのみの場合、コロナ状放電が形成され、プラズマは不安定で、入射電力が大きくなりるとこの放電によりガラス管壁の損傷をもたらす。しかし、Ar + H_2 を加えると放電はフィラメント状になり、安定化される。

このようなプラズマが生成された後は、マイクロ波のエネルギーが一番よくプラズマに吸収されるように、EH チューナーで位相調整を行う。Photo 1-1 は、気体放流型の装置によつて得た、 N_2 プラズマ、 $Ar + H_2$ プラズマ、 $He + H_2$ プラズマの代表的な写真である。その実験条件は

それぞれの写真の下に示して通りであるこの場合気体は下から上に向かって流れているので、プラズマは上方に長く非対称である。ここで、気体が軸流として流れている場合、 Φ ラズマは不安定となり、そのとき、ガラス管の損傷を起こし、 Φ ラズマは消滅する

ことが、実験的に確かめられた。なお、これらの Φ ラズマは、気体流量が少ないとき、入射電力が増大するとその直径を大きくするため、ガラス管の下流側先端が溶け始め、管壁と Φ ラズマとの間に放電が生じる。したが

て、 Φ ラズマへのマイクロ波入射電力の増大のために、回転気体の流量を大きくして Φ ラズマをできるだけ細くする必要がある。

そのためには、水素の Φ ラズマが非常に都合良い性質を持っている。photo 1-2 は水素 Φ ラズマの代表的な写真である。

この Φ ラズマは、入射電力の増大に伴ないその明るさを増すが、他の気体の Φ ラズマと比較して非常に細い（直径約1mm）。

この写真は、共振器側壁に設置された観測窓を通して撮影したもので、 Φ ラズマ長についての情報を得ることは

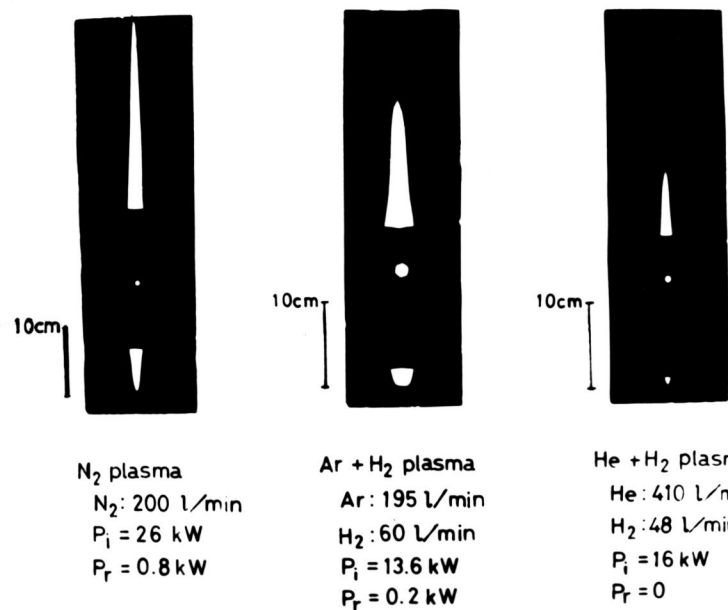


Photo. 1-1 Photograph showing typical figures of N₂, Ar+H₂ and He+H₂ plasmas

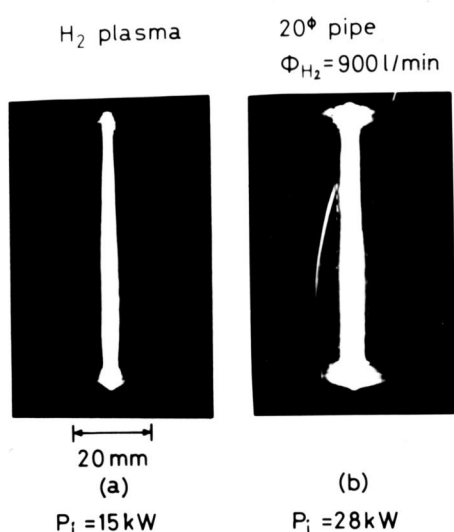


Photo. 1-2 Photograph of H₂ plasma

できないが、目刻で 15~20cm の値を得ている。

以上の得られたマイクロ波プラズマは、マイクロ波の自由波長入 = 34 cm の $1/4$ 波長 $\lambda/4 \sim 8$ cm に対して十分長く、其振器中で誘導リアクタンスとして働き、其振器とプラズマとで同軸変換器、つまり TEM₀₀ モードを TEM モードに変換する働きをもつ装置としての役割を果すと考えられる。このとき、プラズマは内導体としてのふるまいを示し、金属円筒は同軸変換器にかける外部導体と同じ働きをするものである。

1 - 3 総 言

本章をまとめると、次のようになる。

- (1) Kapitza が用いた TM モードの円筒空洞共振器によるプラズマ生成法では、回転流によるプラズマの安定化が困難であり、かつ、共振器壁面の放電など、その構造上の問題から 20 kW 以上のマイクロ波出力をプラズマに注入することができない。
- (2) これに対して、TE₁₀₁ モードの矩形空洞共振器では生成されたプラズマが、同軸内導体の役割を果たし、原理的にプラズマへのより大きなマイクロ波エネルギーの注入が可能である。

第二章 測定方法

本章では、実験に用ひた測定方法の内容及びその特徴について述べる。

プラズマへ吸収される電力は、プラズマ生成部の水冷などの大冷却水の温度上昇から熱量的測定法を用いて測定できる。また、プラズマの巨視的にはさむいについては、その直径及び長さを目測や写真測定によって判定することができる。

ところで、プラズマの密度、温度などは、真空中のプラズマではプローブによる測定法が簡便との理由から最も一般的に用ひられている。しかし、本研究におけるプラズマでは、プラズマが高密度であること及びマイクロ波電界が存在するために、プラズマとマイクロ波の電界を乱さないという利点を持つ光学的方法に頼らざるを得ない。このため、プラズマ・パラメータの計測のために分子測定及び干涉測定を用ひた。

2-1 分光測定

分光測定は、アラズマ光のスペクトルを分光器で解析する方法であるが、本研究で用いた分光器は、焦点距離 25 cm と 100 cm の二種類の回折格子型分光器である。その規格を表に示すと Table 2-1 のようになる。

Table 2-1 Spectroscopic

	型名	焦点距離	スリット	1次分散	装置巾
日本ユーレック	JE25	25 cm	25 μ, 100 μ	33 Å/mm	~1 Å
島津製作所	GE100	100 cm	可変	8.3 Å/mm	0.15 ~ 0.2 Å

測定装置におけるレンズ系の配置は、中間結像法及びスリット結像法を用いて行った。

Fig. 2-1 は中間結像法を用いて分光測定のためのプロトコット図である。中間結像法はこのように 2 枚のレンズを用い、まず、第 1 レンズ L_1 で第 2 レンズ L_2 の前面に置いたスリット S_2 上にアラズマの像を作り、スリット S_2 を通って光を L_2 で、分光器 1 の入口スリット S_3 に集光させる方法である。分光器を出た光は 2 の光電子増倍管で検出し、増幅器 3 で增幅して 4 の X-Y レコーダーの Y 軸に接続する。また、アラズマ光の空間分布は、 S_2 からの駆動モーターにより可動であるので、ボテンショメータ 5 を通して X 軸に接続し、簡単に行うことができる。

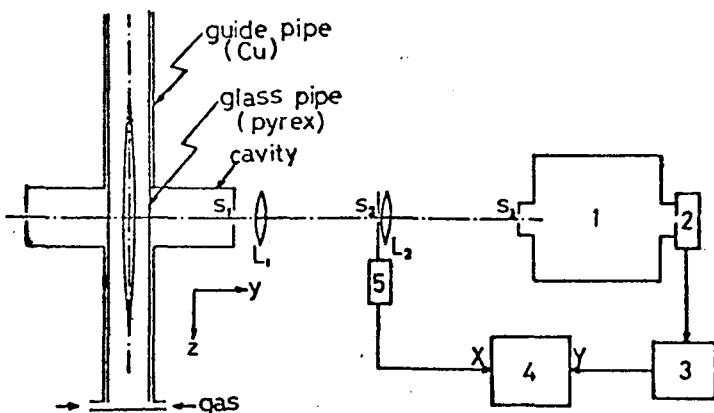


Fig. 2-1 Block diagram of spectroscopic measurement

- 1: monochromator
- 2: photomultiplier tube
- 3: DC. amplifier
- 4: X-Y recorder
- 5: motor driven system with slit S_2

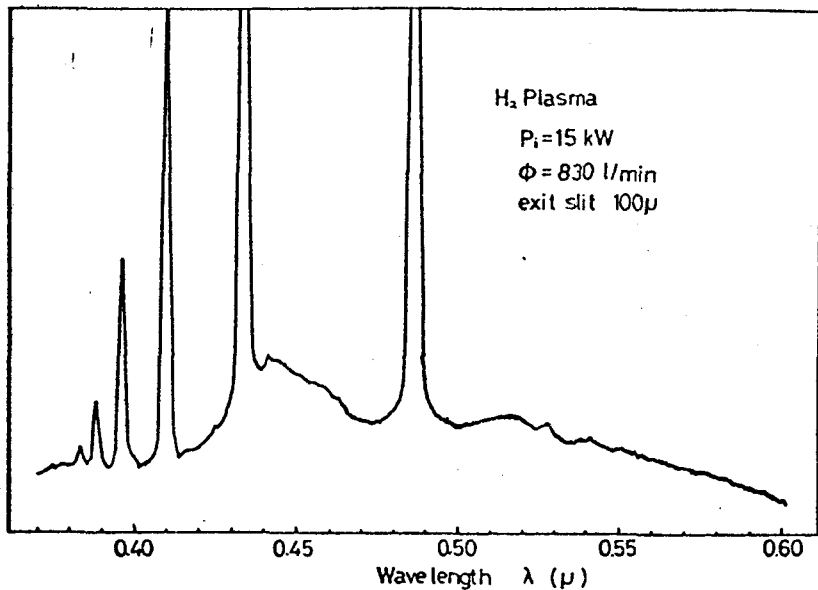
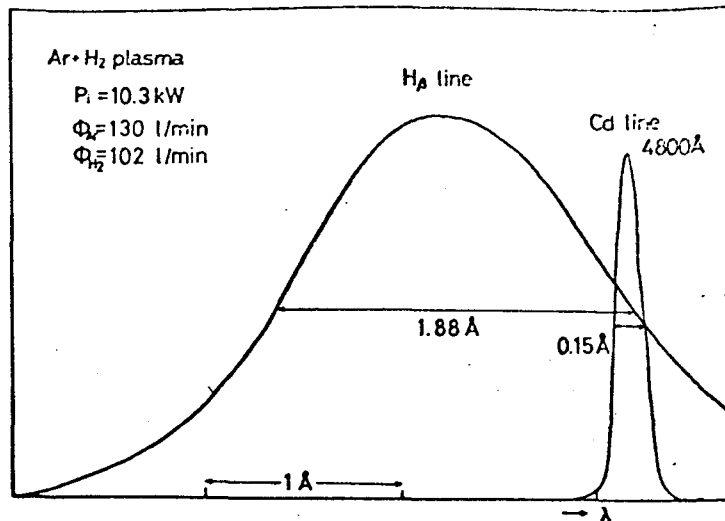
Fig. 2-2 Spectrum of H_2 plasma

Fig. 2-2 にて中間結像法を用いて測定して水素プラズマのスペクトルを示しているが、プラズマが非常に安定であるため、各スペクトルについてこのようく S/N のよいデータが得られている。この図の線スペクトルはバルマー・シリーズのものであるが、このスタイルで拡がりを考える場合、測定系の装置内に問題となる。この測定系における装置内は、Cdランプを用いて測定することができる。その値は Cd I ($\lambda = 4800\text{\AA}$) の線スペクトルの半値巾で定義する。Fig. 2-3 はこのようなくして測定して装置内と、 $\text{Ar} + \text{H}_2$ プラズマから出ていたバルマーライン H_β の拡がりを同時に記したものである。このようく、装置内は 0.15\AA であり、半値巾より測定した H_β 線の拡がり $\Delta\lambda_{0.6} = 1.88\text{\AA}$ に対して十分小さく、この程度であれば λ 入りは $\Delta\lambda_{0.6}$ に対して無視することができる。

Fig. 2-3 Typical data of H_β line profile

上記の中間結像法を用いた測定系は 装置内が小さくなるという利点を持っているのであるが、反面、プラズマのスペクトルが暗くなり、プラズマの半径分布を測定するのが困難である。

この問題を解求するためを考えたのが、スリット結像による方法で、その構成は Fig. 2-4 に示してある。これは、図のようく、レンズ L でプラズマの像を直接分光器の入口スリット S 面上に結像させる方法であり、先に述べた中間結像法による分光測定よりも、測定光量を多くとることができ、プラズマ光（結果としてプラズマ・パラメータ）の空間分布を精度よくとることができる。このとき、プラズマ光の空間分布の測定は、光軸方向に可動である平面鏡 M によって、S 面上に結像して、3 プラズマの位置を左右に動かすことにより簡単に行なわれる。Fig. 2-5 は、このようにして得られた空間分布の一例である。これは、水素プラズマで H_{β} 線の近くの波長をパラメータとして X-Y レコードに書かせたものであるが、非常に S/N が良く、左右対称性の良いデータが得られている。

プラズマ・パラメータ (n_e , T 等) の計測は、主に水素ペルマーリー系列のスペクトルの測定によって行うが、このとき、Fig. 2-5 のようなデータを Abel 逆変換し、プラズマ中心での H_{β} 線の絶対強度及びストラトウ巾を求める。したがって、 H_e , N_2 などのプラズマでは、プラズマ中に微量の水素を添加し、このテスト原

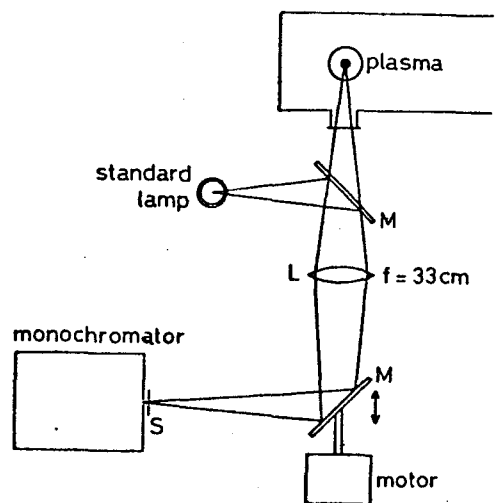
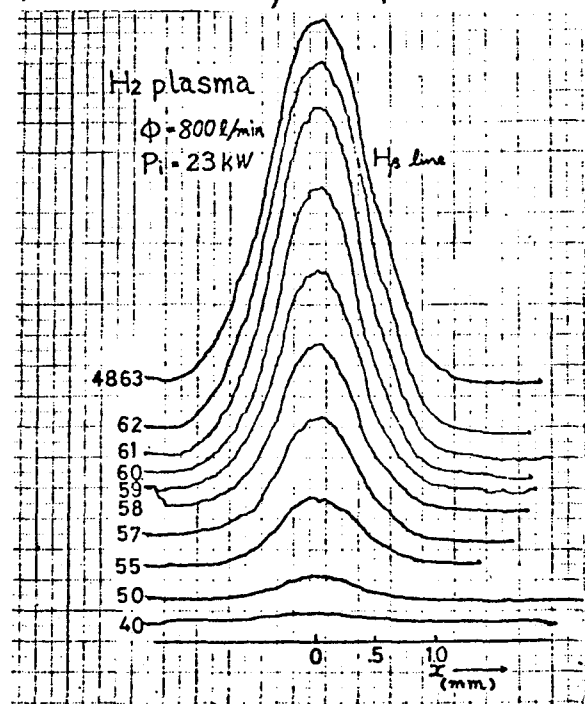


Fig. 2-4 Spectroscopic measurement

Fig. 2-5 Spatial distribution of H_{β} line

子である水素のバルマーリー系列のスペクトルを調べることによってプラズマ・パラメータの計測を行う。

ところで、プラズマ光の絶対強度の較正を行うに当っては、Fig. 2-4 のように標準ランプをプラズマと光学的に等価な位置に置き、測定系の感度較正を行った。

[電子密度の決定]

水素バルマーリー系列の H_α 線の拡がり $\Delta\lambda_{ob}$ から電子密度 n_e を求める方法について述べよう。Griem¹⁾ より H_α 線のスタルク拡がり $\Delta\lambda_s$ と n_e との間に次のようない関係が成立する。

$$n_e = C(n_e, T) \Delta\lambda_s^{\frac{3}{2}} \quad (2-1)$$

ここで、係数 C は密度と温度の関数であるが、マイクロ波アラズマの場合 $T = 7000 \sim 9000 \text{ K}$ であるので、一定値

$$C \approx 3.7 \times 10^4$$

として (2-1) 式を使用することにする。ただし、 T 、 $\Delta\lambda_s$ を測定によって求めることができれば、 n_e は決定できる。

さて、 H_α 線の拡がりの測定値 $\Delta\lambda_{ob}$ は、スタルク巾、ドップラー巾、及伏装置巾から成っている。今度の場合、GE 100 の分光器を使用すれば、装置巾を無視できることは前述した如くである。このとき、スタルク巾 $\Delta\lambda_s$ 、ドップラー巾 $\Delta\lambda_D$ と $\Delta\lambda_{ob}$ との間には次の関係が成立する。

$$\Delta\lambda_s \gg \Delta\lambda_D \text{ のとき}$$

$$(\Delta\lambda_{ob})^2 = (\Delta\lambda_s)^2 + 2.15 (\Delta\lambda_D)^2 \quad (2-2)$$

$$0.5 < \Delta\lambda_D / \Delta\lambda_s < 1 \text{ のとき}$$

$$\Delta\lambda_{ob} = 0.8 \cdot \Delta\lambda_s + 0.81 \cdot \Delta\lambda_D \quad (2-3)$$

考えて 113 アラズマでは $\Delta\lambda_s \gg \Delta\lambda_D$ であるので、(2-2) 式が成立し、 $\Delta\lambda_{ob} \gtrsim 2\text{\AA}$ の場合は、近似的に

$$\Delta\lambda_s \sim \Delta\lambda_{ob}$$

としてよい。このようして求めた $\Delta\lambda_{ob}$ と n_e との関係を Fig. 2-6 に示す。

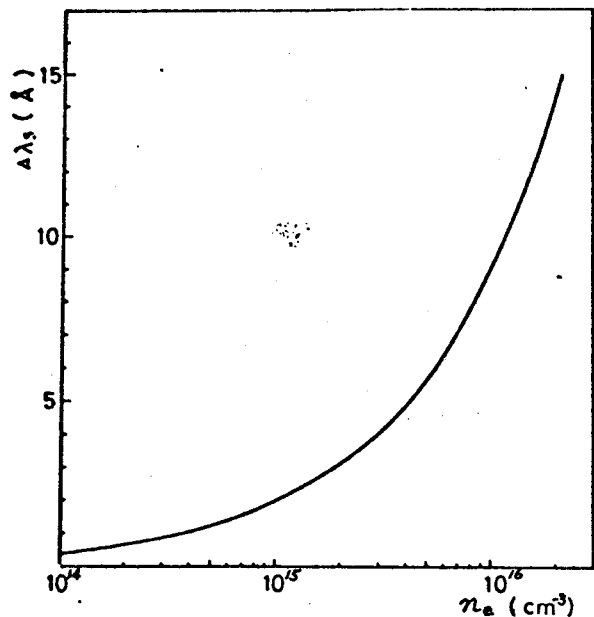


Fig. 2-6 Relation between Stark broadening $\Delta\lambda_s$ and plasma density n_e

[電子温度 T_e の決定]

a. 热平衡を仮定する場合

アラズマが热平衡状態にあると仮定すれば、密度と平衡温度 T との間には、次の Saha の式が成立する。⁽⁴⁾

$$\frac{n_{r+1} n_e}{n_r} = \frac{2 \zeta_{r+1}(T)}{\zeta_r(T)} S_r^* \quad (2-4)$$

$$S_r^*(T) = \left(\frac{2\pi m_e k}{h^3} \right)^{3/2} T^{3/2} e^{-\frac{E_r - \Delta E}{kT}} \quad (2-5)$$

これは、(r)状態と($r+1$)状態の平衡式を表わし、ここで式に使用して記号は、それぞれ

n_{r+1} : ($r+1$)状態の粒子の密度

n_r : (r)状態の粒子の密度

n_e : 電子密度

ζ : 分配関数

m_e : 電子の質量

k : ボルツマン定数

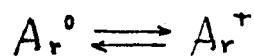
h : アランク定数

E_r : 電離エネルギー ($r \rightarrow r+1$)

ΔE_r : クーロン作用によるエネルギー低下。

である。この関係から n_e より T を求めることができ

る。ここで、Ar + H₂混合アラズマについて解析例をあげよう。1缶の電離状態を考えると、まず Ar は



の平衡にあり。(2-4) 式は

$$\frac{n_{Ar^+} n_e}{n_{Ar^0}} = \frac{2 \zeta_{Ar^+}}{\zeta_{Ar^0}} S_{Ar^+}^* \quad (2-6)$$

となる。次に H^+ については。



はる平衡状態にあるから、(2-4) 式は

$$\frac{n_{H^+} n_e}{n_{H^0}} = \frac{2 U_{H^+}}{U_{H^0}} S_H^* \quad (2-7)$$

で表わされる。

分配関数について、 $T = 7000 \sim 8000$ K を考えれば、 $2 U_{Ar^+} / U_{Ar^0} \sim 11$ 、 $2 U_{H^+} / U_{H^0} \sim 1$ である。したがって、(2-6) 式及び (2-7) 式の右辺の温度について既知の値となる。

ここで、プラズマが電気的に中性であると仮定すると

$$n_e = n_{Ar^+} + n_{H^+} \quad (2-8)$$

となる。したがって、(2-6) 式、(2-7) 式を (2-8) 式へ代入して、 n_e に関する式を得る。

$$n_e^2 = n_{Ar^0} \times 11 \times S_{Ar}^* + n_{H^0} \times 2 \times S_H^* \quad (2-9)$$

ここで、プラズマ周辺の気体の圧力は 1 気圧であるので、水素の混合比を r (%) とすれば、 n_{Ar^0} 及び n_{H^0} は、次式で表わされる。

$$n_{H^0} = 7.34 \times 10^{19} \cdot \frac{r}{T}$$

$$n_{Ar^0} = 7.34 \times 10^{19} \cdot \frac{100 - r}{T}$$

この関係を使って、(2-9) 式から 温度と電子密度との関係を図示するのが Fig. 2-7 である。したがって、この図から n_e 及び r が与えられると、プラズマ温度 T を求めることができる。

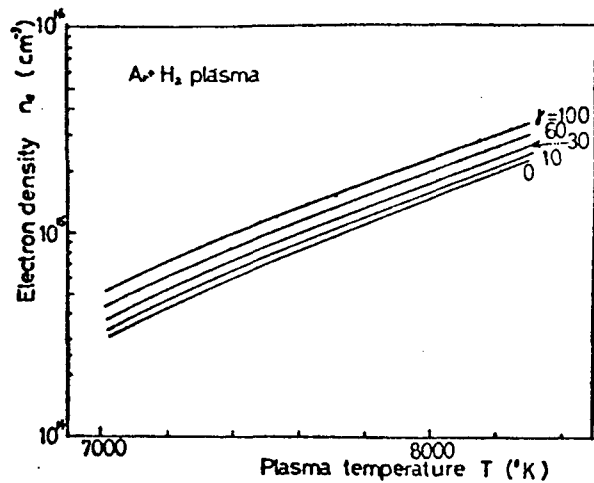


Fig. 2-7 Relation between electron density and plasma temperature

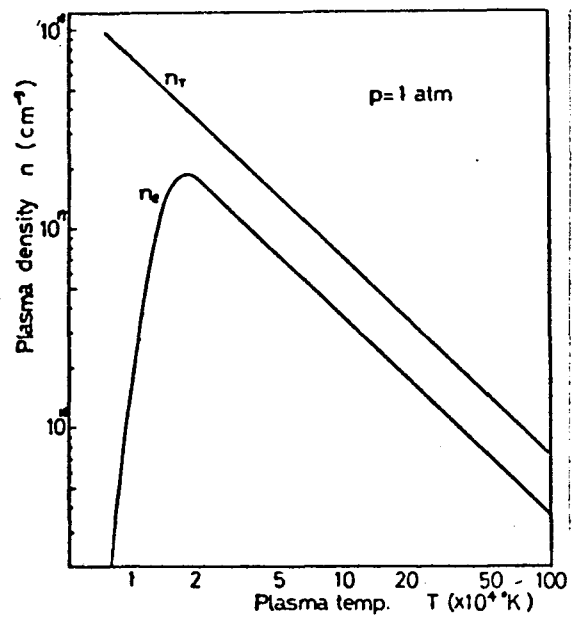


Fig. 2-8 Relation between electron density and plasma temperature

また、Fig. 2-8 には、1気圧の水素における電子密度 n_e と 全粒子の密度 n_T との 温度依存性を示している。

2-2 干渉測定

干渉測定は、物質の屈折率の違いから生じる光路差を利用して干渉縞を作り、その縞の運動から測定物質の密度などを決定するものであるが、その原理は次のようである。

干渉縞の移動数とプラズマの屈折率との関係及びプラズマ密度との相対的関係は、次の二つの式で表められる^{10), 11)}。

$$\mu_p - 1 = -\frac{1}{2} \left(\frac{\omega_p}{\omega} \right)^2 + 2\pi \sum_i \alpha_i n_{oi} \quad (2-10)$$

$$N_f = (\mu_p - 1) \frac{L}{\lambda} \quad (2-11)$$

ここで、
 μ_p : プラズマの屈折率
 ω_p : プラズマ電子周波数

ω : 観測光の周波数

α_i : 気体の介電率¹²⁾

n_{oi} : 気体の粒子密度

L : プラズマの物理長

λ : 観測光の波長

N_f : 干渉縞の移動数

であり、添字*i*は気体の種類を示している。

したがって、 N_f を測定することによって上記2式より中性粒子の密度 n_e 及び電子密度 n_e を求めることができる。

本研究において使用した測定装置の概略図を Fig. 2-9 に示している。これは、図に示すように、2枚の半透鏡と2枚の全反射鏡とを組み合せてマクハッセンダー型干渉計である¹³⁾。光源としては He-Ne レーザーの光を2個の凹面鏡で光束を増大して平行光として干渉計に入れる。干渉計の4枚の鏡の有効径は 6 cm であり、プラズマの大きさ及びガラス管径 (20φ) を十分カバーできる光路が

とれるようになつてゐる。この平行光線は、最初の半透鏡 H.M. でプラズマを通る信号光と参照光との二つの光線に分割されて、最後の H.M. で再び結合されると、そのとき干涉図を作るのである。

この干渉図は、カメラなどの検出器で測定する。

用いにレーザー光の発振波長は、 $\lambda = 6328 \text{ Å}, 1.15 \mu$ の二つがあり、これによつて、原理的に電子密度と中性粒子密度の同時測定が可能である。

レーザー光の波長が 6328 Å の場合 可視光であり、光の強度がほとんど減衰することなくプラズマを通過し、プラズマ光に比べても十分明るいので、スルターなしでも簡単にカメラによつてフリンジ・シフト数(干渉図の移動数)を検出できる。その結果、測定系の振動などの原因で生じる干渉フリンジ波形のふらつきによる誤差は、測定上問題になるまでは至っていない。しかし、レーザー光の波長が 1.15 μについて、赤外光であり検出系の精度を上げないと正確なデータを得ることが困難である。これは、検出系にカメラを用いることができず空間分布を一時に測定できないので、フリンジ波形の時間的変動が問題になるためである。

このような理由から、本研究においては、波長 6328 Å のレーザー光を使用してデータについての解析を行つた。得られてゐるマイクロ波プラズマの場合、電離度が数パーセントと低く $n_0 \gg n_e$ なので n_e を無視して考えれば、中性粒子の密度 n_0 のふるまいを知るために n_e 一つの波長のデータで十分である。

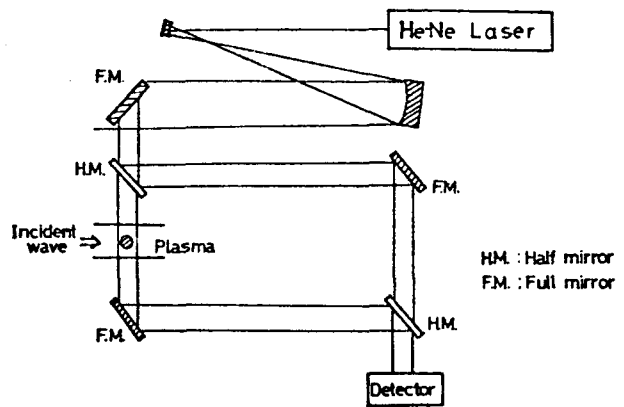


Fig. 2-9 Block diagram of laser interferometer

Fig. 2-10 は得られたデータの典型例である。これは、マイクロ波入射電力が $P_i \sim 15 \text{ kW}$ のときの $\text{Ar} + \text{H}_2$ プラズマの干涉写真である。測定位置は共振器内壁上面から 1 cm 上の部分で、ガラス管を出た位置である。このときの気体流量は、約 220 l/min であるが、 S/N

のよいプラズマであり、この例のように流量が多いにむかかねらず、はつきりしたフリンジ波形を得ることが可能である。Fig. 2-10 のデータでは、プラズマ中心にあけるフリンジ、シフト数は、 $N_f \sim 7$ である。

次に、データの解析例について述べる。Fig. 2-10 の $\text{Ar} + \text{H}_2$ プラズマについて考えてみる。まず、分子率について

$$\alpha_{\text{Ar}} / \alpha_{\text{H}_2} \sim 3$$

であり、また、考えているプラズマは、元素の混合比率が 50% 以下であるので、

$$n_{\text{Ar}} > n_{\text{H}_2}$$

である。したがって、(2-10) 式において、元素の寄与は無視して考えてよい。そうすると、(2-10) 式は次のよう簡単化される。

$$\mu - 1 = 1.03 \times 10^{-23} n_0 - 4.46 \times 10^{-14} \lambda^2 n_0 \quad (2-12)$$

また、実験では $\lambda = 0.63 \mu$ のレーザー光を使用しているから、上式に (2-11) 式を使うと

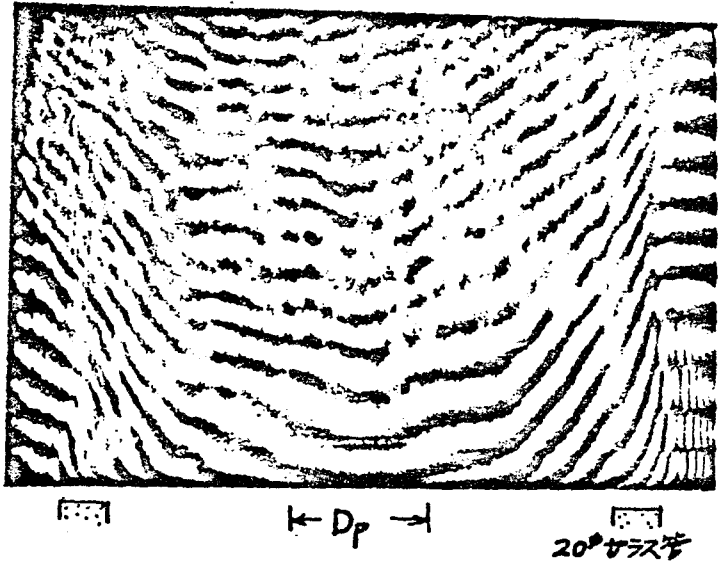


Fig. 2-10 Data of interferometric measurement

$$1.03 \times 10^{-23} \Delta n_0 - 1.78 \times 10^{-22} \Delta n_e = -0.63 \times 10^{-4} N_f / L$$

と変形される。考へて いる プラズマ では、電子密度 n_e は
高々 10^{16} cm^{-3} のオーダー で あり、一方 中性粒子の 密度
は 10^{18} cm^{-3} 以上 で ある。したがって 上式 の 左辺 に お
いて、第 1 項 \gg 第 2 項 と なる の で、第 2 項 を 無視 する。
このとき 中性粒子の 密度 n_0 と フリンニジ・シフト 数 との
間には 次の ような 簡単な 対応 関係 が 成立 する。

$$1.03 \times 10^{-23} \Delta n_0 = -0.63 \times 10^{-4} N_f / L \quad (2-13)$$

(2-13) 式 は Ar+H₂ プラズマ について の もの で ある か。
N₂+H₂ プラズマ について も 上記 と 同様 の 方法 で 解析 する
こ と が で きる。

第3章 大気圧マイクロ波プラズマビームに関する基礎的実験

本章では、マイクロ波による大気圧プラズマの基礎的物理的特性を明らかにするために、種々の気体を用いてマイクロ波プラズマを生成し、プラズマのパラメータを測定した。

第1節においては、マイクロ波プラズマのエネルギー吸収効率について熱量的測定を行い、プラズマの電力吸収特性について考察をする。

第2節においては、作動ガスのガラス管内の流速分布を求め、プラズマの安定性について考察する。

第3節においては、マイクロ波の入射電力などの変化によるプラズマの形状及び体積の変化について明らかにする。

第4節においては、マイクロ波プラズマにおけるサマル・ピニチ効果に及ぼす管径並びに元素混合比の影響について考察をする。

第5節においては、元素プラズマの各種パラメータを光学的測定法によって明らかにし、元素プラズマの諸特性を考察する。

3-1 マイクロ波アラズマビームの電力吸収特性

本節においては、アラズマへのマイクロ波入射電力と吸収電力との関係を調べ、マイクロ波による大気圧アラズマの電力吸収特性について考える。

アラズマの電力吸収は、前章で述べたように熱量的測定によって求めた。Fig. 3-1 は、 $N_2 + 10\% H_2$ アラズマにおける吸収電力 P_a (kW) の入射電力 P_i (kW) 依存性である。図に示すようく、吸収電力は

$$P_a = ① + ② + ③$$

①：熱交換器の水の温度上昇から測定される電力

②：共振器と熱交換器の間にあらニ重水冷管の水の温度上昇から測定される電力

③：共振器部で測定される電力

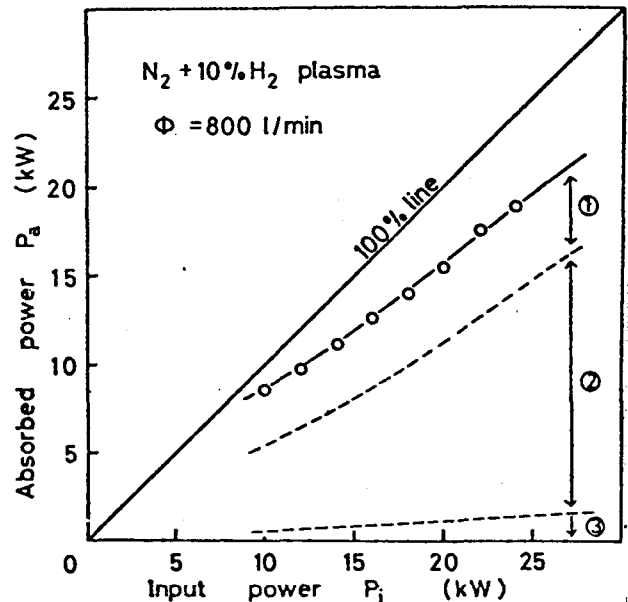


Fig. 3-1 Energy absorption of plasma

- ① measured at heat-exchanger
- ② measured at water-cooled pipe
- ③ measured at resonator

で表わされる。これは、気体循環装置によって得られたデータであるが、アラズマからの反射電力 P_r (kW) は、十分小さく無視できるので、図の中には書き入れていな。

次に、アラズマへ吸収された電力 P_a がどのように損失されるか考えてみる。アラズマ中心軸を Z 軸にとり、円筒座標系を考えると、Y 方向のエネルギー損失は、Fig. 3-1 の ③ の部分だけである。これに対して、流れの方向 (Z 軸方向) へのエネルギー損失は、① + ② で表わ

され、Fig. 3-1によると、 $\text{P}^{\circ}\text{ラズマ}$ からの熱エネルギーは、気流によってほとんどX方向に運び去られていことがある。その電力の吸収電力 P_a に対する割合を求めてみると、90~95%である。

ここで、 $\text{P}^{\circ}\text{ラズマ}$ に吸収されない損失電力について考えてみる。それらは次のようなものと考えられる。

- 1) 共振器周辺でのマイクロ波の流れ、特に気体放流型の装置において考慮する必要がある。
- 2) 射波管内壁への表皮抵抗損失
- 3) $\text{P}^{\circ}\text{ラズマ}$ からの反射電力、これは、ダミー負荷で吸収される電力と発振器まで返っていく電力とに分けられる。

したがって、1)~3) の電力の和を P_{loss} とし、熱量測定の誤差を加味した吸収電力を P_a とすると、

$$P_i = P_{loss} + P_a$$

となる。このとき、 $\text{P}^{\circ}\text{ラズマ}$ のマイクロ波電力吸収効率は

$$\eta = \frac{P_a}{P_i} \times 100 \quad (\%)$$

である。

このようにして測定された $\text{P}^{\circ}\text{ラズマ}$ の吸収電力は、マイクロ波入射電力の 80~90% に達し、非常に電力吸収効率のよい $\text{P}^{\circ}\text{ラズマ}$ であることがわかる。このことは、 He $\text{P}^{\circ}\text{ラズマ}$ 及び H_2 $\text{P}^{\circ}\text{ラズマ}$ についても同様に確かめられている。

Fig. 3-2 は、水素の混合比を変えた場合の He $\text{P}^{\circ}\text{ラズマ}$ の電力吸収(効率)を示したもので、これより、 $\text{P}^{\circ}\text{ラズマ}$ の電力吸収効率では、 $\eta \sim 85\%$ で、水素混合比による依存性はほとんどない。このことから、マイクロ波 $\text{P}^{\circ}\text{ラズマ}$ の電力吸収効率は、気体の種類によらず、非常に良

いと考えられる。

さらに、Fig. 3-1で見られたように、 P_a のうち、①+②が大きくなる（～90%）アラズマに与えられた電力は軸方向の気体流によって運び去られ、半径方向への熱流はめずかである。このため、アラズマの容器壁となっているガラス管は、溶けることはなく保護されている。

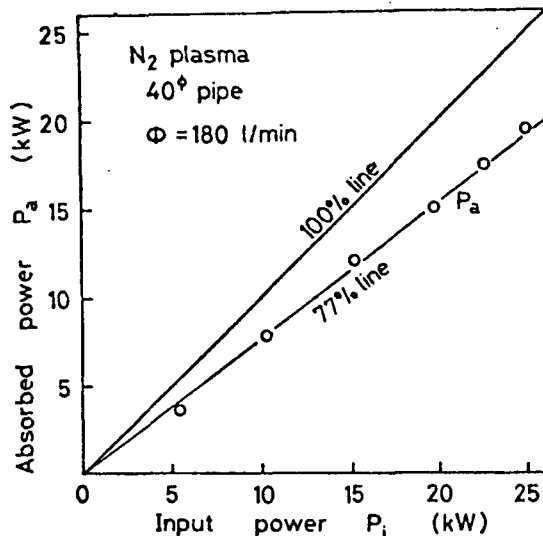


Fig. 3-3 Absorbed power vs. input power

度が正確に測定できない故、純粋な N_2 アラズマについて測定を行った。その結果、Fig. 3-3 のように Fig. 3-1 とほとんど同じような特性を得た。しかし、エネルギー吸收効率については、気体循

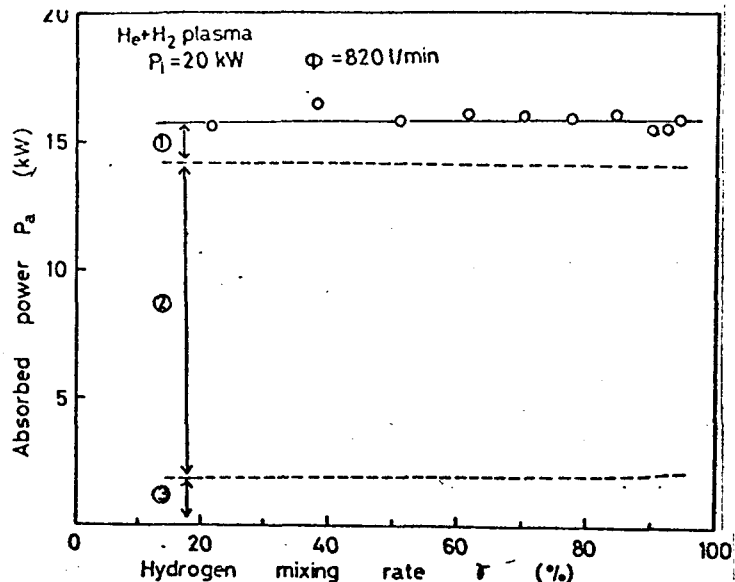


Fig. 3-2 Absorbed power vs. hydrogen mixing rate

Marks ①, ② and ③ correspond to the marks in Fig. 3-1

比較のために、Fig. 3-3 に気体放流型の装置を用いて測定したデータを示す。これは、Fig. 3-4 のようにして測定したものである。この場合、水素混合気体のアラズマについては、周辺大気と水素の燃焼熱が大きく効いてくるため、排気された気体の温

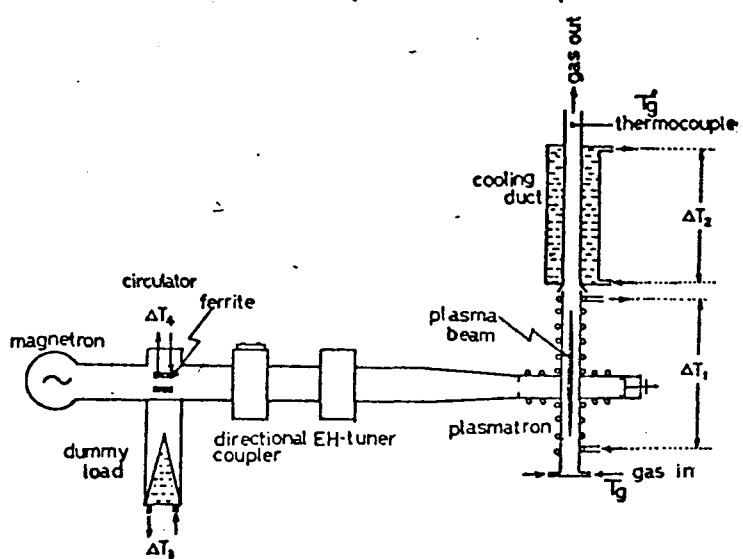


Fig. 3-4 Schematic diagram of calorimetric measurement

環型のものが、わずか(数%)大きくなっている。これは、気体放流型の装置では芝振器上部からマスク口部の漏洩損失があるためと考えられる。

3-2 作動ガス流体の流速分布とそのプラズマへの及ぼす影響

第1章で述べたように、実験で得られているプラズマは、回転気体流の効果によって非常に安定である。本節では、プラズマがない場合について、ガラス管内の回転気体流速の分布を測定し、回転気体流のプラズマに及ぼす効果について考察をする。

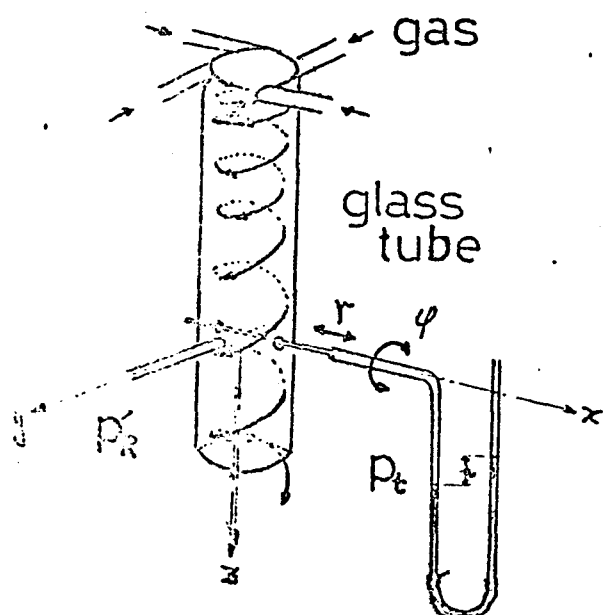


Fig. 3-5 Gas flow in glass tube

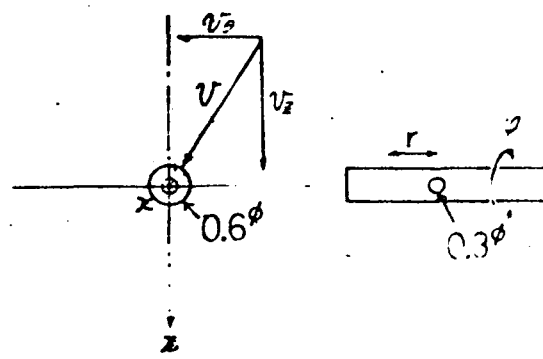


Fig. 3-6 Profile of Pitot probe

この実験の測定系は、Fig. 3-5

に示す通りである。気体は上部四方向（接線方向）にかけ
て 6 mm^{ϕ} の穴から、回転流とな
って 20 mm^{ϕ} のガラス管を
流れている。このときの流線
の一つを図中に示している。
なお、座標系はプラズマ中心
に当たる位置を原点とし、
のように、x軸、y軸、z軸
とする。

ある位置における気体の動
圧と気体流の速度との間には、
よく知られていろよう次の
関係が成立する。

$$\frac{1}{2} \rho V^2 = P_v \quad (3-1)$$

ここで ρ : 気体の密度
 V : 気体の流速
 P_v : 動圧

である。したがって、一定位置での動圧を知ること
ができれば、上の関係より、簡単に気体の流速

を求めることができる

気体の動圧 P_v は、同じ位置での全圧 P_t と静圧 P' との差

$$P_v = P_t - P'$$

であるから、Fig. 3-6 のようなピト一管を用いて P_t と P' とを測定する。このピト一管は Fig. 3-5 の如くガラス管を貫通していて、 x 軸方向に可動であり、また、ピト一管にありてある測定孔の位置の x 軸を回転軸とした φ 方向回転が可能である。

まず、ピト一管の特性を知るために、気体(空気)を軸流にしてガラス管内に流し、測定孔の位置を $x = x_0$ に固定した状態でピト一管を φ 方向に回転させて、ピト一管周囲の気圧を測定していく。その結果、Fig. 3-7 のよう φ データが得られたが、このピト一管での測定圧力は、気体速度が $v = v_{\infty}$ であるので、 $\varphi = 0$ で最大圧力を示し、これが、その位置での全圧 P_t となる。また、この測定位置での静圧は、気体が軸流で流れているので、壁での静圧 P_v に等しい。したがって、静圧 P_v を示す回転角 φ

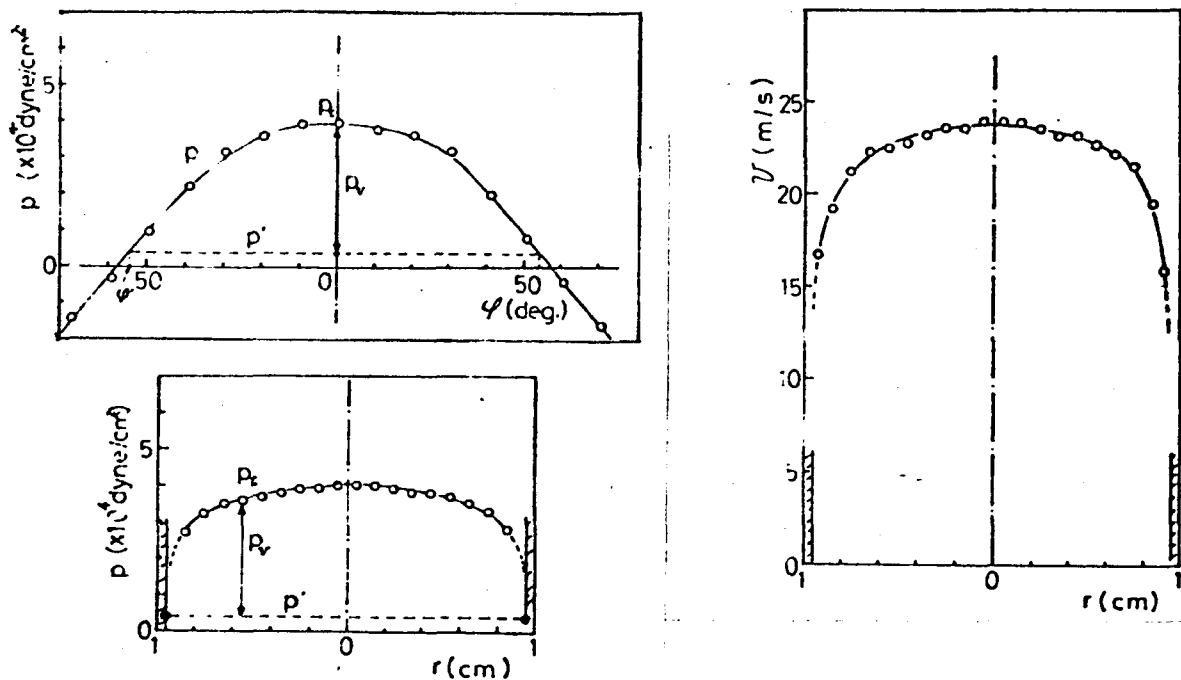


Fig. 3-7 Property of Pitot probe and experimental result of axial flow

は、Fig. 3-7 から求めることが出来て、 $\varphi' = \pm 55^\circ$ である。このとき、ピトー管の回転角 φ についての特性は非常に対称性が良く、このピトー管の特性を利用して得た p' は、精度の良いものと言えるであろう。

ところで、実際の気体流は回転気体流であり、 $\varphi = (0, \varphi_0, \varphi_0)$ である。したがって、Fig. 3-6 のように気体流の方向と φ 軸との間のひずみ角度を φ_0 とすると、ピトー管を φ_0 だけ回転して位置が最大圧力であり、その値は全圧 p_t を示す。次に、 $\varphi_0 \pm 55^\circ$ の位置において静圧 p' が得られる。このようにして得た圧力分布の測定精度は、ピトー管の外径 0.6 mm^ϕ がガラス管 20 mm^ϕ に比べ十分小さないので、10%以内であると考えられる。

Fig. 3-8 は、このようにして求めた、空気を 350 l/min 繰りに場合の全圧分布 $p_t(r)$ と静圧分布 $p'(r)$ である。このように、 p_t, p' について非常に対称性の良いデータが得られている。しかし、ガラス管壁付近ではピトー管を挿入したことによる影響で気体流の乱れが大きく、測定値の誤差が中心部のそれに対して、大きくなる、이라는もののと思われる。

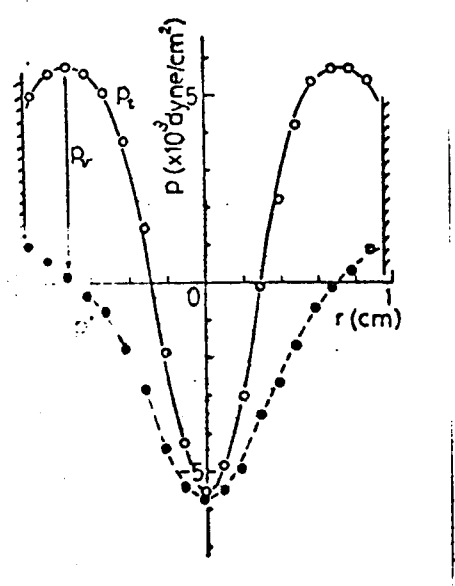


Fig. 3-8 Distribution of pressures p_t, p'

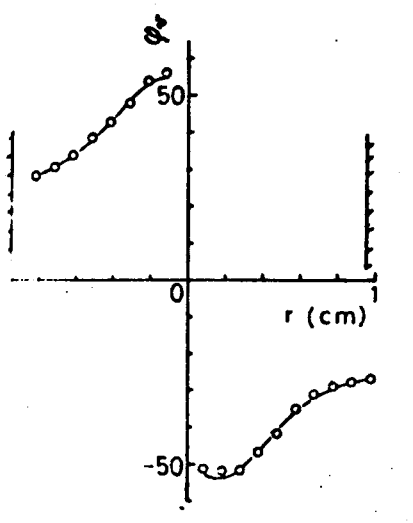


Fig. 3-9. Angle of gas flow

ところで、先に述べたように管内の動圧は、Fig. 3-8 で得られた全圧 P_t と静圧 P' の差に等しいので、簡単に求めることができ。それから、(3-1) 式を使って、管体流速 V を計算できる。このとき管体流の方向角 φ_v で記述でき、気体の回転速度及び r 方向速度は、それぞ此次式のように表わされる。

$$V_\theta = V \sin \varphi_v$$

$$V_z = V \cos \varphi_v$$

この φ_v は 全圧を示すピトーパンの回転角度であり (Fig 3-6)。同じ実験条件で Fig. 3-9 のような値を示している。この値を用いて、上記の方法で V_θ , V_z を求めると、Fig. 3-10 のようないずれ分布曲線が得られた。このように、 V_θ , V_z はそれぞれ、 $r = 0.4\text{ cm}$, 0.7 cm で最大値 $V_\theta \approx 20\text{ m/s}$, $V_z \approx 26\text{ m/s}$ をとる。

この得られた値 V_θ , V_z について、その妥当性を検討してみる。まず、軸方向平均流速 \bar{V}_z は Fig. 3-10 から求めると

$$\bar{V}_z = 21.5 \text{ m/s}$$

である。これに対してガラス管内の流量 350 l/min から、ガラス管の断面積 $A = 2.83\text{ cm}^2$ を考慮して求めると

$$\bar{V}_z = 20.6 \text{ m/s}$$

これらの値は、誤差の範囲 (5%以内) で一致していると考えられる。

次に、 $V_\theta/V_z = \tan \varphi_v$ について考えてみる。プラスチックの点火の際に、点火棒から出たタンゲステン蒸気が、ガラス管壁に触れて際に生じる傷の形状から、 $V_\theta/V_z \sim 0.5$

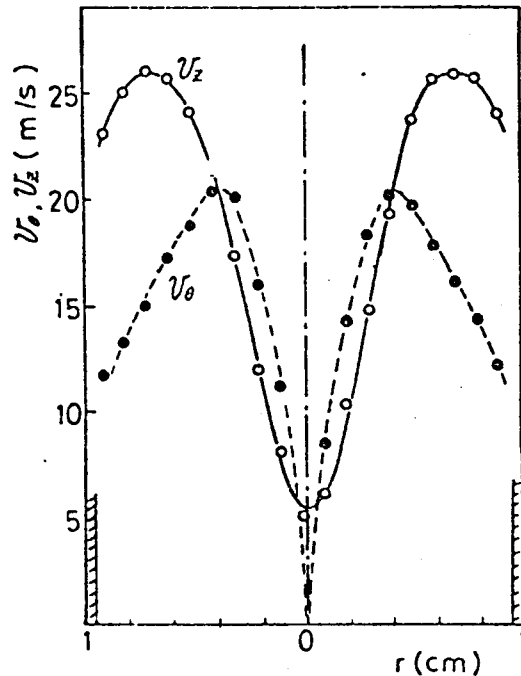


Fig. 3-10 Distribution of velocity components V_θ, V_z

であることがわかつていい。これに対して、本節の実験では、Fig. 3-9 から、壁付近で $\varphi_v = 27^\circ$ であり、

$$\tan \varphi_v = V_0/V_z = 0.51$$

となる。これらの値は非常に良く一致していい。実験データの妥当性が確かめられん。

ところで、気体の回転速度 V_0 の分布については、ガラス管への気体の流入の方法が Fig. 3-5 のようく $6\text{ mm} \Phi$ の穴を通して行なわれる方法なので、 $r \geq 0.4$ では一定の V_0 をもつはずであるが、ガラス管壁の存在のために、気体の粘性の効果で管壁近くで V_0 はより大きくなることになると。(Fig. 3-10)

この回転気体流によって、ガラス管内の静圧分布は、Fig. 3-8 に示しているようにガラス管の中心部において低圧力となり、反対に管壁近くでは高圧力となつていい。この気体の回転によつて生じた静圧の圧力差は 10^4 dyne/cm^2 のオーダーの値である。ここで、回転気体流によるプラズマの安定化を考察するために、水素プラズマの場合についてプラズマ圧力 P_p を求めてみる。

$$P_p = 2n_e k T_e$$

ここで n_e : 電子密度

k : ボルツマン定数

T_e : 電子温度

であるから、実験で得られているデータ

$$n_e \sim 7 \cdot 10^{15} \text{ cm}^{-3}$$

$$T_e \sim 9 \cdot 10^3 \text{ °K}$$

を使用すると

$$P_p = 1.8 \cdot 10^4 \text{ (dyne/cm}^2\text{)}$$

となる。このように、プラズマの圧力も 10^4 dyne/cm^2 のオーダーであり、プラズマがガラス管中心に生成された

とき、気体流量を増加させると、この回転気体流により生じる圧力勾配は、プラズマの安定化に十分寄与するものであると考えられる。また回転気体流による ϑ 方向速度分布は、軸流の場合(Fig. 3-7)と違つて、Fig. 3-10のようになつていて、気体流はほとんどガラス管壁近く、つまり、プラズマが存在するときはその周辺を流れている。このような v_θ の分布は、安定はプラズマの生成に寄与するものと思われる。気体流が軸流の場合、つまり上記の圧力勾配がない場合、前章において既に記述したようにプラズマは安定に生成され得ない。

このような静圧 p' の勾配と、回転速度 v_θ との関係は Appendix C より次式で表わされる。

$$\frac{\partial p'}{\partial r} = \frac{\rho v_\theta^2}{r}$$

ここで、 $\partial p'/\partial r$ ：半径方向圧力勾配

である。したがつて、Fig. 3-8 で得られた $p'(r)$ から $v_\theta(r)$ を求めることができる。その結果を Fig. 3-11 に丸印でプロットしているが、比較

のため先に動圧 P_v から求めた v_θ を実線で描いている。これによると、 v_θ の半径方向分布は両者について定性的に非常によく一致し、また定量的にも両者の値は、実験誤差の範囲で一致していると考えてよい。しかし、ここで、 $p'(r)$ は壁付近で測定誤差が大きくなり、 $\partial p'/\partial r$ の値の信頼性が低くなるので、 $r > 7\text{cm}$ のデータは記していない。

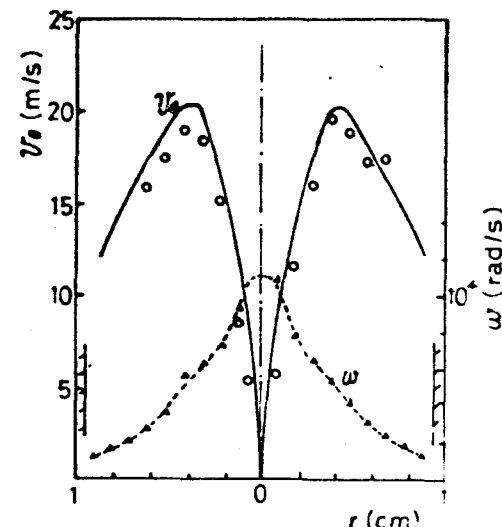


Fig. 3-11 Rotating velocity v_θ and angular velocity ω

3-3 マイクロ波アラズマビームの形状と容積特性

アラズマの形状は、スラメント状であり、入射電力の増大につれ、アラズマの体積を増すのであるが、まず、気体放流型の装置で、アラズマ長を写真測定によつて求めた。Fig. 3-12 は、 $\text{Ar} + \text{H}_2$ 7°

アラズマにおけるアラズマ長のマイクロ波電力依存性を示したものである。ここにみるアラズマ長とは、アラズマが共振器中心に対して上下対称な形であると見なしして決定したものであり、その値は 25 ± 5 cm である。そして、

Fig. 3-12 のように、入射電力の増大に伴ひアラズマ長は大きくなるが、その増加率が減少している。この傾向は他の気体のアラズマについても同様であり、水素アラズマの場合、 $L = 15 \sim 20$ cm、空素アラズマの場合、 $L = 30 \sim 40$ cm である。

次にアラズマの直径 D について考える。photo 1-2 のように、 H_2 アラズマ及び H_2 混合のアラズマの直径は数 mm のオーダーであり、非常に細い。そのため、写真による測定方法は、明暗の濃度差によって判断するので誤差を生じやすい。したがつて、本論文では、アラズマの直径についてのデータは、全て分光測定によつて求めた。この方法は、アラズマから出ている光のうち、水素ペルム一酸 H_p の光強度の半径分布から半値巾を求め、それをアラズマの直径とするものである。

このようにして、 $\text{He} + \text{H}_2$ アラズマについて、水素混合比 (%) をパラメータとして入射電力を変化させたとき

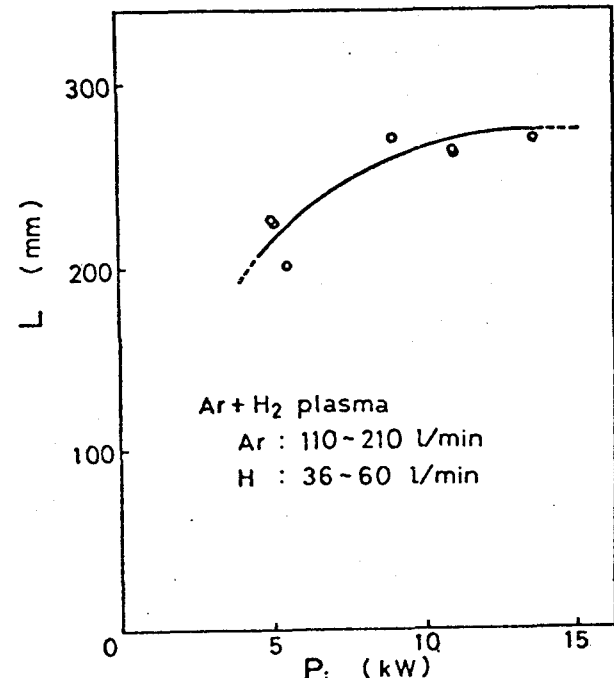


Fig. 3-12 Relation between plasma length L and input power P_i

のプラズマ直径 D (mm) を測定した結果、Fig. 3-13 のようなデータを得た。このとき気体流の全流量は、 $\Phi = 820 \text{ l/min}$ を保っている。図のようく、水素の混合比が少、さい $\text{He} + \text{H}_2$ プラズマでは、入射電力の増大に伴って直径は直線的に増大するが、水素混合比が増すにつれてその傾きは小さくなり、純粋な水素のプラズマになると、プラズマの直径はほとんど一定となる。したがって、プラズマ直径に対する水素混合比の効果は、 P_i が大きい程 大きくなる。

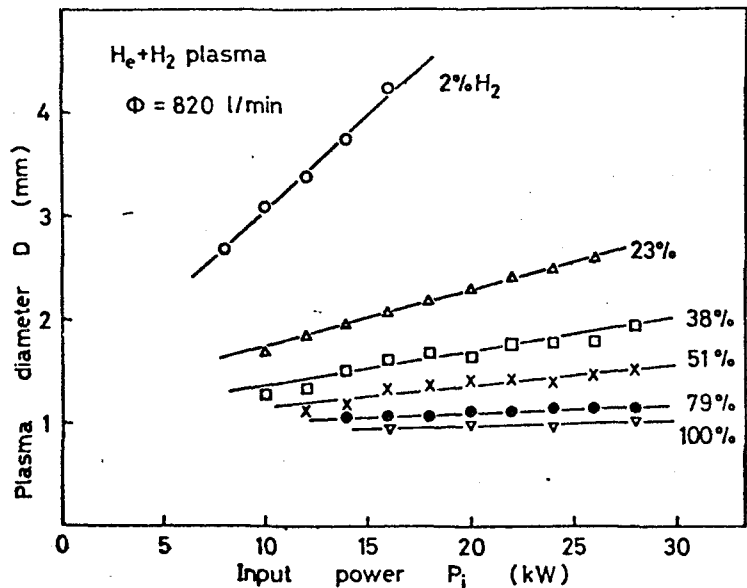


Fig. 3-13 Relation between plasma diameter and input power

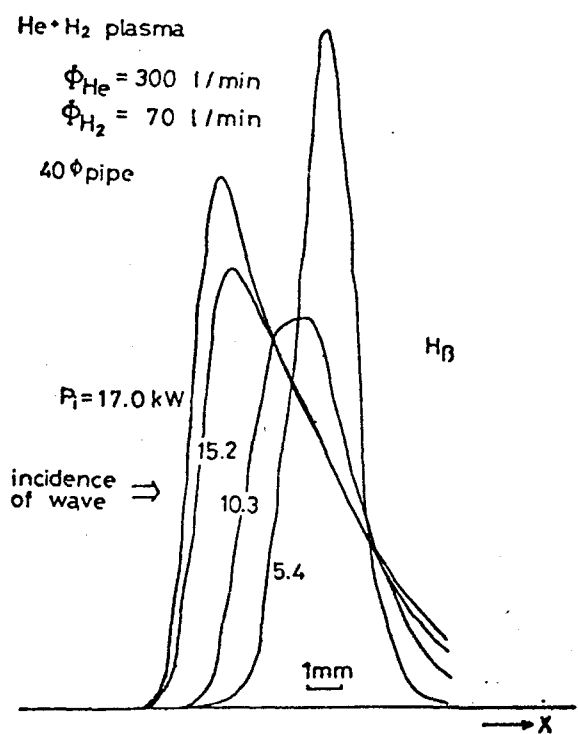


Fig. 3-14 Spatial profile of H_β line intensity

このような、プラズマのふるまいを検討するために、 $\text{He} + \text{H}_2$ プラズマについて、 H_β 線強度の空間分布を調べてみた。その結果、Fig. 3-14 のように、入射電力を増大させると、 H_β 線の最大強度の位置（プラズマの中心）は、マイクロ波の入射側に移動している。このことは、プラズマの加熱が、マイクロ波入射側のプラズマ表面から行われていることを示している。これは、一般によく知られている導波管の中で発生した放電がマイクロ波の入射側の方向に

移動するのと同じ現象である。本研究で得ているプラズマは、回転気体流によつて安定化しているので、それぞれの入射電力について、Fig. 3-14のようく定常状態を保つている。

これに対して、入射電力を一定にしてとき、 H_2 の混合比を変化させて、プラズマのふるまいを調べると、Fig. 3-11のような結果を得る。この図によれば $Ar+H_2$ プラズマ、 $He+H_2$ プラズマとともに、 H_2 量の増大に伴ない、中心(軸)に生成され左右対称性がよくなることがわかる。これは、元素の解離による熱伝導度が大きいため、 H_2 量の増大によりプラズマに対する冷却効果が大きくなり、その結果、プラズマの入射側への移動を負体の回転によつて十分抑制できるからである。

最後に、プラズマの直径には、気体流量依存性がほとんど見られていない。つまり、プラズマの直径 D はガラス管径に対して十分小さく、その結果、前節で述べたようなZ方向速度をもつている回転気体流は大部分がプラズマと管壁の間を流れるので、実験条件の範囲において気体の流量の変化は、プラズマに対してほとんど影響を与えないことになる。

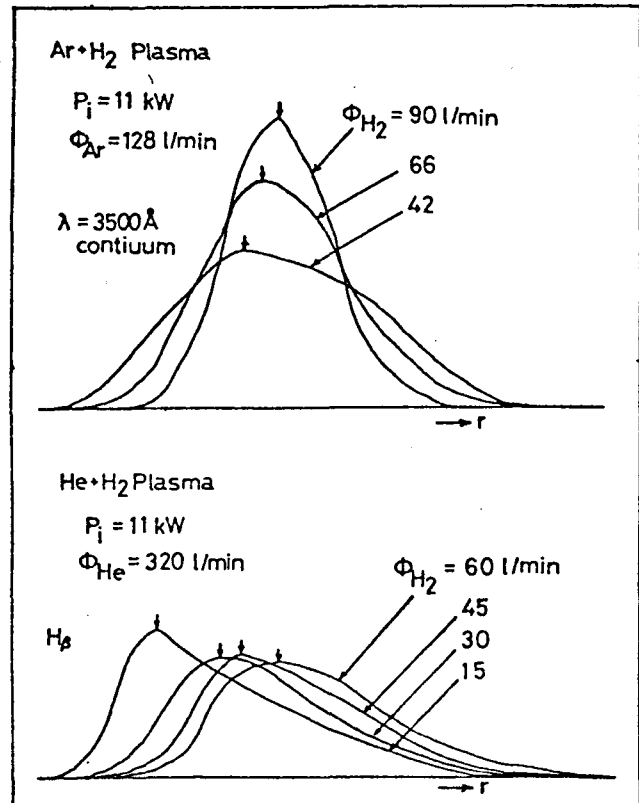


Fig. 3-15 Change of H_α line profile on hydrogen flow rate

3-4 大気圧マイクロ波プラズマビームのサーマル・ピンチ効果

(1) サーマル・ピンチ効果に及ぼす管径の影響

プラズマ・アークなどの大気圧プラズマにおいて、水冷管壁の半径を小さくすることによってプラズマ中心温度が上昇するという現象は、いわゆるサーマル・ピンチ効果と呼ばれ一般によく知られているが、この項においてはマイクロ波プラズマにおけるこのような現象を明らかにするための実験を行った結果を記す。

ここでは、気体放流型の装置を用いて、 $\text{Ar} + \text{H}_2$ プラズマを生成し、ガラス管径を 20^ϕ , 30^ϕ , 40^ϕ と変化させたときのプラズマ直径、密度及び温度を求めた。まず、Fig.3-16 は、管径をパラメータにしてプラズマ直径 D の入射電力依存性を示したものであり、Fig.3-13 の $\text{He} + \text{H}_2$ プラズマと同様、入射電力の増大に伴い、 D は直線的に増える。

その勾配は、管径が大きい程急になっている。このとき、

プラズマの密度変化は、Fig.3-17 のように全くなく、入射電力の増大は、プラズマの体積の増加のみを生ずることが明らかになつて。(プラズマの温度は密度から熱平衡の仮定のもとに求めるので、温度の入射電力依存性は、密度のそれと同様である。

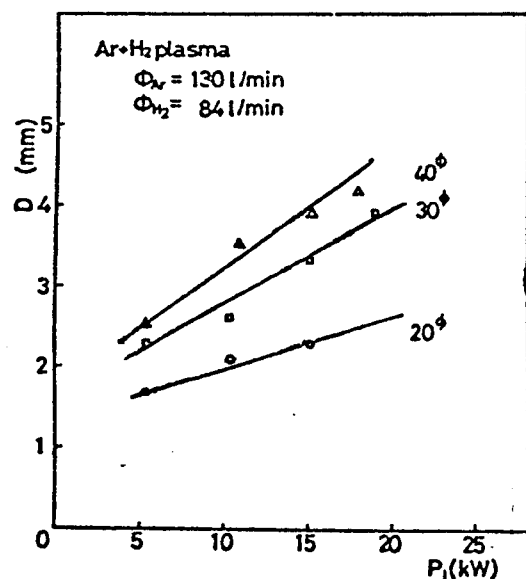


Fig.3-16 Relation between plasma diameter D and input power P_i

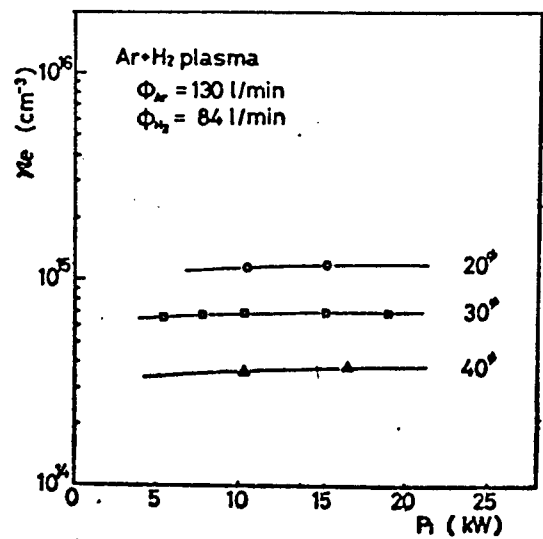


Fig.3-17 Relation between plasma density n_e and input power P_i

ガラス管径の与える効果を明らかにするため、ガラス管径を横軸にとり、上記のような $\text{Ar} + \text{H}_2$ プラズマについて、プラズマの直径 D 、温度 T 、及び密度 n_e を求めたのが Fig. 3-18 である。このとき、マイクロ波入射電力は $P_i = 10 \text{ kW}$ 、気体流量は $1 \sim 200 \text{ l/min}$ である。

これによると、プラズマの直径は、 $D = 2 \sim 4 \text{ mm}$ でガラス管径が大きくなると直線的に増大する。

これに対して、管径を小さくすると、直径 D は減少するのであるが、電子密度 n_e 及びプラズマ温度 T 管径に逆比例して、管径が小さくなる程急激な増加傾向を示している。

このように、本項では、サーマル・ピニチ効率に及ぼす管径の影響が実験的に確かめられて、これについて、第6章において理論的考察を深める。

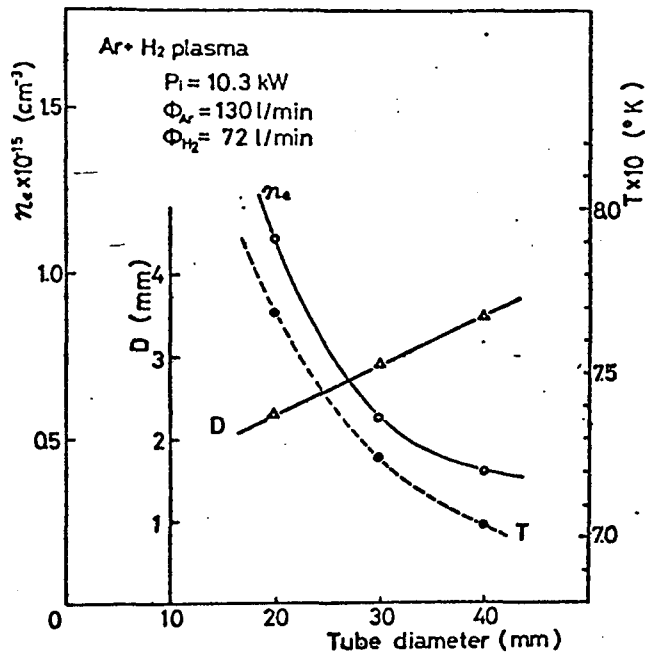


Fig. 3-18 Dependence of plasma parameter on tube diameter

(2) プラズマビームの各パラメータに及ぼす水素の影響

水素混合比のプラズマに及ぼす効果について、気体循環装置を用いて実験を行ない、検討を行なつて。

Fig. 3-19 は、 $\text{He} + \text{H}_2$ プラズマにおいて水素の混合比 τ (%) を変化させ、プラズマの温度、密度及び直径を求めておるのである。このときのマイクロ波入射電力は $P_i = 20 \text{ kW}$ で、気体流量は $Q = 820 \text{ l/min}$ である。これによると、プラズマの電子密度 n_e は、水素の混合比が 80% まで ($\tau \leq 80$) では急激に増大し、それに伴い温度も上昇するが、一方プラズマ直径は減少する。

この現象は、いわば、水素によるサーマル・ピニ子効果であり、 $\text{N}_2 + \text{H}_2$ プラズマについても、同様の現象が見られた。

このような水素によるサーマル・ピニ子効果は次のようなくる気体の性質の違いによつて生じる。つまり、水素の熱伝導度は、Appendix B に示すように He, N_2 などに比べて、 $T < 5000^\circ\text{K}$ では、非常に大きさ・値を持っている。したがつて、プラズマ中の水素混合比が増加するごとに、比較的低温のプラズマ周辺が冷却され、その結果、細くて短いプラズマとなるのである。このプラズマ体積の減少はマイクロ波の入射電力のプラズマ中のエネルギー密度を高めることとなり、プラズマの密度、温度の上昇をもたらすと考えられる。Table 3-1 に、入射電力 $P_i \approx 20 \text{ kW}$ 气体流量 820 l/min の場合について、 $\text{N}_2 + \text{H}_2$ プラズマ、

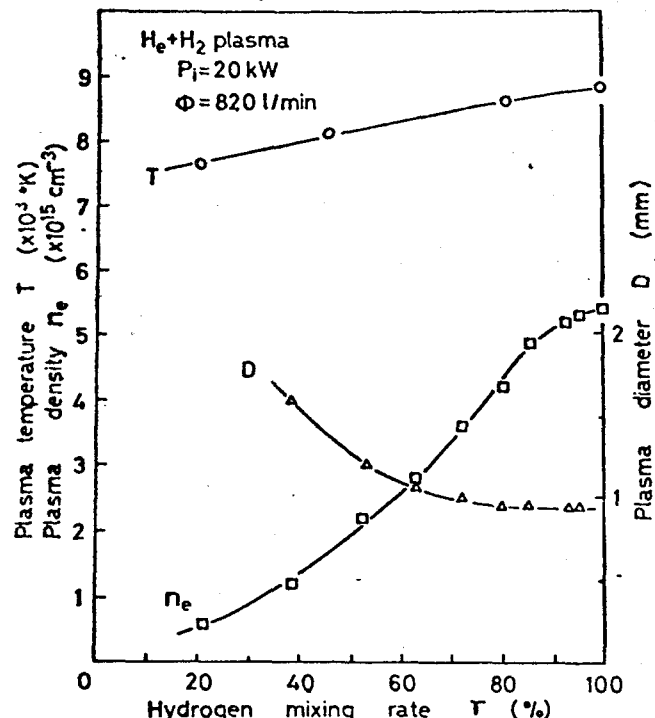


Fig. 3-19 Dependence of plasma parameter on hydrogen mixing rate

$\text{He} + \text{H}_2$ プラズマ及び H_2 プラズマの性質を示している。ここで、プラズマへの入射エネルギー密度は、プラズマのエネルギー吸收効率が 90% であるとして求めている。これによると、水素プラズマでは、エネルギー密度が他のプラズマに比べて一桁大きく、また電子密度も同様に一桁大きくなっている。

Table 3-1 Property of plasmas consisting of various gases

$$P = 20 \text{ kW} \quad \Phi = 820 \text{ l/min}$$

使用気体	プラズマ直径	プラズマ長	プラズマ体積	エネルギー密度	電子密度	温度
$\text{N}_2 + 20\% \text{ H}_2$	1.9 mm	29 cm	0.82 cm^3	22 kJ/cm^3	$5 \cdot 10^{14} \text{ cm}^{-3}$	7000 °K
$\text{He} + 20\% \text{ H}_2$	2.4	31 cm	1.4	13	$6 \cdot 10^{14}$	7800
H_2	1.0	18 cm	0.14	140	$5.5 \cdot 10^{15}$	8800

次に、気体の電気伝導度から実験結果を考察する。Appendix B より、 $\sigma_H \gg \sigma_{H_2}$ であり、水素が選択的に加熱されることになる。また、電離電位は、水素では 13.6 eV、ヘリウムでは 24.6 eV である。したがって He に比べて H_2 の方が容易に電離しやすい。このため、Fig. 3-15 のように H_2 量が増えることによって電子密度は上昇する。これに対して、 $\text{N}_2 + \text{H}_2$ プラズマでは

Table 3-2 Physical constants of nitrogen and hydrogen

	T (°K)	σ (cm ²)	γ (mho/cm)	χ (W/cm ³ K)
nitrogen	6×10^3	1.0×10^{-15}	4.0×10^{-2}	2.0×10^{-2}
	7×10^3	1.0×10^{-15}	4.0×10^{-1}	4.5×10^{-2}
hydrogen	6×10^3	1.5×10^{-15}	1.0×10^0	2.0×10^{-2}
	7×10^3	1.5×10^{-15}	3.0×10^0	2.5×10^{-2}

は、 N_2 の電離電位が 14.5 eV であり、 H_2 のものとあまり変わらないため、また、電気伝導度も同じオーダーであり、 $\text{He} + \text{H}_2$ プラズマと同じ考え方はできます。上に述べた入射エネルギー密度の変化による説明が妥当であろうと思われる。

Fig. 3-19において、水素の混合比 δ が大きい程、 $\text{P}^\circ\text{ラズマ}\cdot\text{パラメータ}$ の変化の割合は小さくなっている。そして、 $\delta \approx 90\%$ (%)の場合、 $\text{P}^\circ\text{ラズマ}$ の直径は約1mmでほとんど一定となっている。また、その範囲では、密度・温度はともにその増加比率が小さくなっている。したがって、水素中に不純物として He が混入している場合は、その混合比が小さければ $\text{P}^\circ\text{ラズマ}$ の密度と温度を少し低下させるだけで、水素 $\text{P}^\circ\text{ラズマ}$ とその性質についてほとんど同様と見なしてよいであろう。これは先に述べたように、水素の電気伝導度が大きいことと、電離電圧が小さいことによるが、この原因の一つには、水素とヘリウムの質量をそれぞれ m_H , m_{He} とすると $m_{\text{He}} > m_H$ なので、 $\text{P}^\circ\text{ラズマ}$ 中の少量の He は、回転による遠心力が H よりも大きく、 $\text{P}^\circ\text{ラズマ}$ 外部(周辺)を流れることを考えられる。

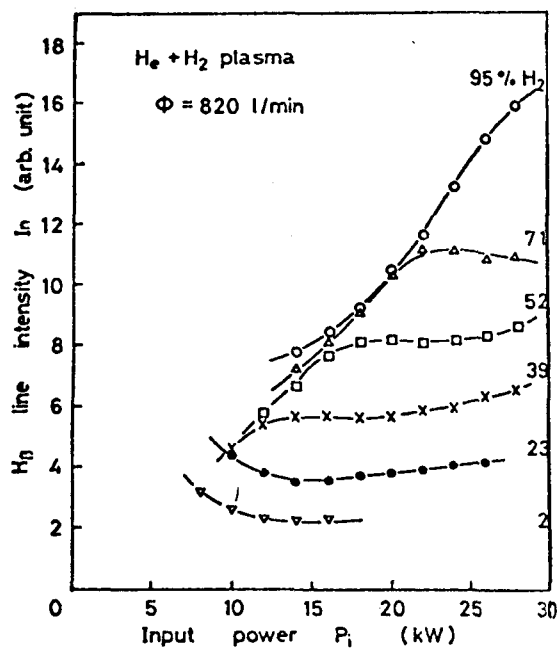


Fig. 3-20 Behaviour of H_α line intensity from $\text{He} + \text{H}_2$ plasma

次に $\text{P}^\circ\text{ラズマ}$ が発光する H_α 線の強度の入射電力依存性について、水素の混合比 δ をパラメータとして実験を行うと Fig. 3-20 のような結果を得た。これによると、水素 $\text{P}^\circ\text{ラズマ}$ では入射電力の増大とともに、 H_α 線の強度は大きくなるが、 He $\text{P}^\circ\text{ラズマ}$ 及び水素混合比の小さい $\text{P}^\circ\text{ラズマ}$ では、強度の減少部が見られた。このことは次のようと考えられる。 He の混合比が大きいとき、入射電力の増大は $\text{P}^\circ\text{ラズマ}$ 体積の増加をもたらし、水素イオニーの密度の相対的減少のため H_α 線強度が減少する。さらに電力を増大すると $\text{P}^\circ\text{ラズマ}$ の温度が上昇し、 H_α 線はその強度を増すことになる。

3-5 水素プラズマの諸特性

He , $\text{Ar} + \text{H}_2$ など単原子気体のプラズマでは、入射電力の増大によって、体積が増加するだけで、プラズマ温度及び密度の入射電力依存性はほとんどない。しかし、水素プラズマでは、3-3節に述べたように直径の入射電力依存性がほとんどないので、入射電力を増大すると、プラズマ温度の上昇が予想される。このため水素プラズマにおいて、

入射電力を変化させてプラズマ・パラメータを求めたところ、Fig. 3-21 のような結果を得た。ここでは水素流量が約 1800 l/min と多いため、直径は 3-3 節に述べた値よりも多少細くなり、 $D \sim 0.8 \text{ mm}$ である。これに対し

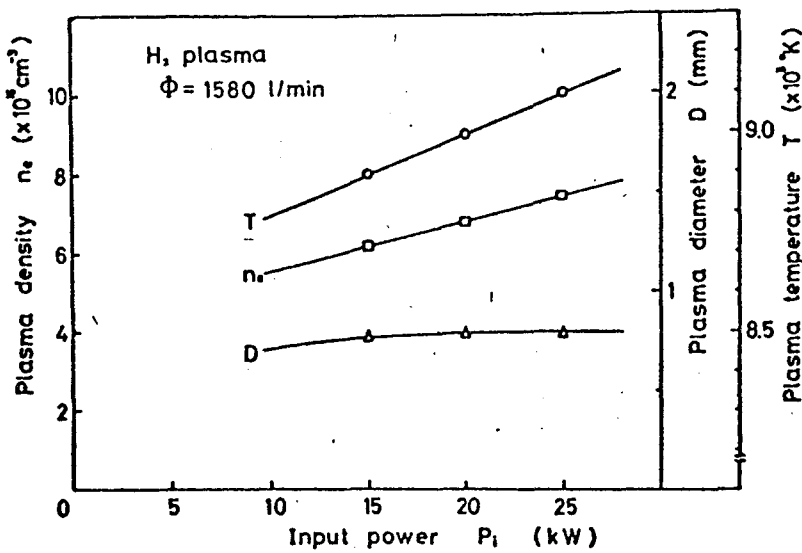


Fig. 3-21 Dependence of plasma parameter on input power

て、プラズマの温度及び電子密度は入射電力の増大に伴い上昇し、

$P_i \sim 24 \text{ kW}$
に対し
 $T \sim 9 \times 10^3 \text{ }^\circ\text{K}$
 $n_e \sim 7 \times 10^{15} \text{ cm}^{-3}$
となる。

前節において、水素によるサーマル・ピニチ効果が

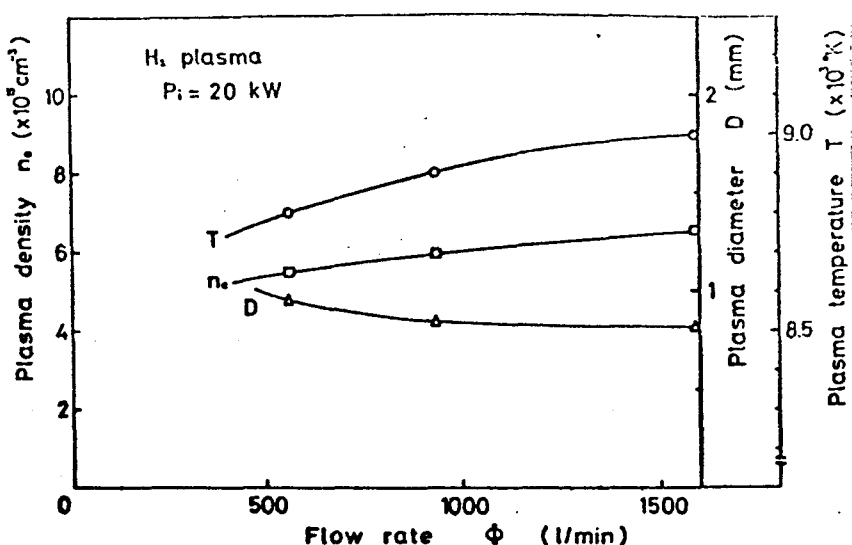


Fig. 3-22 Dependence of plasma parameter on flow rate

実験的に確かめられた。したがって、水素プラズマを除く他のプラズマでは見られなかつて気体流量によるプラズマ密度及び温度の変化が、水素プラズマにおいて存在することが予想される。このことは、Fig. 3-22 のような実験結果によつて実証された。このように、水素の流量を増加させると、プラズマの直径は減少し、電子密度及び温度の増大がもたらされる。この現象を、水素气体流によるサーマル・ヒニチ効果と名付ける。

このような水素プラズマのふるまいをさらに詳しく検討するため、スリット結像法を用いた分光測定で、電子密度の半径方向分布を測定してみた。Fig. 3-23 が得られた代表的データである。これによると、プラズマへの入射電力の増大は、プラズマ中心部 (core) の電子密度の増大をもたらし、周辺での影響はあまり見られない。

これは、マイクロ波のエネルギーがプラズマ中に今までよく浸透していることを示していいる。この現象は、プラズマが非常に細いため起きるのであるが、第6章において詳しく説明をす。

次に流量依存性については、図中破線のように流量が大きくなると、プラズマ周辺部が冷却され(密度が減少)、プラズマ直径は減少する。これは流れの水素の気体流によるプラズマ周辺の冷却効果が大きいことを表わし、その結果プラズマ中心の密度は上昇することとなる。

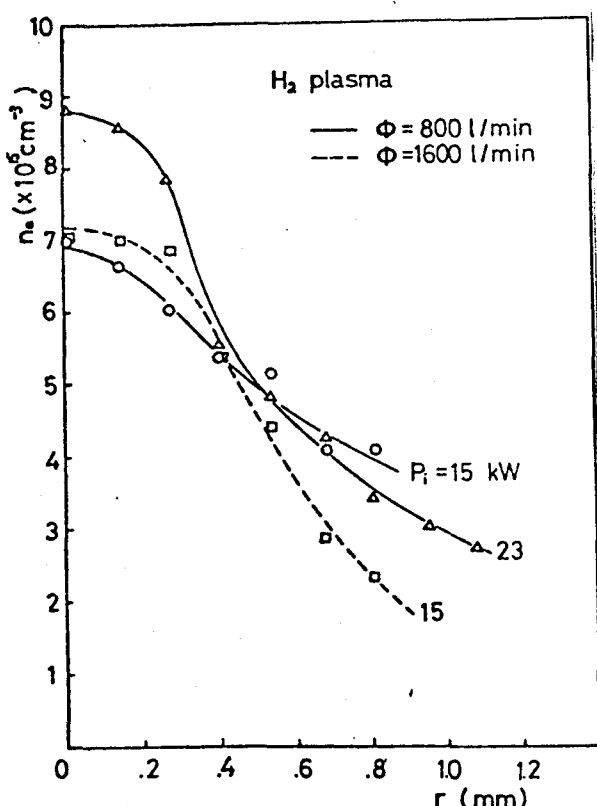


Fig. 3-23 Spatial profile of plasma density

は、壁とプラズマとの間を流れの水素の気体流によるプラズマ周辺の冷却効果が大きいことを表わし、その結果プラズマ中心の密度は上昇することとなる。

3-6 結 言

本章では、マイクロ波プラズマの基本的な物理特性を実験的に明らかにして、その結果は次に示す通りである。

- (1) 生成した大気圧プラズマは、最大電力へ至るまで、マイクロ波の吸収効率が 80 % 以上であり、非常に高い。
- (2) 気体流速分布を測定して結果、回転気体流のガラス管内に半径方向の圧力勾配を形成し、プラズマを安定化する。
- (3) プラズマに対する管壁のサーマル・ビニチ効果を確認して、この効果は管径が小さい程大きい。
- (4) プラズマ中ににおける元素混在比の増加によつて、プラズマの直径は減少し、その結果、プラズマの中心における温度及び密度は共に増大する。
- (5) H_2 プラズマの場合、入射電力依存性及び流量依存性が、プラズマ中心の温度及び密度について現われ、5 例みく、 $P_i \approx 30 \text{ kW}$ のとき、 H_2 プラズマは 直径 1 mm、長さ 20 cm のフィラメント状をしていて、その中心での密度 $n_e \sim 10^{16} \text{ cm}^{-3}$ 、温度 $T \sim 9000^\circ\text{K}$ である。

第4章 大気圧プラズマにおける中性 粒子の挙動とその考察

回転気体流中のマイクロ波プラズマについて、第3章では、主に分光測定から プラズマパラメータ (n_e, T) の特性を明らかにしてきた。その結果から プラズマと冷たい気体流との間に境界が存在することが予想される。また、 $N_2 + H_2$ プラズマ、 $Ar + H_2$ プラズマは、温度がそれ程高くなく ($T \sim 8000^{\circ}K$) 不完全電離であるので、プラズマ中に存在する中性粒子を無視する訳にはいかない。さらに、前章では、熱平衡の仮定を用いてプラズマ温度を算出して来たのであるが、その妥当性を確かめるためには、中性粒子の温度を求めてみなければならぬ。以上の点から、本章では 中性粒子がプラズマ中及びその周囲でいかにふるまうかを知るために、レーザー干涉計を用いて 中性粒子の密度の空間分布を測定した。

4-1 レーザー干渉実験

前章においては、気体流速及び静圧の半径方向分布を求め、 Ar プラズマの安定性について考察を行ったが、今度は、 Ar プラズマ中の中性粒子のふるまいを知るために、 Ar プラズマがある場合の中性粒子の密度分布を干渉計で測定した。

Fig. 4-1 は得られたデータの典型例であり、気体密度 n_0 及び気体温度 T_0 の空間分布を示している。これは、 $\text{Ar} + \text{H}_2$ プラズマで、その入射電力 $P_i = 15 \text{ kW}$ 、気体の全流量中～ 220 l/min のときのものである。

干渉測定による n_0 の測定の際、ガラス管内の気体流による密度変化は無視して考えている。したがって、中性粒子の温度 T_0 については、

$$n_0 T_0 = \text{const}$$

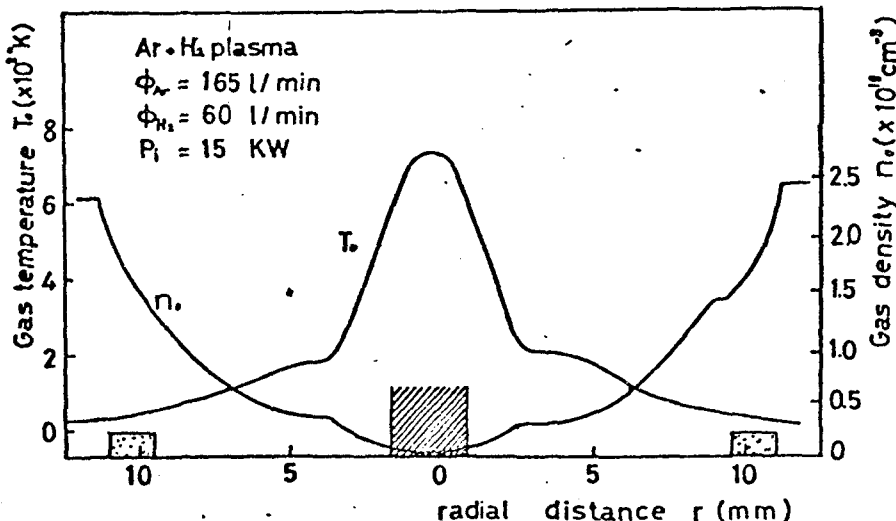


Fig. 4-1 Distribution of gas temperature and gas density.

の簡単な仮定を用いて求めた。ここで、ガラス管は、直徑 20 mm のものであり、その管壁を Fig. 4-1 $r = 10 \text{ mm}$ の位置に記している。また中心に斜線で示した部分の巾は、分光測定で求めたバルマー線強度の半値巾で定義してアラズマの直径を表わす。この結果、アラズマ中心では、中性粒子の温度及び密度は、下へ 7400°K 、 $n_0 \sim 10^{18} \text{ cm}^{-3}$ である。

次に温度分布について考えると、Fig. 4-1 から、アラズマ部分と周辺の温度の低い気体流との間には、きり

した境界が存在していることが実験的に明らかになった。この境界の直径は約5mmであり、分光測定で得られてアラズマの直径の約2倍である。このようは境界は $N_2 + H_2$ プラズマにおいても存在することが同時に確かめられ、同じような特徴を持つ。本論文ではこの境界を気体壁 gas wall と名付けることにする。

ところで、ガラス管の存在のために、干涉縞が作れず其振器中央の位置でのアラズマの測定は不可能である。このため、第2章2-2節で説明したように、芝振器内壁より1cm 上部のガラス管から出た所でアラズマの測定を行なった。しかし、 $Ar + H_2$ プラズマ、 $N_2 + H_2$ プラズマは、その長さが30~40cmで十分長く、アラズマはその長さ方向に一様と考えてもよいので、芝振器中央から測定位置までの距離4cmのすれば、アラズマの半径方向分布の形状にどうぞそれ程重要な問題ではないようと思われる。

4-2 気体壁に関する考察

(1) Meierovich の理論

Meierovich は軸方向に無限長の円筒状プラズマを考え、気体の対流、及び、プラズマの輻射損失を無視してマイクロ波などの高周波電界によって生成されたプラズマについて、種々の仮定を用いて問題を簡単化し、アラズマへの入力と、プラズマ最高温度の関係を解析的に解いている。彼は、マックスウェルの式とエネルギー平衡式から、表皮厚さ (skin depth) δ をパラメータとして、プラズマに吸収される単位長当たりのエネルギー Q_0 (kW/cm) とプラズマ最高温度 T_m との間に、次のようないくつかの関係式を導いた。

$$Q_0 = 4\pi\nu(\lambda) \kappa_m \cdot T_m^2 / E \quad (4-1)$$

$$\nu = \frac{1}{\xi} \frac{r_w}{\sigma} \exp\left(-\frac{2\pi}{Q_0} \int_0^{T_m} \kappa dT\right) \quad (4-2)$$

ここで $\nu(\nu)$: 表皮効果の大きさを表すパラメータ
 ξ : 1のオーダーの係数
 r_w : 管径 ($\int x dT = 0$ の位置)
 κ_m : 温度が T_m の気体の熱伝導度
 E : 電離ポテンシャル

である。

この理論には、第6章で詳しく述べるようだ、適用範囲に限界があり、問題点が存在するが、比較的温度の低いプラズマに対しては成立するものである。したがって、本研究でマイクロ波で生成した N_2 プラズマについて、Meierovich の理論の適用を試みる。大気圧の N_2 プラズマについて、Meierovich の理論から定性的な解を求めると、Fig. 4-2 に示すような複雑な形状をしていく。これは N_2 の解離による熱伝導度が非常に大きいためである。

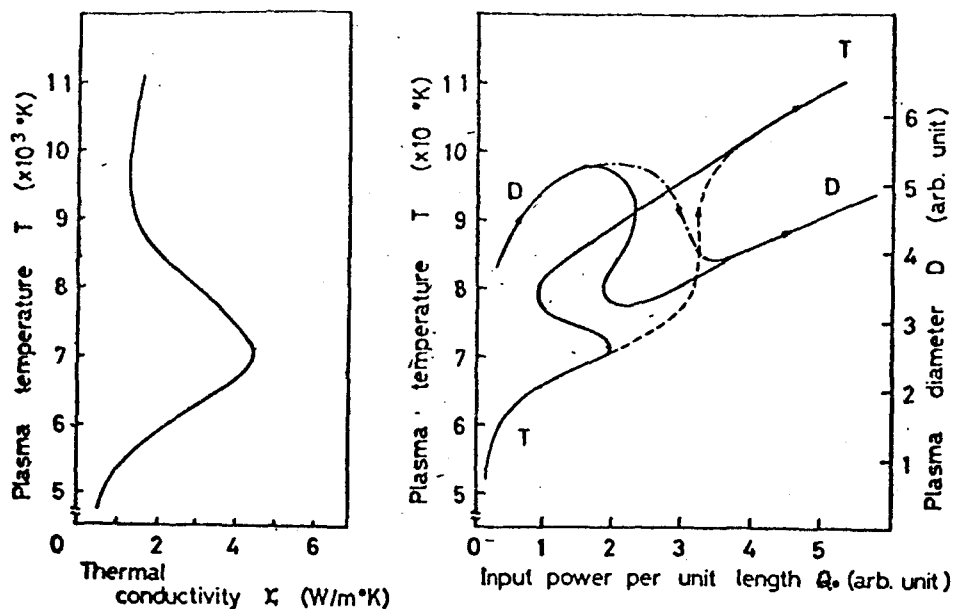


Fig. 4-2 Thermal conductivity of nitrogen and theoretical curves with Meierovich's theory

(2) 実験結果への Meierovich の理論の適用

N_2 プラズマについては、その温度の流量依存性は全く見られていない。したがって、流れを無視して Meierovich の理論の適用が可能である。

実験では、プラズマに入射される全エネルギー P_{ab} は測定されているのであるが、単位長に入射されるエネルギー Q_0 (KW/cm) を求める際には注意を必要とする。 N_2 プラズマの全長を L (cm) とし、そのうち l (cm) の長さに一様にマイクロ波のエネルギーが入射されたと考えると

$$Q_0 = \frac{P_{ab}}{l} \quad (\text{KW}/\text{cm}) \quad (4-3)$$

で表わすことができる。ここで P_{ab} は第3章で述べたプラズマの吸収電力である。 $(4-3)$ 式における l については、次に示すよう l に通りの考え方により決定してみた。まず、その一つとしては l を共振器の高さ b と

した場合で

$$l = 6 \quad (\text{cm})$$

であり、もう一つは、プラズマの直径の定め方などによく用いられる半値巾の考え方によって、プラズマの全長に対して、

$$l = \frac{L}{2} + 3 \quad (4-5)$$

とした場合である。

このような二通りの Q_0 の定め方によつて、管径 2 cm のガラス管の中に生成して N_2 プラズマの最高温度 T_m を図示したのが Fig. 2-3 である。両者には、このように同じ温度における Q_0 の値にかなりの違いが認められるが、 T_m の Q_0 依存性は、ほぼ同様の傾向を有し、 Q_0 が増大すると飽和する傾向にある。

これに対して Meierovich の理論を適用する。 $R = 1\text{cm}$ として (4-1) 式及び (4-2) 式を解くと Fig. 2-3 に示すように T_m の理論値は、定性的にも、定量的にも実験値との間に大きな違いがある。このくらいの最大の原因是、実験においては、かなり流速の大きい気体流が存在するのであるが、Meierovich の理論には、この効果が考慮されていないからである。

したがつて、気体流によって生成された気体壁が本節において明らかにされているので、軸方向気体流の効果を考慮するため、管壁としてこの気体壁を用いて Meierovich の理論を解いてみる。このとき

$$r_w = D_p / 2 \sim 2D / 2$$

と考える。

ここで r_w : 管壁の半径
 D_p : 気体壁の直径
 D : プラズマの直径

である。

これを用いて Meierovich の理論曲線を求め、同じ Fig. 4-3 に書いてみると、実験値とよい一致を示す。つまり、定性的には、入射電力の増大に対して、 N_2 プラズマの最高温度は飽和する傾向を示し、また定量的にも、 Q_0 の定め方の違いによる二通りの実験値のほぼ中間の T_m の値をとり、実験結果の理論的な説明が、実効的には管壁である気体壁を考えることによってなされた。

以上の結果より、生成されたプラズマを模式的に描くと

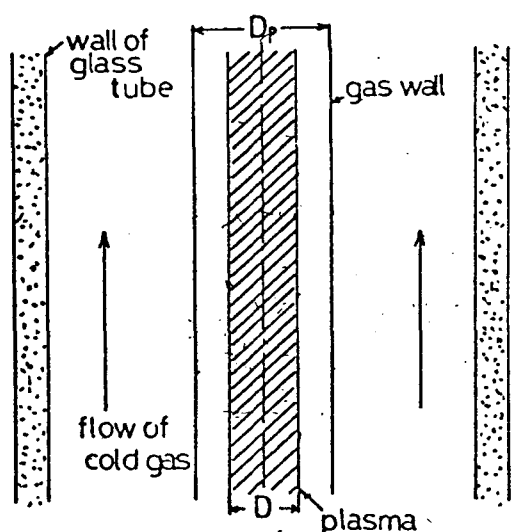


Fig. 4-4 Model of plasma with flow

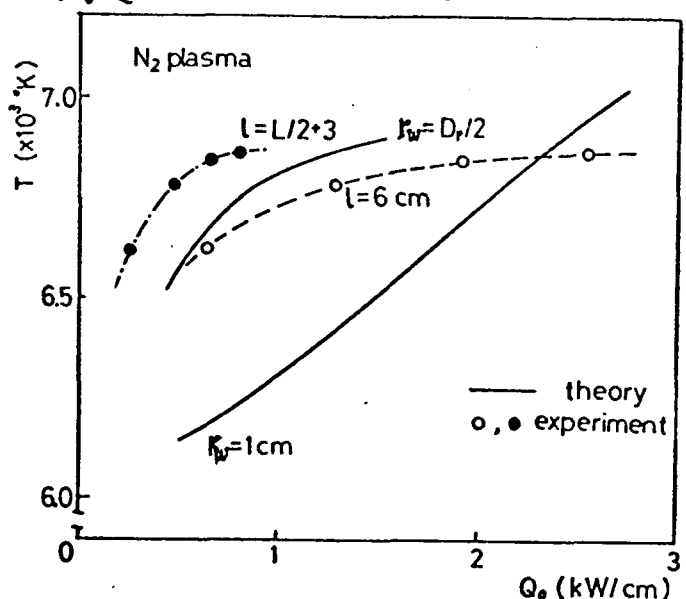


Fig. 4-3 Relation between plasma temperature T and input power Q_0

$Fig. 4-4$ のようになる。このように、ガラス管の中心に生成されたプラズマは、プラズマ半径の約2倍の位置に存在する気体壁によって、冷たい中性気体の流れの部分と分離せられている。

4-3 マイクロ波プラズマビームにおける中性粒子密度と温度

$\text{Ar} + \text{H}_2$ プラズマ, $\text{N}_2 + \text{H}_2$ プラズマのそれぞれについてレーザー干涉測定を行い、気体壁の直径及びプラズマ中心の中性粒子の密度 n_0 , 温度 T_0 のふるまいについて考察をした。

(1) 入射電力依存性

実験結果を Fig. 4-5, Fig. 4-6 に示す。なお比較のために同じ条件のときに分光測定で求めたプラズマの温度及び直徑を図中に破線で描いている。

まず、Fig. 4-5 は $\text{Ar} + \text{H}_2$ プラズマの中にある中性粒子の密度 n_0 , 温度 T_0 の入射電力依存性である。これによると、 n_0, T_0 はほぼ一定であるが、気体壁の直徑 D_p はプラズマ直徑 D の約 2~2.5 倍とはてており、入射電力の増加に伴い急速に大きくなる。また、 $T_0 \sim T$ となっていたことがわかる。

一方、 $\text{N}_2 + \text{H}_2$ プラズマの場合、Fig. 4-6 に示しているように、入射電力の小さいときは、 $T_0 \ll T$ であるが、入射電力の増大に伴いその温度差 ($T - T_0$) は縮

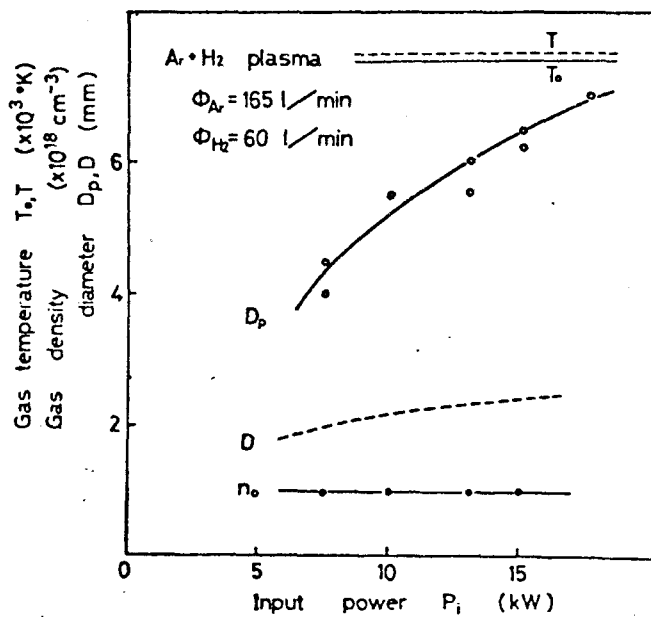


Fig. 4-5 Dependence of $\text{Ar} + \text{H}_2$ plasma on input power

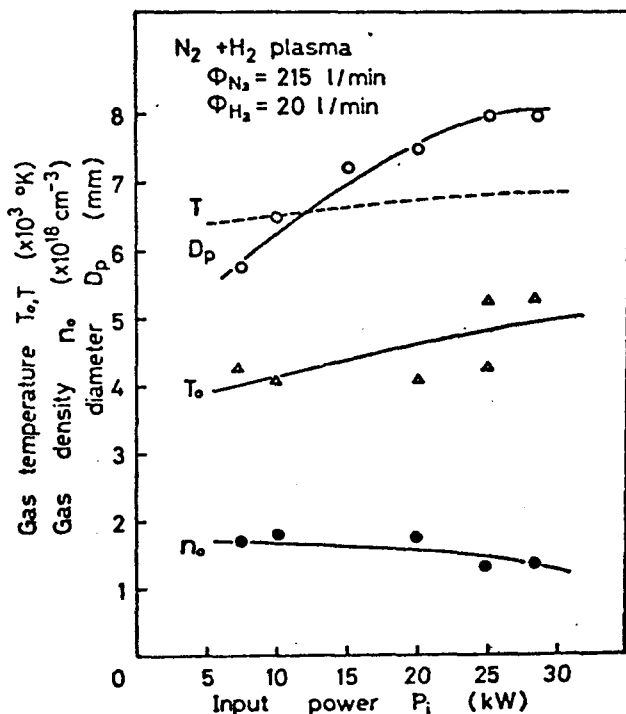


Fig. 4-6 Dependence of $\text{N}_2 + \text{H}_2$ plasma on input power

まり、 $T_0 < T$ となる。Ar + H₂ プラズマと比較してこのような差が生じるのは、N₂ + H₂ プラズマの場合、木素の混合比が小さいことが原因であるようと思われる。このことについては、次の図で述べる。

(2) 木素流量依存性

Ar + H₂ プラズマ及び N₂ + H₂ プラズマに対して、それぞれ木素の流量を変化させて、プラズマ中の中性粒子の温度、密度及びプラズマ直径、気体壁の直径のふるまいを調べると、Fig. 4-7, Fig. 4-8 のよう f_d 結果を得た。これによると、Ar + H₂ プラズマ、N₂ + H₂ プラズマは共に、木素の流量が少い場合、 $T_0 < T$ であるが、木素の流量が増すことによって中性粒子の温度が上昇し、プラズマ温度に近づく。そして、木素流量が 40 l/min になると、 $T_0 \sim T_e$ となる。この結果から、Fig. 4-6 の N₂ + H₂ プラ

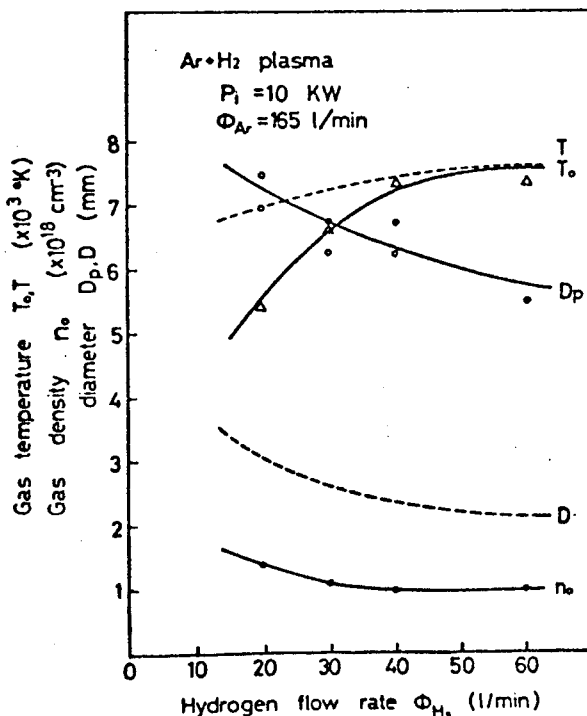


Fig. 4-7 Dependence of Ar+H₂ plasma on hydrogen flow rate

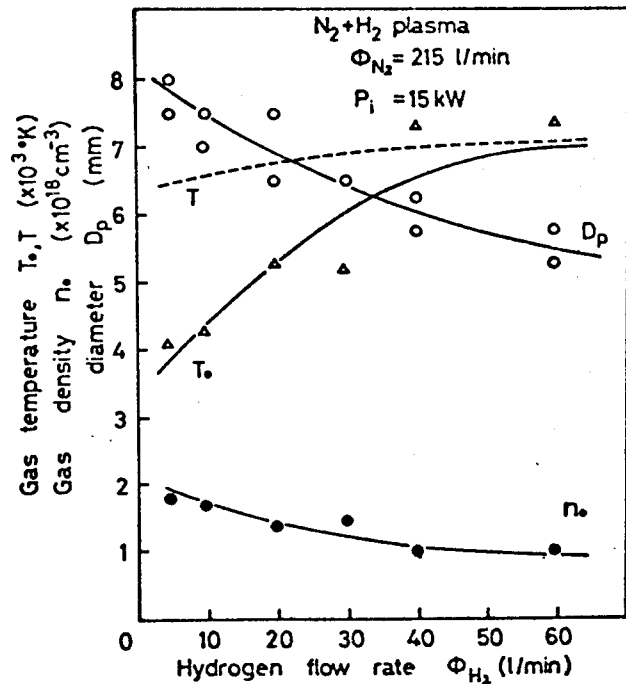


Fig. 4-8 Dependence of N + H plasma on hydrogen flow rate

ズマでは、 $\dot{V}_{H_2} \approx 20 \text{ l/min}$ と小さく $T_0 < T$ であることが認められる。

上のような木素流量の寄与は、化学反応による気体温度の上昇及び木素のサーマル・ピンチ効果による気体の温度上昇などによって生じるものと考えられる。したがって、純粹な木素のプラズマの熱平衡からのずれは、より小さくなると期待できる。しかし、木素プラズマは、前章において明らかにしたようにその直径が小さく、磁場によつて支配されることが予想される。

4-4 結 言

回転気体流中のマイクロ波プラズマについて、中性気体に注目してレーザー干渉測定を行はり、次のことを明らかにして。

- (1) プラズマと中性気体流との間に気体壁が存在する。
- (2) Meissner の理論を実験結果に適用することによつて、気体壁が実効的な管壁の後割を果たしていることか、判明した。
- (3) 气体壁の径は、プラズマ径の約2倍であり、プラズマ直徑とはほぼ同様のふるまいをする。
- (4) 木素の混合比の大きいプラズマは熱平衡からはずれは小さくなる。このことは、マイクロ波の入射電力を増加させたときについても同様である。

第5章 マイクロ波木素プラズマの熱平衡 に関する考察

第4章までは、プラズマが局所熱平衡(LTE; local thermodynamic equilibrium)であると仮定してきたが、前章においても検討されているように、木素プラズマの場合、直径が約1mmであり非常に細く、拡散で支配されにくく、強い不均一性を示すと予想される。したがって、本章では、プラズマの熱平衡性を考察するにあたって、特に、木素プラズマについて種々の方法で電子温度を求め、熱平衡状態にあるかどうかを検討する。

5-1 プラズマの熱平衡条件

一般に、プラズマと呼ばれる高溫電離気体においては、電離度が高く、電気的中性の条件が成立する。このとき、

$$n_e = n_i \quad (5-1)$$

である。ここで、 n_e, n_i はそれぞれ電子及びイオンの密度を表わす。これが成立する条件は、次式で定義されるデバイ長 Debye length r_D で表わされる。

$$r_D = \left(\frac{e T_e}{4\pi n_e^2} \right)^{\frac{1}{2}} \quad (5-2)$$

ここで e : ボルツマン定数

T_e : 電子温度

である。プラズマの半径を r_p とすれば、

$$r_p \gg r_D \quad (5-3)$$

が (5-1) 式の成立する条件である。

大気圧中のマイクロ波プラズマの場合

$$T_e \sim 10000 \text{ } ^\circ\text{K}$$

$$n_e \sim 10^{16} \text{ cm}^{-3}, \quad r_p \sim 0.1 \text{ cm}$$

とすると

$$r_D \sim 7 \cdot 10^{-6} \text{ cm}$$

となり。 $r_p \gg r_D$ であるから $n_e = n_i$ と考えてよい。

次に、一個当たりの粒子のもつエネルギーを考えると、その粒子の温度との間に次の関係が成立する。

$$\frac{1}{2} m_i v_i^2 = \frac{3}{2} k T_i \quad (5-4)$$

ここで m_i : 質量

v_i : 速度

であり 添字 i はそれぞれ、イオン、電子、中性粒子を示す。

・ プラズマ中のイオンと電子は、加えられた電界によって、それぞれ反対方向に加速されるが、 $m_i \gg m_e$ なので、電子の速度はイオンのそれよりも大きく ($v_e \gg v_i$)。弹性衝突によって、電子のエネルギーがイオン及び原子に与えられるが、そのエネルギーは小さい。したがって一般に

$$T_e > T_i > T_0 \quad (5-5)$$

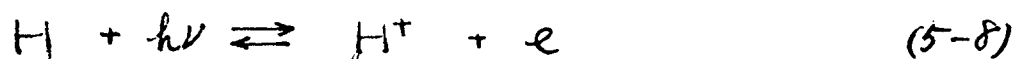
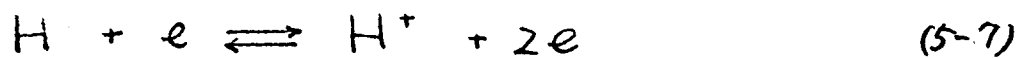
である。

しかし、大気圧以上のアラズマでは、衝突周波数 ν_c が大きいので、電子、イオン及び原子の運動エネルギー分布はほぼ一様であると考えてよい。このような状態をいわゆる熱平衡 (thermodynamic equilibrium) と呼ばれるもので

$$T_e \approx T_i \approx T_0 \quad (5-6)$$

である。

このとき、水素の場合では次のような平衡式が成立している。



ここで \hbar : プランク定数

ν : 光の周波数

であり、 $\hbar\nu$ は光のもつエネルギーである。

第1式 (5-7) は、原子のイオニ化、励起とイオンの再結合との平衡を表めし、第2式 (5-8) は、光の吸収による原子のイオニ化、励起と、光の放射に伴う再結合との平衡を表めしたものである。

ところが、実際には、光のエネルギー $\hbar\nu$ がプラズマに完全に吸収されることはしないので、(5-7), (5-8) 式がともに成立するような完全な熱平衡状態にはならない。しかし、この場合でも、衝突が全体の平衡を支配する程

プラズマの密度が大きいとき、Saha の式のみは成立する。この状態を局所熱平衡 (LTE; local thermodynamic equilibrium) という。

しかし、一般には、プラズマは非平衡状態にあることが多い。このような非平衡状態を分類すると、Table 5-1 のようになる。

以上の平衡・非平衡の成立する条件について考えてみる。実験で得られた水素プラズマの場合

$$\begin{aligned} T &\sim 9000 \text{ }^{\circ}\text{K} \\ n_e &\sim 10^{16} \text{ cm}^{-3} \\ D &\sim 1 \text{ mm} \end{aligned}$$

である。温度が $9000 \text{ }^{\circ}\text{K}$ の水素プラズマに対して Complete LTE の成立する条件は

$$n_e \geq 1.8 \times 10^{18}$$

であるが、考えていくとプラズマはこの条件を満たさない。しかも拡散長を求めると $L_d \sim 4 \text{ mm}$ であり、 $L_d > D$ となるので、拡散支配された非一様性が強いプラズマであることがわかる。したがって、この水素プラズマは LTE の状態にないと考えられる。しかし、 $n_e \geq 5.6 \times 10^{15}$ であり、Partial LTE の条件を満たしている。このことは、次節において実験的に明らかにする。

Table 5-1 Non-equilibrium state

[Non-equilibrium state]

i) Temperature non-equilibrium
 $T_e \neq T_{\text{heavy}}$

ii) Ionization non-equilibrium
 ionization \neq recombination
 Saha equation can not be used

iii) Boltzmann non-equilibrium
 deviation of excited state from Boltzmann distribution

5-2 水素プラズマの熱平衡に関する実験と考察

5-1節で述べたような熱平衡を水素プラズマにおいて検討するために実験を行なって、

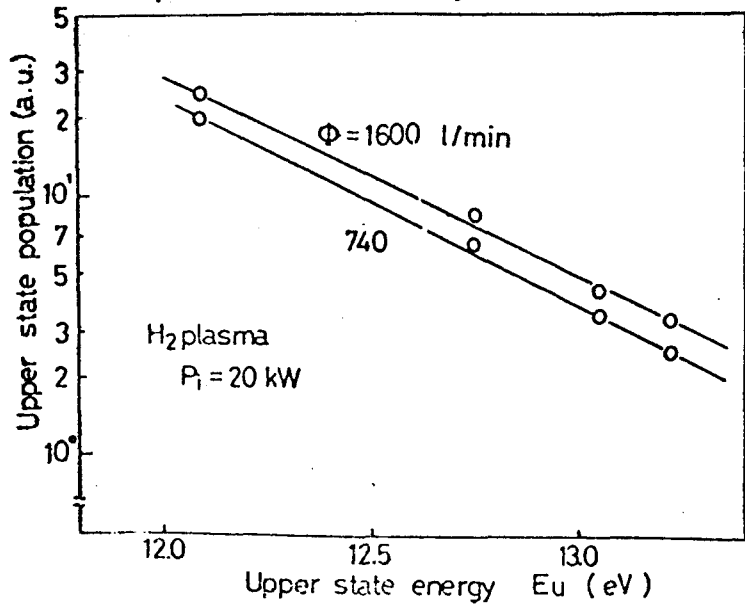


Fig. 5-1 Intensity ratio of Balmer series

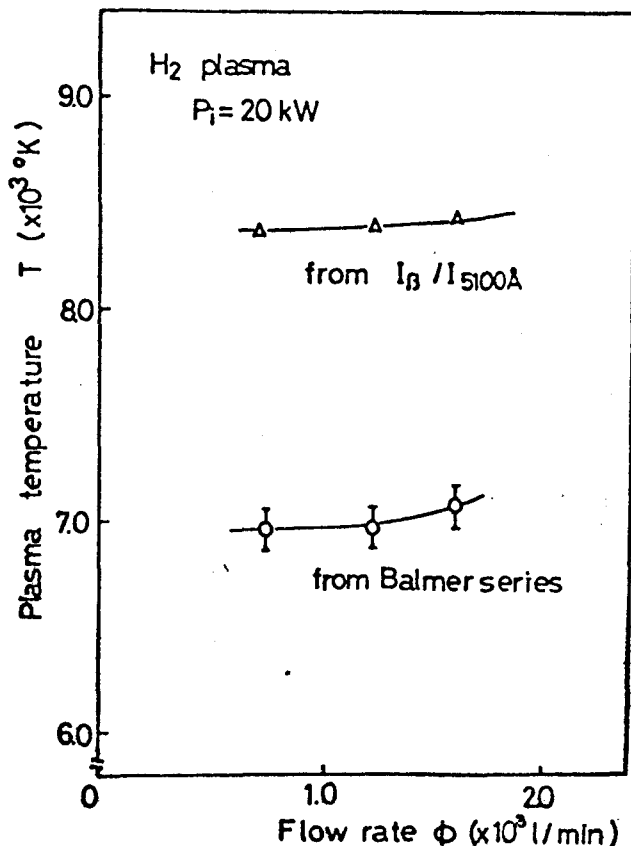


Fig. 5-2 Plasma temperature vs. flow rate

Fig. 5-1は、水素バルマーリー系列のスペクトルの相対強度を示したものである。ここで、元量をパラメータとして、H_α, H_β, H_γ, H_δの相対強度をみると、それぞれ直線に乗り、水素原子の各励起レベルについて、流量にかかわらず平衡状態にあると結論できる。この直線の傾きから、プラズマの温度を決めるのであるが、第3章でみたように、流量の増加に伴って温度は上昇する。Fig. 5-2に、入射電力20kWのときのプラズマ温度の流量依存を示す。このように、バルマーリー系列の相対比から求めたプラズマ温度は $T \sim 7000 \text{ }^\circ\text{K}$ である。参考のために、H_β線と5100Åのスペクトルとの相対強度比 $I_B/I_{5100\text{\AA}}$ から求めた温度を同時に記しているが、この温度は $T_e \sim 8500 \text{ }^\circ\text{K}$ であり $T_e > T_0$ となつてい

ると思われる。しかし、流量依存性についても、定性的に同様のふるまいを示している。

次に、Fig. 5-3 は、アラズマ温度の入射電力依存性を示すものである。 $P_i \leq 20 \text{ kW}$ で入射電力が比較的小さいとき、バルマー系列の光強度の相対比から求めた温度は、サハ平衡温度及び I_p / I_{5100} より求めた温度と比較してはるかに低く、非平衡性が強いのであるが、入射電力が大きくなると、平衡温度に近づく。これは、第4章において得られていった結果と一致する。この理由は、入射電力の増大によって、アラズマの密度が増加し、より平衡状条件を満たすようにならうと思われる。

次に、Fig. 5-4 は、連続スペクトルの絶対強度からアラズマ中の電子温度を求めることで、図中に各電子温度に対する理論的関係線を書き入れている。これによると、実験値は、いずれも $8000 \sim 8500 \text{ K}$ の範囲にあり、入射電力の増大によって絶対強度が大きくなっている。以下、測定誤差のため、実験値へ従事は連

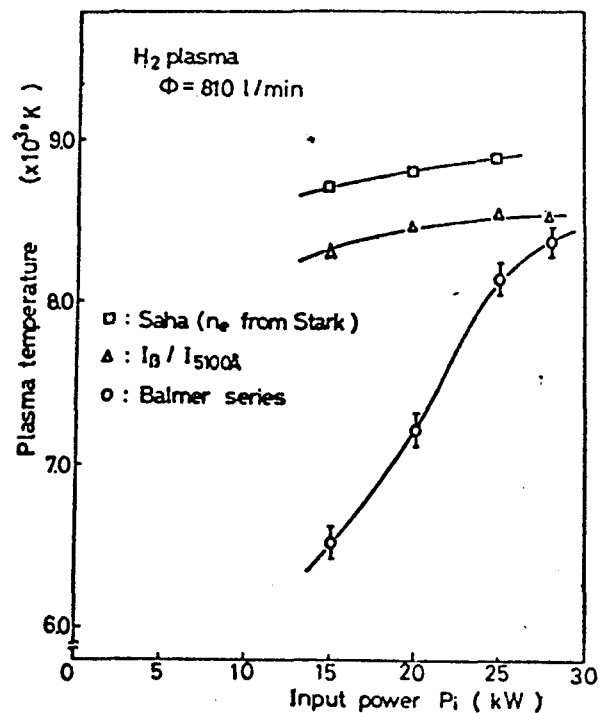


Fig. 5-3 Dependence of plasma temperature on input power

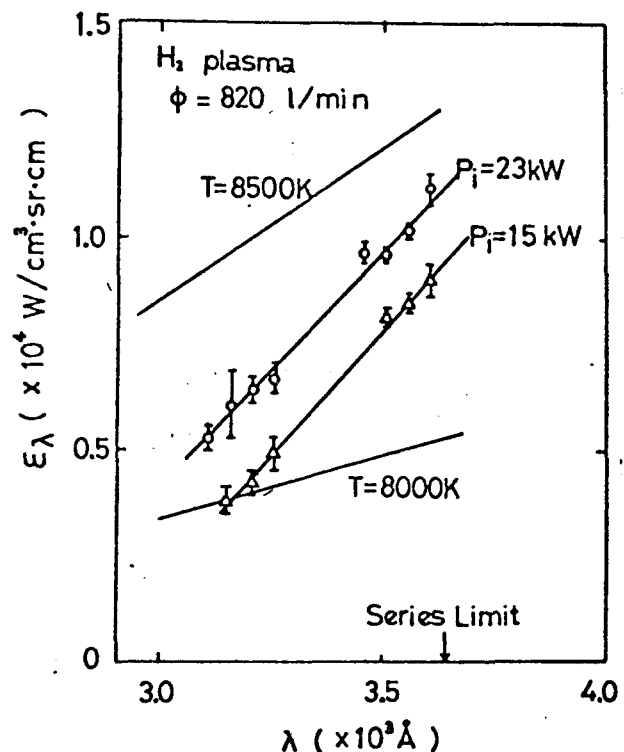


Fig. 5-4 Intensity of continuum spectra

論直線の傾きと一致せず、電子温度の正確な値を求めるることはできない。

以上のようない方法でもって決定した電子温度をまとめるに Table 5-1 のようになる。このときの実験条件は、プラズマへの入射電力 $P_i = 15 \text{ kW}$ 、水素流量 $\sim 800 \text{ l/min}$ であり、電子温度についても併記している。この表に示される値は、電子温度、電子密度共、データを Abel 逆変換して求めたもので、Fig. 5-2 及び

Fig. 5-3 における値より若干の差を生じている。

Table 5-1 において、Complete LTE の仮定から求めた温度は $T = 8000 \sim 9000 \text{ }^\circ\text{K}$ である。一見熱平衡が成立しているように思われるが、5-1 節で述べたように、実験で得られた β プラズマは、Complete LTE 下の条件を満足していないこと、及び、バルマーリー系列の相対強度から求めた温度 $T \sim 6000 \text{ }^\circ\text{K}$ と大きな差を生じていることの二点から、非平衡状態にあると考えられる。

次に、Partial LTE の仮定の下に電子温度を求めると、 $T_e = 8700 \sim 12000 \text{ }^\circ\text{K}$ であり、サハ平衡の温度よりも高くない、というが、測定誤差が大きい。しかし、前節のように β プラズマは、Partial LTE 下の条件を満足しており、また、Fig. 5-1 に示すようにバルマーリー系列の相対強度比は一定であり、水素原子の各起始レベルについては平衡状態にある。したがって、 β プラズマ中心では、Partial LTE の状態にあると考えられる。

Table 5-2 Electron temperature by various methods

H_2 plasma		$P_i = 15 \text{ kW}$	$r = 0$
		$\Phi = 800 \text{ l/min}$	
n_e	Stark Broadening	H_s H_r	$6.4 \times 10^{15} \text{ cm}^{-3}$ 6.4×10^{15}
T_e	Complete LTE	Saha I_{H_α} $I_c (\lambda=3500\text{\AA})$	8900 K 8500 8500~8000
	Partial LTE	I_{H_α}/I_c I_{H_α}	8700 12000
		Intensity ratio of Balmer series	5920

5-3 結論

実験において得られた水素プラズマは、非常に細く、
拡散で支配されにくくアラズマであり、その中心では
Partial L-T-Eの状態にあると考えられる。そして、水素
プラズマの熱平衡からのずれは、マイクロ波入射電力の
増大によつて減少する。

第6章 大気圧マイクロ波ビームに関する理論的考察

大気圧中のプラズマの研究において、アーフ及びインダクション・コイルによるプラズマの場合は、プラズマパラメータの値、及びそれらの空間分布が数値計算によつて解かれているが、マイクロ波によつて生成される大気圧プラズマについては、実験においてと同様、理論的にもその特性の解析がほとんどなされていない。これは、マイクロ波によるプラズマの場合、プラズマへのエネルギー吸収の機構が、かなり複雑であるからである。このために、Raizer⁽⁵⁾は簡単な一次元モデルを使って問題を解いている。また、第4章において述べたように、

Meierovich⁽⁶⁾は、二次元円柱モデルを用いて、プラズマの最高温度とマイクロ波入射エネルギーとの関係及びマイクロ波プラズマの各種パラメータの空間分布を、マクスウェルの方程式と輻射を無視したエネルギー平衡式の二つのを使つて解析的に解いた論文を発表している。しかし、それには次に示すような問題点があり、Meierovichの理論を実験結果に適用する場合、その妥当性について多少の配慮が必要とされる。水素プラズマを考えると、

a. まず、プラズマの電気伝導度について

$$\sigma \sim \sigma_m \cdot \exp^{-\frac{E}{2T}}$$

ここで、T: プラズマの温度(eV)

E: 電離不テンシャル

σ_m : プラズマの最高温度での電気伝導度と仮定しているが、実際の電気伝導度の温度依存性は、このように簡単に一つの式で表めすことのできないものであり、この仮定が成立するのは、温度が 7000°K までのプラズマである。

b. また、プラズマの熱伝導度について、プラズマの中心領域で一定であると仮定しているが、実際

ところが仮定できるのは、アラズマの中心温度が
6~7000°K の範囲にあるアラズマである。

このように、Meierovich の理論は中心温度が 7000°K 以下である比較的低温のアラズマ（例えば、第4章において適用した窒素アラズマなど）において妥当性を持つものであり、この理論を高温度の領域まで拡張して一般的に扱うことは不適当であると考えられる。

したがって、本章においては、マイクロ波領域の周波数をもつ高周波発振器によって生成された大気圧水素中のアラズマの特性を明らかにするために、マクスウェルの方程式及び電荷エネルギーを考慮してエネルギー平衡式を電子計算機を用いて数值計算によって直接的に解き、密度などのアラズマ・パラメータの値、及びその空間分布形状を求め、理論的な考察をする。また、実験で得られた水素アラズマに対して、理論の適用を試み、軸方向気体流について考察を深める。

6-1. 問題の設定及解析方法

この問題を解くために、実験によって矩形空洞共振器中央に実際に得られている水素のアラズマについて考え、次のような解析条件を設定する。

- アラズマの中心軸を又軸とする Fig. 6-1 のような円筒座標系を用いる。
- アラズマは十分長く円筒対称である。
- アラズマは熱平衡状態にみると仮定する。
- マイクロ波の電磁界の時間的変動の項は $e^{-i\omega t}$ で表わされる。
- 対流は無視して考える。
- ガラス管壁の温度は 500 °K であると仮定する。

(1) 基礎式

電界及び磁界のベクトルを E , H とすると、c.g.s. 単位系のマクスウェルの方程式は次式で表わされる。

$$\nabla \times E = -\frac{1}{c} \frac{\partial H}{\partial t} \quad (6-1)$$

$$\nabla \times H = \frac{4\pi}{c} \sigma E + \frac{1}{c} \frac{\partial E}{\partial t} \quad (6-2)$$

ここで、 c は光速である。

共振器中の電界分布は、第1章において記述したようく (Fig. 1-3)。プラズマがない場合は、 z 方向の成分のみ存在する。したがって、

$$E_z = E(r)$$

$$E_r = E_\theta = 0$$

とする。このとき、磁界のベクトルは

$$H = (0, H_\theta, 0)$$

となる。したがって、(6-1)式及び(6-2)式を円筒座標系で表わすと、

$$-\frac{\partial E}{\partial r} = -\frac{i\omega}{c} H_\theta \quad (6-1)'$$

$$\frac{1}{r} \frac{\partial}{\partial r} r H_\theta = \frac{4\pi}{c} \sigma E + \frac{i\omega}{c} E \quad (6-2)'$$

となる。この2式より、 H_θ を消去すると電界 $E(r)$ に対して次の式が成立する。

$$\frac{1}{r} \frac{\partial}{\partial r} r \frac{\partial E}{\partial r} = \frac{4\pi i\omega}{c^2} \sigma E - \frac{\omega^2}{c^2} E \quad (6-3)$$

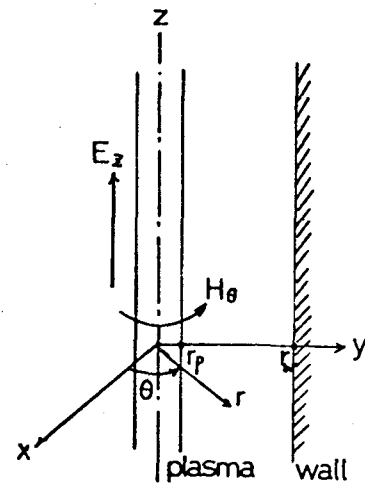


Fig. 6-1 Cylindrical coordinate

ここで、右辺第1項は伝導電流 J_c による項であり、第2項は変位電流 J_v による項である。このうち、変位電流によつて生じる電力を Q_v とすると

$$Q_v = J_v \cdot E_z$$

であるが、共振器中の最大電界は第1章 Fig 1-4 より $E \sim 500 \text{ V/cm}$ であり、 Q_v を計算すると

$$Q_v \leq 0.15 \text{ kW/cm}^3$$

であり、マイクロ波の注入電力 $Q_0 \sim \text{数 kW/cm}$ に対して十分小さく、したがつて (6-3) 式の第2項は無視して問題を解く。

$$\frac{1}{r} \frac{d}{dr} r \frac{dE}{dr} - \frac{4\pi i \omega \sigma}{c^2} E = 0 \quad (6-4)$$

次に、プラズマへのマイクロ波の注入エネルギーと、プラズマからのエネルギー損失とのエネルギー平衡について考える。単位長のプラズマについて、まず、プラズマの得るマイクロ波のエネルギーは、単位体積当り

$$\dot{E} = \frac{1}{2} \sigma E^2 \quad (\text{erg/s.cm}^3)$$

である。これに対して、プラズマのエネルギー損失として熱伝導による損失エネルギー \dot{E}_K 、輻射による損失エネルギー \dot{E}_R 、気体流による軸方向損失エネルギー \dot{E}_Z 、が考えられる。したがつて、エネルギー平衡式は次式で表わされる。

$$\dot{E} = \dot{E}_K + \dot{E}_R + \dot{E}_Z \quad (6-5)$$

ここで、 \dot{E}_K は熱伝導度を K ($\text{erg/s.cm}^\circ\text{K}$) とすると

$$\dot{E}_K = -\frac{1}{r} \frac{d}{dr} r K \frac{dT}{dr}$$

であり、 γ_R は Appendix A に示すような値をとる。また、流れの効果を表わす γ_R については、簡単のため無視し、第 3 項について考慮する。

この場合、プラズマのエネルギー平衡式は次式で表される。

$$\frac{1}{r} \frac{d}{dr} r \kappa \frac{dT}{dr} + \frac{1}{2} \sigma E^2 = \gamma_R \quad (6-6)$$

ここで、熱伝導度 κ 及び電気伝導度 σ は、水素の場合 Appendix B のように与えられていて、温度について既知の値である。

以上のような条件の下で (6-4), (6-5) 式を解くわけであるが、初期条件として温度分布 $T = T(r)$ を仮定し、境界条件としてマントル波入射エネルギー Q_0 (kW/cm) を与え、そのときの電界分布及び温度分布を、差分法により求めると、まず、(6-4) 式から電界分布を求め、その電界を (6-6) 式に代入して温度分布を求めるという方法で行う。

(2) プラズマ中の電界

前述のように、最初に温度分布 $T(r)$ を仮定するので、プラズマの電気伝導度のは、Appendix B のような関係を用いて $\sigma = \sigma(r)$ として与えることができる。したがって、プラズマ中の電界についての方程式 (6-4) は、次のような方法で解析的に解くことが可能である。

$\sigma = \text{const}$ であれば (6-4) 式の解はよく知られているようにベッセル関数で表わすことができる。したがって、この場合、プラズマを含む管径 $r = r_w$ (cm) の内部の領域を Fig. 6 のように dr の厚さをもつ N 個の円筒導体層に分割して考える。このとき、各円筒導体層は、それぞれ、一様な電気伝導度をもつと仮定する。

このようにプラズマを円筒導体層で近似すると、 j 番目の円筒層について、その電気伝導度とのとすれば、(6-4) 式は次のようになる。

$$\frac{d^2 E_j}{dr^2} + \frac{1}{r} \frac{dE_j}{dr} - \frac{4\pi i w \sigma_j}{C^2} E_j = 0 \quad (6-7)$$

これは、零次の変形ベッセル方程式であり、その解は

$$E_j = E_{0j} I_0(k_j r) \quad (6-8)$$

$$(\text{ここで } k_j^2 = \frac{4\pi i w \sigma_j}{C^2})$$

で表められる変形ベッセル関数である。したがって、各層について境界条件が与えられると、プラズマ中の電界の分布を求めることができます。

しかし、この場合、プラズマ外部での電界強度が条件として与えられていないので、ここで規格化された電界分布 $E^*(r)$ を導入する。このとき

$$E(r) = x \cdot E^*(r) \quad (6-9)$$

$$E^*(r=r_w) = 1.0$$

である。 $E_N^* = 1.0$ であるから、最も外側の層である N 番目の層について (6-8) 式より $E_N^*(r)$ が求められる。次に $N-1$ 番目の層については、 N 番目の層の $E_N^*(r_w)$ の値を境界条件として $E_{N-1}^*(r)$ を求めろ。このようにして順次 外側の層から 電界の分布を求めて行く。この電界の分布の信頼性は $N=100$ であれば 十分であることがわかるている。

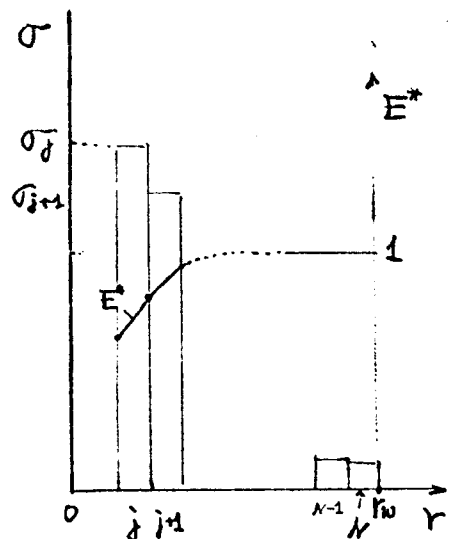


Fig. 6-2 Cylindrical layer of electrical conductivity

次に、実際にかかる電界の絶対強度は (6-9) 式で求めるのであるが、係数 χ についても、次のような境界条件によって定める。プラズマに注入するマイクロ波の全エネルギー Q_0 (kW/cm) は、プラズマ各部分において消費されるエネルギー $\frac{1}{2}\sigma E^2$ の和に等しい。したがって、

$$Q_0 = \int_0^{r_w} \left(\int_0^{2\pi} \frac{1}{2} \sigma E^2(r) d\theta \right) dr \quad (6-10)$$

という関係が成立する。この式に (6-9) 式の関係を代入して計算すると

$$Q_0 = \chi^2 \cdot \left(2\pi \int_0^{r_w} r \cdot \frac{1}{2} \sigma E^{*2} dr \right) \quad (6-11)$$

となる。そこで、(6-9) 式は、次のように書くことができる。

$$E(r) = \sqrt{\frac{Q_0}{2\pi \int_0^{r_w} r \cdot \frac{1}{2} \sigma E^{*2} dr}} E^*(r) \quad (6-12)$$

このように、プラズマにかかる電界は、プラズマの電気伝導度とプラズマへの注入エネルギーによって定められるものである。

(3) 热束 (heat potential) の導入

高温の金属の熱伝導度 κ は、Appendix B のように温度に対して既知の関数として与えられているので、热束 (heat potential) θ は、次のように温度の関数となる。

$$\theta(T) = \int_{T_0}^T \kappa dT \quad (6-13)$$

この積分を Simpson の公式により実行し、Fig. 6-3 のような結果を得た。このように、 $\theta(T)$ は、温度について单調増加関数である。

(6-13) 式を温度 T で微分すると

$$\frac{d\theta}{dT} = \chi$$

$$\therefore \chi \frac{dT}{dr} = \frac{d\theta}{dr}$$

である。これを (6-6) 式のエネルギー平衡式に適用すると、(6-6) 式は、次のようなく簡便化された常微分方程式となる。

$$\frac{1}{r} \frac{d}{dr} r \frac{d\theta}{dr} + \frac{1}{2} \sigma E^2 = g_R \quad (6-6)'$$

この式に $2\pi r$ をかけて r について積分をすると

$$2\pi r \frac{d\theta}{dr} = 2\pi \int_0^r r g_R dr - 2\pi \int_0^r \frac{1}{2} r \sigma E^2 dr$$

となる。ここで (6-10) 式における Q の定義と同じ考え方で 半径 r の円柱部分に注入されるエネルギーを

$$Q(r) = 2\pi \int_0^r \frac{1}{2} r \sigma E^2 dr \quad (6-14)$$

とし、同様に半径 r の円柱部分からの輻射エネルギーを

$$Q_R(r) = 2\pi \int_0^r r g_R dr \quad (6-15)$$

とする。このとき、エネルギー平衡式は次のようなく簡単な式で表めせる。

$$2\pi r \frac{d\theta}{dr} = Q_R - Q \quad (6-16)$$

この式は、差分法における初期値問題として簡単に解くことができる。(6-16)式を r で積分すると

$$\theta(r) = \int_0^r \frac{Q_R - Q}{2\pi r} dr + \theta(0)$$

これを変形すると

$$\theta(r) = \theta(r_w) + \int_{r_w}^r \frac{Q_R - Q}{2\pi r} dr \quad (6-17)$$

となる。この式の積分を台形法を使って実行することによって $\theta(r)$ が決定される。温度 T と θ の関係は既に求めているので、温度分布 $T(r)$ も即座に決定することができる。

このようにして求めた温度の分布から、それに対応する電気伝導度の分布 $\sigma(r)$ を求め、2回目の繰り返し (iteration) を行う。この iteration は元の温度と前回の温度との差が 1% 以下にならなとき、もしくは 繰り返し回数が 30 回にはなとき打ち切るようにしている。

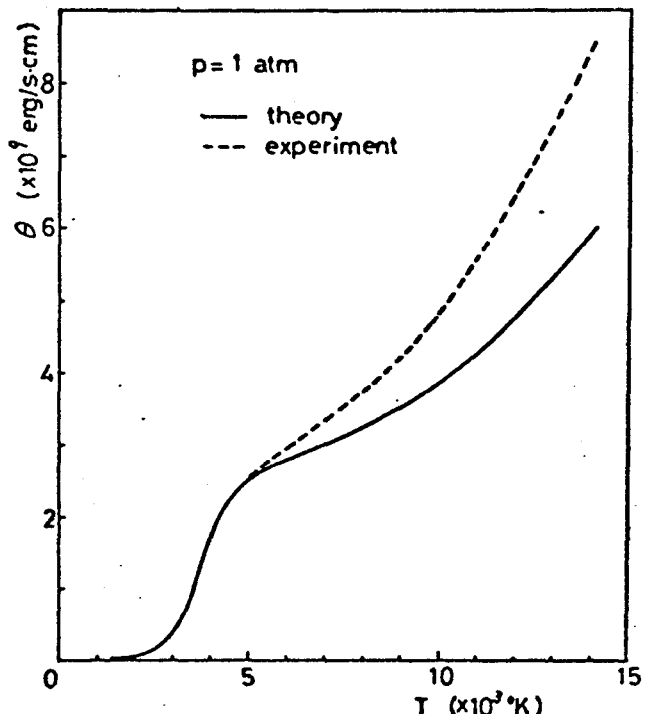


Fig. 6-3 Heat potential of hydrogen at 1 atm pressure

6-2 マイクロ波プラズマビームの物理的特性

本節では、マイクロ波による大気圧中の水素プラズマの物理的特性について理論的な考察をする。ただし、この場合、水素の軸方向流れの効果は考えていない。

(1) マイクロ波エネルギーの吸収特性

Fig. 6-4 は、前節の方法で数値計算によって求めたマイクロ波プラズマの温度及ぶ密度の空間分布を示したものである。これは、管壁が 1 cm の位置にある場合の解であり、用いたマイクロ波は、固波数が 915 MHz で出力 3.0 kW/cm である。この図には、プラズマのエネルギー吸収過程についての考察をするため、上記プラズマ・パラメータの他に、マイクロ波の電界 E の分布及びエネルギーの分布 $Q(r)$ を同時に描いている。ここで、図の斜線の部分は、プラズマの吸収エネルギーの分布

$$\gamma(r) = \frac{1}{2} \sigma E^2$$

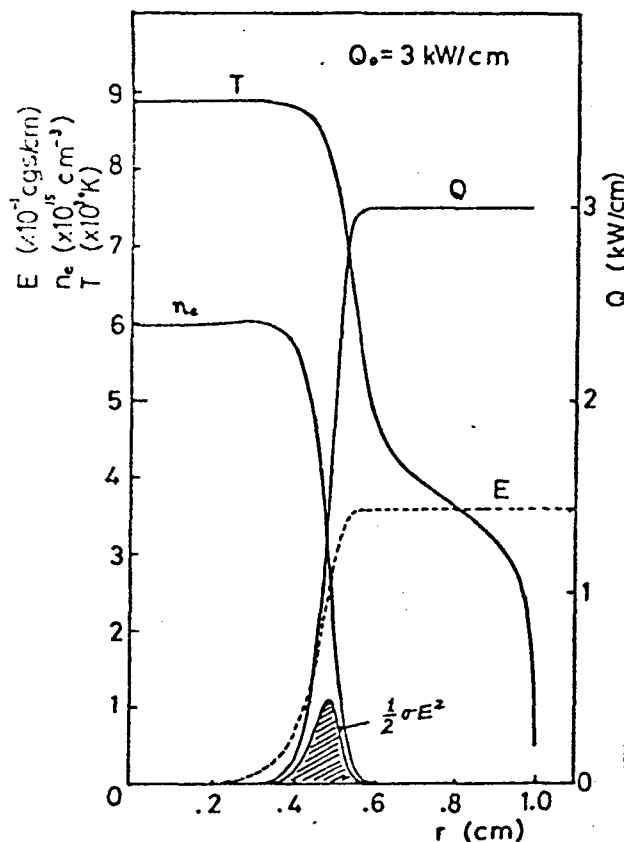


Fig. 6-4 Mechanism of energy absorption of plasma

を示しているが、この図より、プラズマのエネルギー吸収は、マイクロ波の理論から当然予想されるように、プラズマの表皮の部分（プラズマのト方向密度勾配が最大となる部分）で行われてている。そのため、マイクロ波のエネルギーはプラズマの中心へまで十分浸透すること

が出来ず、Fig. 6-4 に示すよう「エネルギー分布 $Q(r)$ 」となる。このことは、マイクロ波の電界分布についても同様である。ここで、マイクロ波などの理論に用いられる表皮深さ δ について考えてみる。 δ は、

$$\delta = \frac{c}{\sqrt{2\pi\sigma\omega}} \quad (6-18)$$

で定義される値である。プラズマの最高温度が T_m のときの表皮深さを δ_m とすると、 $T_m \sim 9000^{\circ}\text{K}$ に対して、

$$\delta_m \sim 0.57 \text{ mm}$$

である。しかし、プラズマにマイクロ波のエネルギーが吸収される厚さを $\delta(r)$ の半値巾 δ^* で定義すると、この値は、 $\delta^* \sim 1.1 \text{ mm}$ となり、 δ_m の約 2 倍である。このことは、 T_m の異なるプラズマについても同様である。したがって、エネルギー吸収厚さは、

$$\delta^* = 2\delta_m$$

であり、(6-18)式より求めることができる。

次に、マイクロ波プラズマの温度分布について考えてみると、上記のように、プラズマの表皮から δ^* より内側では、プラズマの加熱は行われず、熱伝導によってのみエネルギーの供給を受けるだけである。したがって、プラズマ加熱部分で最高温度 T_m が実現し、プラズマの中心部分の温度は T_m 以上ではあり得ず、平衡状態では $T \sim T_m$ となる。しかし、中心部分での輻射エネルギーを考えると、 $T < T_m$ となる。Fig. 6-4 では、プラズマの温度が 9000°K 程度なので、輻射エネルギーによる損失は十分小さく、プラズマ内の温度はほぼ一様になっている。

(2) プラズマビームの温度と半径に及ぼすマイクロ波エネルギーの影響

ここでは特にプラズマの中心温度及び半径について、マイクロ波入射エネルギーの影響を考察する。

Fig. 6-5 は、マイクロ波の周波数 f (GHz) をパラメータにして、プラズマ温度 T 、半径 r_p の入射エネルギー Q_0 依存性を示したものである。

この結果は次のように説明される。

1) AB

この部分では、マイクロ波の電界は 1.7 kV/cm と非常に大きく、実験では作ることのできない状態である。このとき、プラズマの温度は 5000°K よりも低く、電界は十分プラズマ中に浸透する。したがって、マイクロ波の周波数によるプラズマの変化はほとんど見られない。この状態では、プラズマの温度分布形状は、ゆるやかに勾配をもち、 r_p も比較的大きい。これは Kapitza のいう拡散型放電に相当する。

2) CDEF

この領域では、温度が AB の領域より高く、周波数による差が生じて来る。ここでは実験に用いた周波数 $f = 0.915 \text{ GHz}$ について説明を加える。 $Q_0 = 0.6 \sim 0.8 \text{ kW/cm}$ ではマイクロ波のエネルギーは十分プラズマの中心まで浸透でき、入射エネルギーの増大によつてプラズマの温度は上昇する。しかし、 0.8 kW/cm を越えると今度はプラズマ半径が増大し、プラズマの温度は低くなる。もし

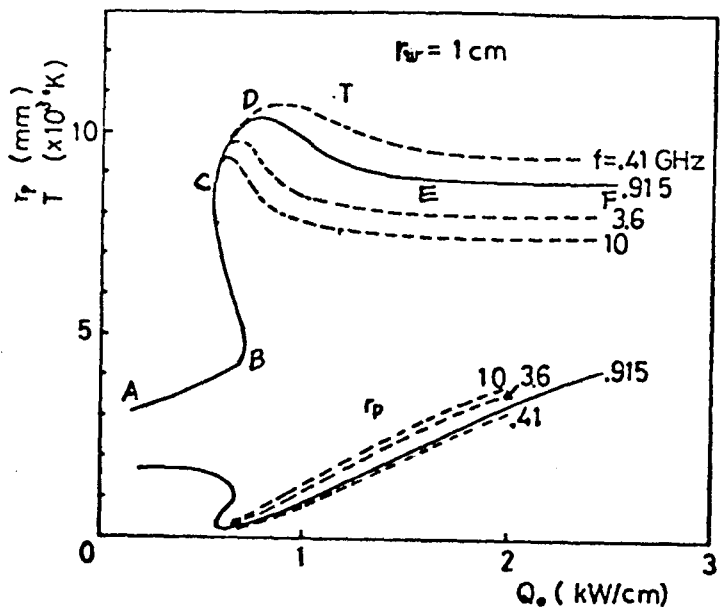


Fig. 6-5 Behaviour of plasma temperature T and plasma radius r_p by input power

て、 $Q_0 \geq 1.5 \text{ kW/cm}$ では、プラズマの中心温度はほとんど変化せず、半径のみが大きくなるという結果となる。このことは、Fig. 6-4 のようにマイクロ波の電界が“プラズマ内部にまで侵透せず”、 δ^* の厚さの表皮でエネルギー吸収が行なわれるため、入射エネルギーの増大は、加熱領域を外側に広げるだけであることを示している。

マイクロ波の周波数については、Fig. 6-5 のように定性的には上に述べた通りであるが、プラズマへのエネルギーの浸透深さ δ^* の方がいかう、 $Q_0 = 1.8 \text{ kW/cm}$ のときは、Fig. 6-6 のような周波数特性を示す。つまり周波数が大きくなると δ^* は小さくなり、その結果、プラズマに対してエネルギーの浸透が困難になり、プラズマの温度は減少する。

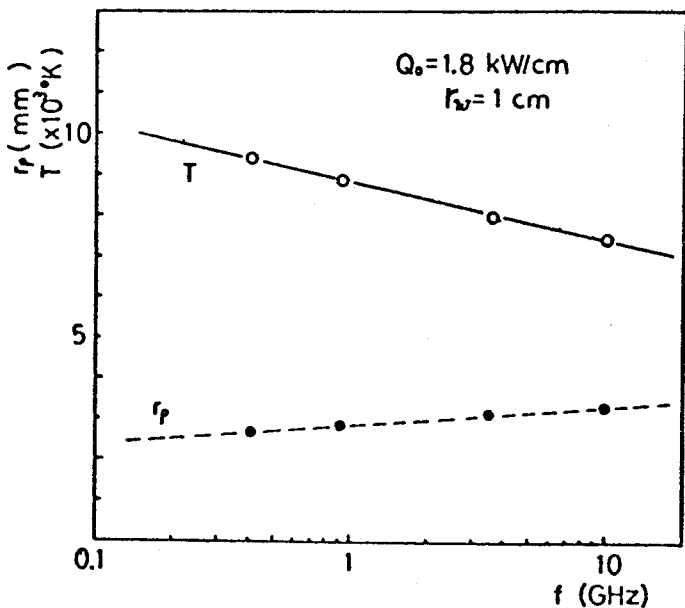


Fig. 6-6 Effect of micro-wave frequency

(3) 管壁によるサーマル・ピニチ効果の理論的考察

第3章において実験的に明らかにしたサーマル・ピニチに及ぼす管径の影響を理論的に説明する。Fig. 6-7は理論計算の結果である。これは管径 r_w をパラメータとして、プラズマの温度と半径の入射エネルギー依存性を表したものである。

$Q_0 \leq 0.6 \text{ kW/cm}$ の領域では、管径 r_w の変化によってプラズマ半径 r_p は大きく変化するが、プラズマ温度 T は r_w に全く依存しないという結果が得られている。これはマイクロ波の電界が非常に大きいことが原因である。

$Q_0 \geq 0.6 \text{ kW/cm}$ の領域では、これに対して著しい特徴が現われる。つまり、 r_w が大きくなれば r_p が大きくなり、その結果 プラズマ温度 T は低下する。Fig. 6-8は $Q_0 = 1.8 \text{ kW/cm}$ の場合の r_p 、 T の r_w による変化を示したものである。第3章に述べた実験結果と同様に 管径 r_w に対して プラズマ半径は直線関係にあり、プラズマ温度は逆比例の関係にある。

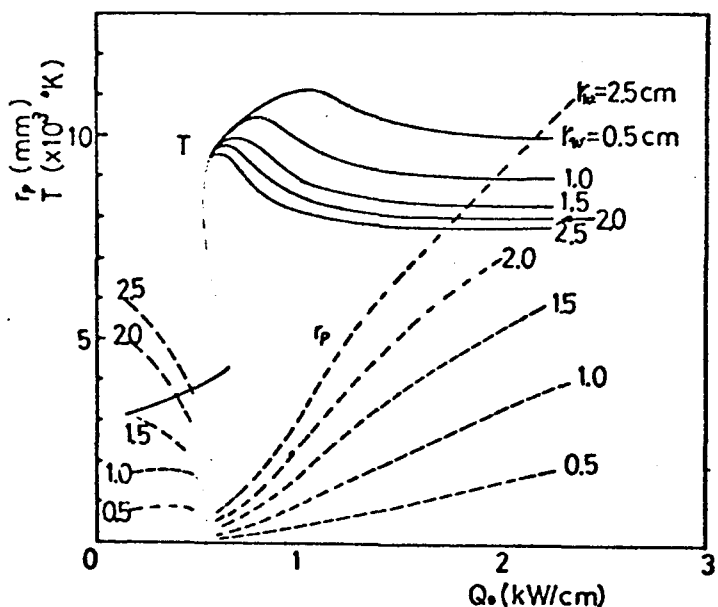


Fig. 6-7 Effect of wall radius r_w

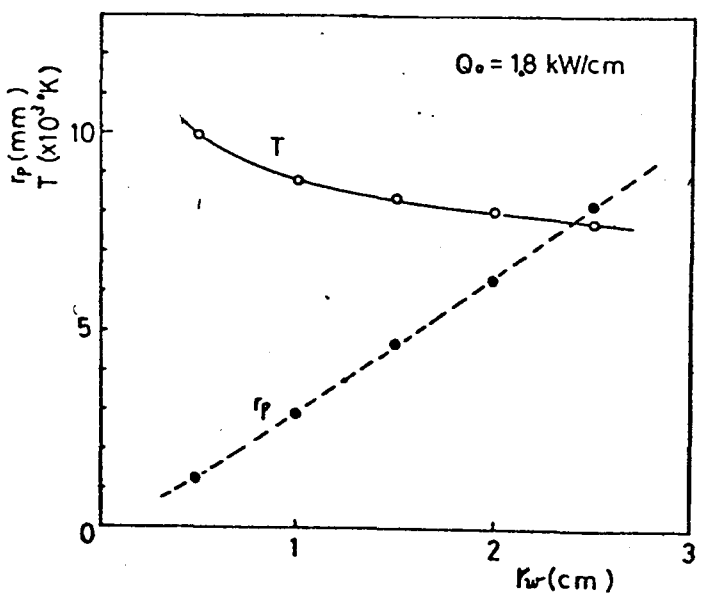


Fig. 6-8 Effect of wall radius r_w

6-3 実験結果への適用

本研究において実験で得られた水素プラズマの場合、そのパラメータ（温度及び半径）についての理論的対応を試みる。軸方向のエネルギーの流れについては、第3章3-1節で述べたようにこのプラズマにおいては本質的にはエネルギー損失機構となつてゐる。したがって、本節では、軸方向気体流による熱の損失を考慮して理論から、プラズマの温度分布及び半径を求め、実験結果の理論的考察を深める。

(1) ガス流体の軸方向分速を考慮したエネルギー平衡理論

気体流によって軸方向に運ばれるエネルギーを単位体積当たり q_z (erg/s·cm³·°K) とすると、次式で表わされる。

$$q_z = C_p \cdot \frac{\partial T}{\partial z} \cdot V_z \quad (6-19)$$

ここで C_p : 定圧比熱 (erg/cm³·°K)

$\frac{\partial T}{\partial z}$: 軸方向温度勾配 (°K/cm)

V_z : 軸方向速度 (cm/s)

である。このうち、 C_p 及び V_z については、既知である。つまり、中性温度の関数として与えられ、又、 V_z は 3-2節において実験的に求められている。そこで、 $\partial T/\partial z$ が与えられれば、 q_z の関数として求めることとする。

この場合、プラズマは十分細く、回転気体流は主にプラズマ周辺を流れていることが、明らかにされてゐるので、(6-19)式において、 $\frac{\partial T}{\partial z} = \text{const}$ と考えてよしつかえない。ここで半径 r の円柱部分の全体の流れによる損失エネルギーを $Q_z(r)$ とすれば、

$$Q_z(r) = \int_0^r \int_0^{2\pi} C_p \cdot \frac{\partial T}{\partial z} \cdot V_z d\theta dr \quad (6-20)$$

である。レインがって、 $(\partial T / \partial z)_z = \text{const}$ と仮定すれば、 Q_z は、(6-11) 式で Q_o を決定した方法と同様の方法で決定することができる。このとき、境界条件として、 $Q_z(R)$ が、第3章3-1節の実験で明らかにしてあるように Q_o の 90~95% であるということから、 $Q_z(R) = Q_o$ とする。

レインがって、軸方向流れのある場合のエネルギー平衡式は、(6-16) 式の代りに次式を用いて表わされる。

$$2\pi r \frac{d\theta}{dr} = Q_R + Q_z - Q$$

この式を、熱束 θ について解くと

$$\theta(r) = \theta(r_w) + \int_{r_w}^r \frac{Q_R + Q_z - Q}{2\pi r} dr$$

であり、6-1節の軸方向流れのない場合の理論と同様の方法で解くことができる。

(2) 実験結果への適用と考察

本項では、周波数 915 MHz のマイクロ波を用いて、管径 $r_w = 1\text{ cm}$ のガラス管の中に生成されるプラズマについて、その実験結果に前項の理論を適用してみる。

まず、Fig. 6-9は、マイクロ波の入射エネルギーが $Q_0 = 1.8\text{ kW/cm}$ の場合、双方流れるあるときと、ないときについて、それと、温度分布、電界分布及びエネルギー分布を示したものである。このように、管内に気体の流れが存在すると、プラズマ周辺は十分冷却されて、プラズマ径内減少し、その結果、マイクロ波電界はプラズマ中心まで浸透することができて、プラズマの中心温度が上昇する。これは、気体流によるサーマル・ピニチ効果を示すものである。この効果は (6-20) 式の $Q_z(r=r_w)$ の値として入ってくるものであり、流量が大きいと $Q_z(r_w)$ も大きくなる。Fig. 6-9 は、 $Q_z(r_w)$ が Q_0 の 90 % である場合を中心にして考えているが、既述べたように、実験条件では、 $Q_z(r_w)$ は Q_0 の 90 ~ 95 % の値とはしているので、Fig. 6-9 は $Q_z(r_w) = 0.95 Q_0$ の場合についての温度分布を同時に描いている。 $Q_z(r_w)$ が 90 % から 95 % になると、 r_p は 16 mm から 15 mm に減少し、それに伴って、プラズマの中心温度は、9600 °K から 9750 °K まで上昇する。このことは、実験で得られていく素プラズマの流量特性を説明するものである。

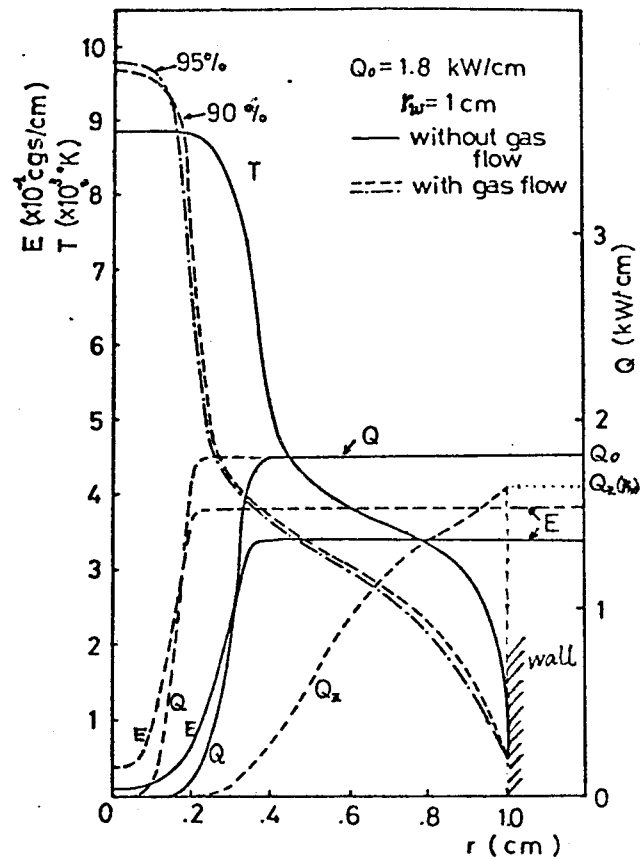


Fig. 6-9 Structure of plasma with gas flow

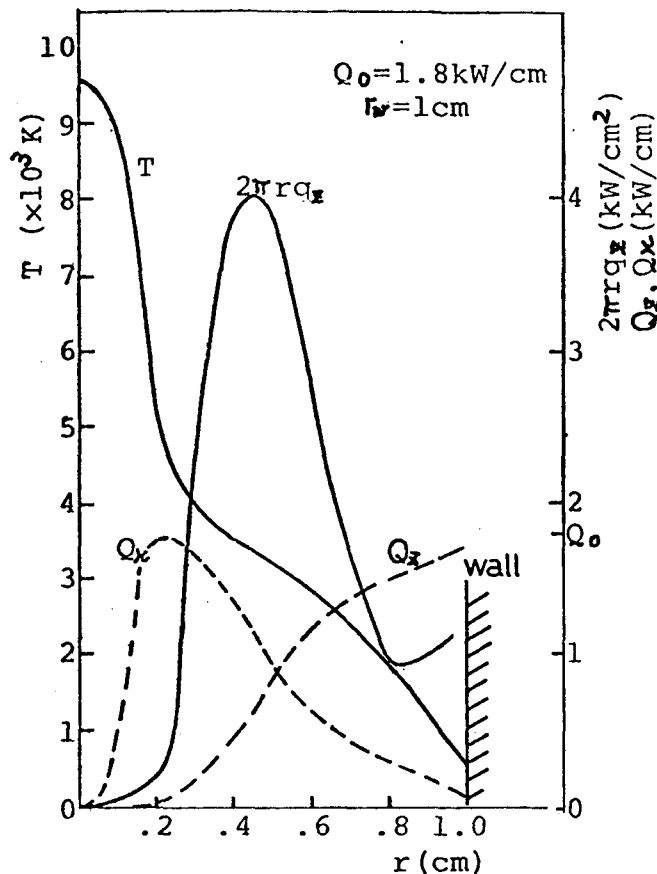


Fig. 6-9 の $Q_z(r)$ の分布から、軸方向気体流の持ち去るエネルギーは、 $r < 0.2 \text{ cm}$ の領域においてめずらしくあることがわかるが、このようなくそ方向への熱の流れをもう少し詳しく知るために、そ方向エネルギー損失 $2\pi r Q_z(r)$ の半径方向分布を描くと Fig. 6-10 のようになる。これは、 $Q_0 = 1.8 \text{ kW/cm}$ のうち 95% がそ方向に持ち去られるとして求めたものであるが、これに対して実験値を用いて計算した温度分布及び熱伝導損失を同じく描いている。これによると、 $2\pi r Q_z$ の最大値は $r \sim 0.4 \text{ cm}$ にあり、 $Q_z(r_w)$ のうちの大部がプラスマの外部領域へ持ち去られている。これを温度領域と言えば、 $3000 < T < 4000 \text{ }^\circ\text{K}$ に相当し、このことは、この温度領域で本素の C_p が非常に大きいため、流速分布の小さな変化は $2\pi r Q_z$ の分布形状に対して重大な影響を与えないということがわかるている。

次に、Fig. 6-11 は、軸方向気体流のある場合とない場合について、それぞれ、入力に対するプラズマの温度及半径の挙動を示したものである。図中点線で示す軸方向流のない場合に対する

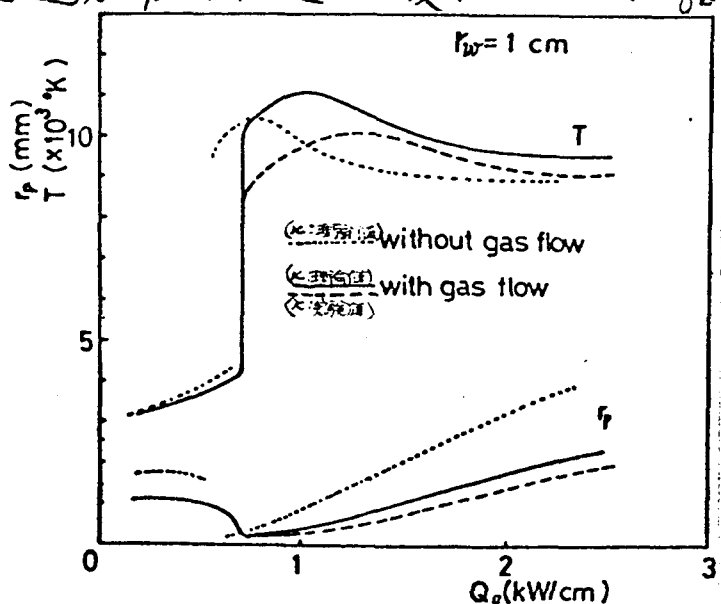


Fig. 6-11 Effect of gas flow

実線で示す流れのある場合は、プラズマ半径が前者の α のと比較して約 $\frac{1}{2}$ となる一方、プラズマ中心温度は $Q_0 \approx 1 \text{ kW/cm}$ の領域で高くなっている。しかし、軸方向気体流の有無にかかわらず、 T, r_p は入力に逆れて、定性的に同様のふるまいをする。ほか、Fig 6-11 の中に破線で示してある曲線は、熱伝導度 κ の値として Appendix B に述べてある実験値を用いて計算して得られた T, r_p であり、ともに小さい値となっている。これは、大の値が実験値の方が理論値よりも大きいためである。

Fig. 6-12 は、理論と実験との比較をしたものである。実験結果における Q_0 の定め方や、第4章 (4-3) 式で示しに通りであるが、そのとき、マイクロ波が入射される長さ l (cm) については、プラズマ長 L (cm) を使って $l = L$ と考える。すると、プラズマの温度と半径について、実験結果はそれぞれ、Fig. 6-12 の三角印白又キ及ぶ黒ヌリで示す値となる。

これに対して、先に求めた理論曲線——ここで用いた理論曲線は、大及びの値について Appendix B に示した実験値を使用して軸方向気体流を考えて得られたものである。——を描くと図のようになり、実験結果と定性的に非常に良い一致を示すことが明らかになった。また、定量的にも、実験値及び理論値は共に、プラズマ温度として $T = 9000 \sim 9500^\circ\text{K}$ 、プラズマ半径として $r_p = 0.3 \sim 0.5 \text{ mm}$ であり、よく合っている。このように、得られた実験結果は、軸方向気体流を考慮して理論によつてうまく説明できた。

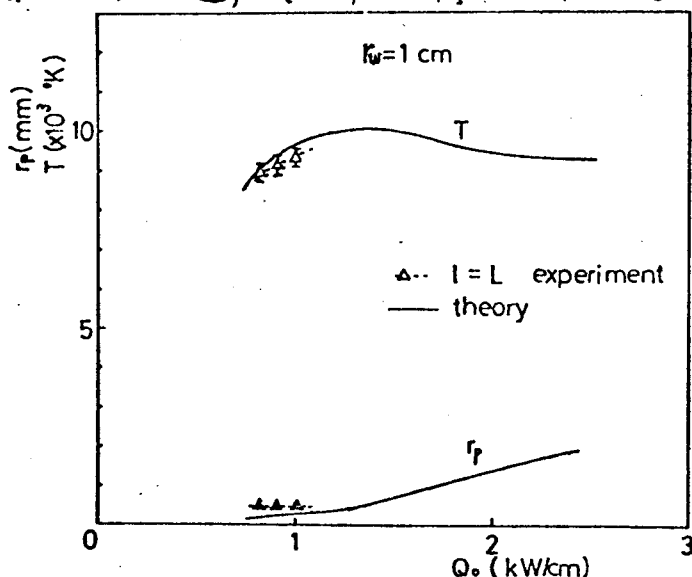


Fig. 6-12 Comparison of experimental result with theoretical one

示した実験値を使用して軸方向気体流を考えて得られたものである。——を描くと図のようになり、実験結果と定性的に非常に良い一致を示すことが明らかになった。また、定量的にも、実験値及び理論値は共に、プラズマ温度として $T = 9000 \sim 9500^\circ\text{K}$ 、プラズマ半径として $r_p = 0.3 \sim 0.5 \text{ mm}$ であり、よく合っている。このように、得られた実験結果は、軸方向気体流を考慮して理論によつてうまく説明できた。

6-4 総 言

マイクロ波プラズマのふるまいを、熱平衡を仮定して理論的に検討し、次のことを明らかにして。

- (1) マイクロ波エネルギーの吸収はプラズマの表面で行われ、その厚さは

$$\delta^* = 2 \delta_m$$

で表められる。

- (2) 軸方向気体流を無視した理論では、マイクロ波の入射電力が 0.8 kW/cm 以上では、プラズマ半径が増加し、マイクロ波プラズマのエネルギー吸收率の特性から、中心温度は漸次低下し、 Q_0 が 1.8 kW/cm 以上になると、入射電力依存性がなくなる。
- (3) 実験で得られたサーマル・セニチ効果に及ぼす管径の影響を理論的に明らかにして。
- (4) 実験結果を理論的に説明するため、軸方向気体流の効果を考慮して計算した所、プラズマの温度及びプラズマの半径は、 $T = 9000 \sim 9500 \text{ K}$ 、 $r_p = 0.3 \sim 0.5 \text{ mm}$ であり、これらの入力依存性について、実験結果と定性的・定量的一致をみた。

結論

本研究は、マイクロ波による大気圧プラズマの生成とその物理的特性の解明のためにプラズマ生成装置の開発を行い、得られたプラズマの物理的諸量（密度、温度及びそれらの分布形状など）を分光測定及び干涉測定などの光学的方法によつて明らかにし、マイクロ波プラズマの諸特性について、実験的・理論的考察を行つたものである。この結論は、以下に述べる通りである。

まず、出力 30 kW、周波数 915 MHz の大出力 CW マイクロ波を用いて、 TE_{101} モードの矩形空洞共振器による方式で、直径数 cm の円筒状ガラス管の中には非常に安定して電力吸收効率の良い（効率 80 % 以上）プラズマを生成することに成功した。

そして、この得られた大気圧中マイクロ波プラズマの物理的特性を実験的・理論的に検討し、次のことを明らかにした。

- 1) 400 l/min 以上の流量をもつ回転気体流は、直径 20 mm のガラス管中に生成されたプラズマを安定化する。これは、気体の回転によつて半径方向圧力勾配が生ずるためである。
- 2) この回転気体流によつて、プラズマ径の 2 倍の径の位置に気体壁が形成されていることを実験的に確かめた。この気体壁が実効的な壁としての役割をもつことは、気体壁の位置に壁があると仮定して、 N_2 プラズマの温度、直径と入射電力との関係について Meirovich の理論を実験結果に適用するうまく説明できることで示された。
- 3) プラズマ中にみける木素混在比の増加は、プラズマ直径を減少させ、プラズマ中心の温度及び密度の増大をもたらす。このようは木素気体流によるサーマル・ビニチ効果は、木素プラズマにおいても現われ、流量

の増加によって、その効果は高められる。

- 4) マイクロ波による大気圧プラズマは、ちなみに、水素プラズマの場合、マイクロ波出力が約 30 kW のとき直径 1 mm, 長さ ~20 cm のフィラメント形状をしていて、その中心では、電子密度 $n_e \sim 10^{16} \text{ cm}^{-3}$, プラズマ温度 ~9000 °K であり、Partial LTE の状態にあると考えられる。
- 5) 水素プラズマの場合、理論計算によると、マイクロ波の入射エネルギーが十分大きければ ($Q_0 \gtrsim 1.5 \text{ kJ/cm}$) プラズマ直径が大きくなり、プラズマのエネルギー吸収は、その表面部厚さ δ^* の部分で行われ、その結果入射エネルギーの増大は、プラズマの中心温度については影響を及ぼさず、その体積の増大をもたらすことが明らかになった。
- 6) 実験において観察された管壁によるサーマル・ビニチ効果に及ぼす管径の影響、つまり、管径が小さくなるとプラズマの密度及び温度が上昇することが、理論的に説明された。
- 7) 水素気体流によるサーマル・ビニチ効果は、軸方向流れを考慮して理論によって説明されるが、このため実験で得られている水素プラズマは非常に細くはっていて、マイクロ波のエネルギーがプラズマ中心にまで十分浸透する結果、プラズマの中心温度は、入射エネルギーの増加に伴い上昇する。
- 8) このように水素プラズマの温度の入力特性について、軸方向流れを考慮して理論と実験結果との間に、非常によい一致が見られた。また、プラズマ半径についても、実験結果は理論によく一致していることがわかった。

謝 辞

本論文の作成に際し、終始適切な御指導・御鞭撻を頂いた基礎工学部村崎寿滿教授に深謝致します。また、本研究は、大阪大学総接工学研究所、総接熱源・熱輸送第1部門で行われたものであり、荒田吉明教授には、終始懇切丁寧な御指導を頂き深く感謝致します。

実験の遂行に当っては、三宅正司助手他荒田研究室の方々の並々ならぬ御協力を頂き、ここに謝意を表する次第です。

参考文献

- 1) B.Lehnert, On the MHD stability of the boundary layer in gas blanket systems, Tokyo, IAEA-CN-33/H7-1 (1974)
- 2) B.Lehnert, Nuclear Fusion, 8, 173 (1968)
- 3) H.Alfvén and E.Smårs, Nature, 188, 801 (1960)
- 4) C.M.Braams, Phys.Rev.Lett., 17, 470 (1966)
- 5) L.M.Baltin et al., High Temp., 9, 1020 (1971)
- 6) S.Murayama, J.App.Phys., 39, 5478 (1963)
- 7) Y.Arata,S.Miyake and S.Takeuchi, JWRI, 2, 27 (1973)
- 8) P.L.Kapitza, Sov.Phys.-JETP, 30, 973 (1970)
- 9) P.L.Kapitza, Sov.Phys.-JETP, 31, 199 (1970)
- 10) P.L.Kapitza and S.I.Filmonov, Sov.Phys.-JETP, 34, 542 (1972)
- 11) 牧本利夫, 松尾幸人, マイクロ波工学の基礎, 広川書店 (昭39)
- 12) 電気通信学会編, マイクロ波工学, コロナ社 (昭33)
- 13) H.Griem, Plasma Spectroscopy, McGraw-Hill Publishing Company, Inc., New York (1964)
- 14) 大塚正元, IPPJ-DT-1, 名古屋大学プラズマ研究所資料, 技術報告 (1963)
- 15) H,W.Drawin and P.Felenbok, Data for plasmas in Local Thermodynamic Equilibrium, Gauthier-Villars (1965)
- 16) J.B.Gerardo,J.T.Verdeyen and M.A.Gusinow, J.Appl.Phys., 36, 3526 (1965)
- 17) J.H.Waszink and J.A.J.M.van Vliet, J.Appl.Phys., 42, 3374 (1971)
- 18) A.Dalgarno and A.E.Kingston, Proc.Roy.Soc., 259A, 424 (1960)
- 19) F.Eichhorn and S.Rasche, Interferometric temperature measurements on plasma arcs, I.I.W., V/37/'70
- 20) L.M.Baltin et al., Teplofizika Vysokikh Temperature, 9, 1105 (1972)
- 21) Yu.P.Raizer, Sov.Phys.-JETP, 34, 114 (1972)

- 22) B.E.Meierovich, Sov.Phys.-JETP, 34, 1006 (1972)
- 23) A.Arzimovich, Elementary Plasma Physics, Academy of Sciences, U.S.S.R.
- 24) R.S.Devoto, J.Plasma Phys., 2, 4, 617 (1968)
- 25) J.C.Morris et al., Phys.Fluids, 13, 608 (1970)
- 26) V.L.Nizovskii and V.I.Shabashov, Teplofizika Vysokikh Temperatur, 11, 251 (1973)
- 27) K.Beringer,W.Kolmar and J.Mentel, Zh.Phys., 215, 127 (1968)
- 28) L.Spitzer, Physics of Fully Ionized Gases, Interscience, New York (1962)

Appendix A

単位体積当りの輻射エネルギー γ_R (erg/s·cm³) について考える。一般に、プラズマからの輻射としては、制動輻射、再結合輻射、サイクロトロン輻射及び黒体輻射などがあげられる。²¹⁾ ここでは、水素の場合について、その各々の輻射を考えてみる。

a. 制動輻射

完全電離のプラズマについて、制動輻射によるエネルギーを γ_{brems} とすれば

$$\gamma_{brems} \approx 1.5 \times 10^{-27} n_e^2 \sqrt{T_e} \quad (\text{erg/s} \cdot \text{cm}^3)$$

であり、水素プラズマでは、電子温度 $T_e = 10^8 \text{ }^\circ\text{K}$ 、電子密度 $n_e = 10^{16} \text{ cm}^{-3}$ のとき、この値は 150 kV/cm^3 にもなることがわかつている。このエネルギーは、ほとんど X 線として輻射される。

b. 再結合輻射

このエネルギーを γ_{recom} とすれば

$$\gamma_{recom} \approx 10^{-22} n_e^2 / \sqrt{T_e} \quad (\text{erg/s} \cdot \text{cm}^3)$$

となる。プラズマの温度 T_e が $T_e \leq 10^7 \text{ }^\circ\text{K}$ のとき、 $\gamma_{recom} > \gamma_{brems}$ となり、再結合輻射によるエネルギーが大きくなる。

c. サイクロトロン輻射

これは、磁界が存在するときに考えなければならぬ輻射エネルギーで、その値を γ_{cycle} とすれば、

$$\gamma_{cycle} = 6.5 \cdot 10^{-25} B^2 \cdot n_e (kT_e/e \cdot 10^3) \quad (\text{W/cm}^3)$$

ここで B : 磁界の強さ (KG)

κ : ボルツマン定数

n_e : 電子密度

e : 電子の電荷

である。大気圧プラズマでは、磁界が 50 KG 以下では $g_{cycle} < 1 \text{ W/cm}^3$ であり、 g_{brane} , g_{recom} と比較して十分小さい値なので無視することができる。

d. 黒体輐射

これは γ° プラズマ表面から行なわれる所以、前者に対して単位必要なり。 $(\text{erg/s} \cdot \text{cm}^2)$ となる。この値は

$$g_{black} = 5.7 \times 10^{-5} T^4 \quad (\text{erg/s} \cdot \text{cm}^2)$$

であり、温度の高い γ° プラズマではほとんど問題とはならない。

上記 a～c のうち、本研究に用いられる γ° プラズマでは、c, d が無視でき、したがって、全輐射エネルギー g_R は次式で表わされる。

$$g_R = g_{brane} + g_{recom}$$

Fig. A-1 は g_R の温度依存性を示すものであるが、これによると、 $T \sim 18000^\circ\text{K}$ のとき、 g_R は最大となり。

$$g_R \sim 3 \text{ kW/cm}^3$$

である。

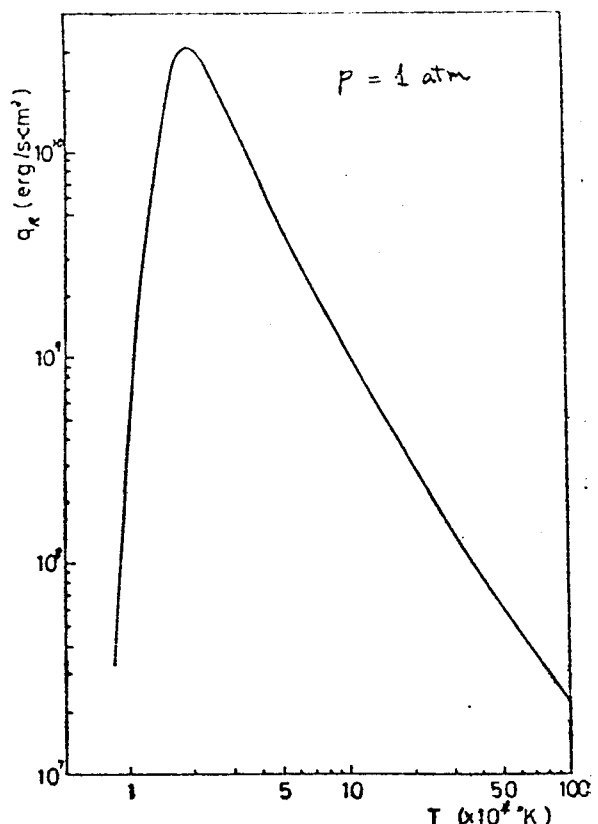


Fig. A-1 Energy loss by radiation g_R at 1 atm pressure

Appendix B

高還の木素の物理的性質のうち、電気伝導度、及び熱伝導度について述べる。

(1) 電気伝導度

一般に、 γ° ラズマの電気伝導度 σ は、オームの法則から次のように定義される。

$$j = e m_e u = \frac{n_e e^2}{m_e} \tau E \quad (B-1)$$

$$\sigma = \frac{n_e e^2 \tau}{m_e} \quad (B-2)$$

ここで、 e, m_e, n_e, u ：それぞれ電子の電荷、質量、密度及び平均速度
 τ ：電子の衝突周波数
 E ：電界の強さである。

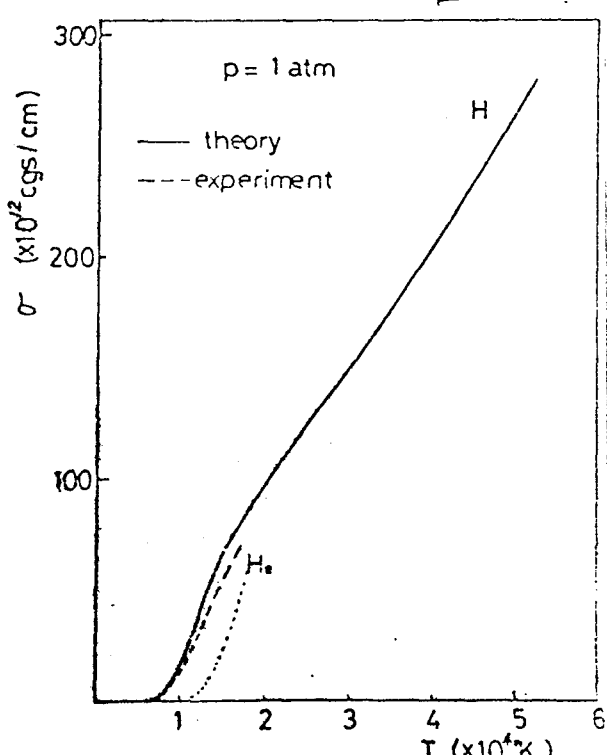
a. 完全電離の場合

$$\frac{1}{\tau} = \frac{1}{\tau_{ci}} + \frac{1}{\tau_{eo}} \quad (B-3)$$

τ_{eo} は電流の retardation をもたらさないので考慮しはくてよい。しかも $\tau_{eo} \sim 0$ と考えられるので $\tau \sim \tau_{ci}$ となる。このとき

$$\sigma = 0.9 \times 10^7 T_e^{3/2} \text{ (cgs/cm)} \quad (B-4)$$

Fig.B-1 Electrical conductivity of hydrogen at 1 atm pressure で表せられる。



b. 弱電離の場合

$$\sigma \approx \frac{n_e}{n_0} \frac{e^2}{m_e} \frac{1}{V_e S_a} \quad (B-5)$$

この式は、 $\sigma < 10^{12}$ (cgs/cm) の範囲で成立する。これを熱平衡を仮定して簡単にすると、次式のようになる。

$$\sigma \approx 7.18 \cdot 10^{13} \cdot T^{\frac{3}{4}} e^{-\frac{E}{2T}} \quad (B-6)$$

Fig. B-1 は 電気伝導度の温度依存性を示している。ここで、実線は R.S. Devoto²²⁾ によって計算された理論値を示し、破線は J.C. Morris²³⁾ による実験値である。なお、比較のために He の電気伝導度を図中に点線で示している。

(2) 热伝導度

圧力が1気圧の場合の水素の熱伝導度は、比較的低温の場合(5000 K以下)では多くの実験値が出されていて理論値と一致しているが、気体が電離を始める温度(5000 K以上)では、理論値と実験値は大きな食い違いを生じることが知られている。²⁴⁾ Fig. B-2に本研究で用いた水素の熱伝導度の温度依存性を示す。

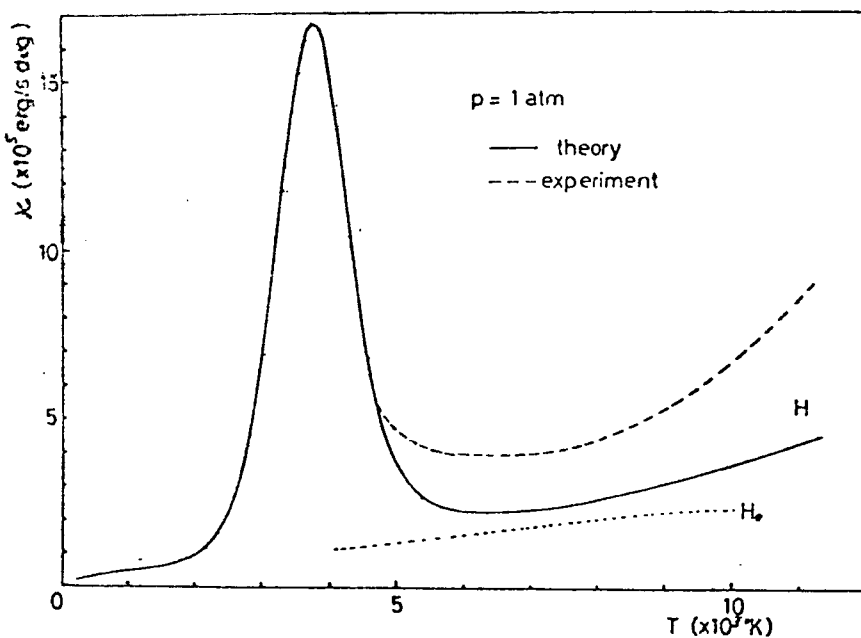


Fig. B-2 Thermal conductivity of hydrogen at 1 atm pressure

ここで、 $T < 5000$ K の場合、K. Beringer (1968)²⁵⁾ の実験値を用い、 $T > 5000$ K の場合、実験値として J. C. Morris 等²³⁾ (1970) の得た値を採用し、理論値として R. S. Devoto (1968)²²⁾ の値を用いている。なお、図中に比較のために He の

熱伝導度を点線で示す。

さらに、プラズマが完全電離であると、熱伝導度には

$$K = K_e + K_i$$

と考えてよい。ここで、 K_e 、 K_i はそれぞれ電子及びイオンによる熱伝導度を表わし、次式で計算される。²⁶⁾

$$K_e = \frac{11.9 n_e k^2 T e}{3.77 m_e} \quad (\text{erg/s cm } \cdot \text{K})$$

$$K_i = \frac{2.65 n_i k T e}{0.677 m_i} \quad (\text{erg/s cm } \cdot \text{K})$$

ここで T_e, T_i : 電子及びイオンの衝突時間
 m_e, m_i : 電子及びイオンの質量
 n : プラズマ密度
 κ : ボルツマン定数

である。

この熱伝導度の温度に対する依存性は、大へ $T^{\frac{5}{2}}$ であり。温度の上昇に対して極めて急激に大きくなるが、熱の流れと直角方向の磁場が存在するときには、比較的小さな値となることが知られている²⁾

Appendix C

回転気体流発生ノズルによる実験

気体の回転による速度分布形状及び熱伝導の機構をより詳しく調べるために Fig. C-1 のようなノズルから気体を噴出させ 20° 円筒中に回転気体流を発生させ 実験を行った。

(1). 円筒内速度分布.

ノズル形状は、Fig.C-1 に示した通りであり、

20° の円筒内壁に開いたノズルの開口部は、軸に対して対称な 4 個のスリット (0.5×10) 2 対からなり、接線方向に気体が流出し円筒内壁付近で気体流の速度が最大になる

ように設計されている。この一つのブロックの厚さは 45mm である。このようなく 6 個組み合せることによって、長さ約 30cm の円筒を構成する (Fig. C-2)。

円筒内に回転気体流を生成させるため、コンプレッサで各ブロックに空気を送っているが、その流量は $\Phi = 0 \sim 330 \text{ l/min}$ である。

まず、空気の入口の位置及びその数を変えて円筒内の静圧・全圧を第 3 章の実験で使用したピトー管によって求め、マイクロ波プラズマの生成及びその安定性に都合のよい気体の流れ方を探討した。その結果、円筒からの気体の出口の数が多いと円筒内の静圧が高くなり、内壁と円筒軸との間の圧力差も小さくなり、適当でないということが判った。それに対して、Fig. C-2 のように流したとき、円筒の中心に最大の圧力低下を得ることがで

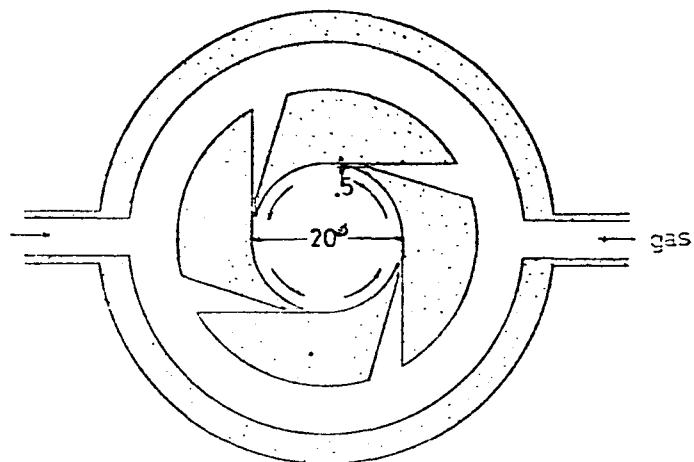


Fig. C-1 Profile of nozzles

Fig.C-2 Schematic diagram of gas flow system

きた。

座標系は図に示すように、円筒軸を z 軸とし、原点を円筒の中心に置く円筒座標系を用いる。

気体の流れ方は原点に対して左右対称であるので、測定は $z > 0$ の部分 ($z = z_1, z_2, z_3$)についてのみ行

っている。測定方法は第3章と同じであるが、ここにおいても r 方向速度 v_r は無視して議論を進めることにする。

Fig. C-2 のように流れてときの軸上での ($r=0$) 静圧 p'_0 と内壁 ($r=r_w$) での静圧の z 方向分布をそれぞれ Fig. C-3 に示す。これによると、円筒の中心 ($z=0$) で圧力差

$\Delta p' = p'_w - p'_0$ が最も大きくなり $3/100$ 気圧に達している。これは本研究で得られたものよりも 3 倍大きい圧力差であり、プラズマの安定化に極めて都合がよい。何故なら、円筒中心がプラズマの最高温度の位

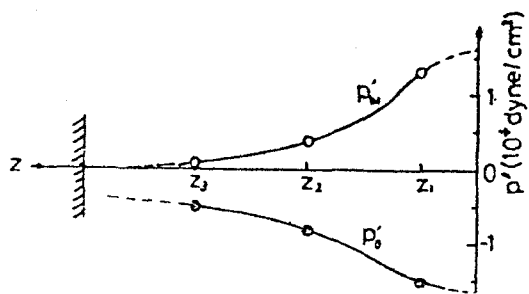
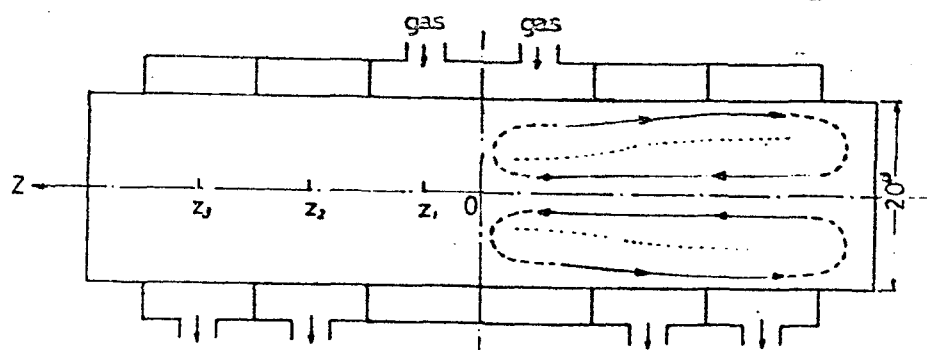


Fig. C-3
Gas pressures at points z_1, z_2, z_3

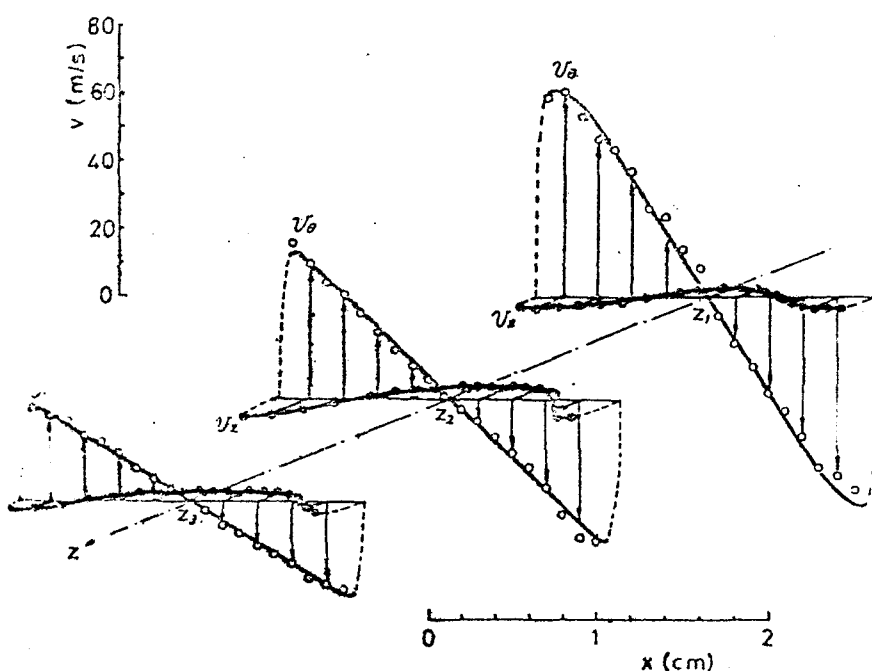


Fig. C-4 Distribution of gas velocity v_θ, v_z at points z_1, z_2, z_3

置であると予想されるからである。

これに対して、気体速度の τ 方向分布は Fig. C-4 のようになる。このとき、回転速度 V_θ として、ノズル入口付近 ($Z = Z_1$) において、最高 60 m/s を測定した。しかし、気体(空気)の粘性によって、中心軸に至るまで一定の角速度 ($\sim 8000 \text{ rad/s}$) で剛体のように回転していることが判明した。しかし、 Z 方向に位置がずれると、最高回転速度は小さくなる。にもかかわらず、気体の出口も気体入口と同じ構造なので (Fig. C-1 と矢印の向きが逆である) 気体の回転は中心まで一様に行っている。

ここで、気体の回転による管内中心気圧の低下を理論的に求めてみる。

今、半径 r_w の円管内に一様な角速度 ω で回転している気体を考えると、その速度の半径方向分布 $V_\theta(r)$ は気体の粘性を無視した場合、次式で表わされる。

$$V_\theta(r) = \text{const} \cdot r$$

$r = r_w$ のときに $V_\theta = V_\theta(r_w)$ であるから

$$V_\theta(r) = \frac{V_\theta(r_w)}{r_w} \cdot r \quad (C-1)$$

次に半径方向の力のつりあいを考える。半径 r の位置にある密度 ρ の単位体積の気体は、回転によって τ 方向に遠心力 $\rho V_\theta^2 / r$ を生じる。この遠心力は τ 方向の圧力勾配によって生じる力とつり合ひなければならぬので、このとき、次式が成立する。

$$\frac{\partial p}{\partial r} = \frac{\rho(\rho) V_\theta(r_w)^2}{r_w^2} \cdot r \quad (C-2)$$

ここで、 ρ は圧力 p の関数であり、気体の状態方程式から次のようく表わされる。

$$\rho(p) = \frac{M}{RT} \cdot p$$

ここで、 M は気体の分子量、 R は気体定数、 T は気体の温度である。したがって

$$\frac{1}{P} \frac{\partial P}{\partial r} = \frac{M}{RT} \cdot \frac{V_0(r_w)^2}{r_w^2} \cdot r \quad (C-3)$$

と言ふことができる。これを r について積分すれば、

$$\ln P = \frac{1}{2} \frac{M}{RT} \cdot \frac{V_0(r_w)^2}{r_w^2} \cdot r^2 + C$$

となる。ここで、境界条件

$$r=0 ; P=P_0$$

$$r=r_w ; P=P_w$$

を考えると

$$\frac{P_0}{P_w} = \exp \left(-\frac{1}{2} \frac{M}{RT} \cdot V_0(r_w)^2 \right) \quad (C-4)$$

が導かれる。したがって、 $V_0(r_w)$ と P_w とから 管内中心気圧の低下 $\Delta P = P_w - P_0$ を得ることができる。この理論を実験に適用してみよう。

Fig.C-4 から V_0 の分布は、 $Z = Z_2, Z_3$ において直線となっている。そこでこの二つの位置における内圧の低下を考えてみる。まず、 $Z = Z_2$ の場合、 $V_0(r_w) \sim 45 \text{ m/s}$ 、 $P_w = 1.004 \times 10^6 \text{ dyne/cm}^2$ であり、これを (C-4) 式に代入して、 $P_0' = 0.990 \times 10^6 \text{ dyne/cm}^2$ を得る。したがって $\Delta P' = 1.2 \times 10^4 \text{ dyne/cm}^2$ であり、これは実験値より得られる値と等しい。また、 $Z = Z_3$ においても 同様に計算でき $\Delta P' = 0.5 \times 10^4 \text{ dyne/cm}^2$ である。この値は実験値 $0.6 \times 10^4 \text{ dyne/cm}^2$ と実験誤差の範囲で一致している。

次に軸方向速度 V_Z については、Fig.C-4 のように反対していく。ノズルから円筒内に入ってきた気体は $r > 4 \text{ mm}$ で Z 方向に流れていることがわかる。このことは、 $Z = Z_2, Z_3$ の位置でも同様である。しかし、 $r < 4 \text{ mm}$ では速

に $-z$ 方向への軸流が存在する。これは Fig. C-3 のようく、気体の回転による静圧低下が $z=z_1$ ($z=0$ と予想される) で最大となるからである。このような軸方向の流れの流線を Fig. C-2 に書き入れている。

これらのことから、本装置 (Fig. C-2) における回転気体流は、プラズマの安定化のうえより プラズマの熱エネルギーの保持にも非常に好都合であると思われる。

(2) 回転気体流による熱伝達の変化

本研究におけるマイクロ波プラズマの場合、大気圧気体中に生成されるので、そのエネルギーの損失は主に熱伝導によって行われる。このとき、プラズマの安定化のための回転気体流が存在するので、強制対流による熱伝達を考慮しなければならない。したがって、プラズマからのエネルギー損失機構は、流れのない場合と比較して少し複雑にはっている。

本項では、回転気体流の熱伝達に及ぼす影響を調べるために Fig. C-3 の円筒内に細い熱線を挿入し、管内の温度分布を流れがある場合とない場合について測定した。直径 1 mm^{ϕ} の十分長い（円筒の長さより長い）タンゲステン線を Z 軸に平行に設置し、直流通電源より、0~40 A の電流を流し熱線としているが、このとき、タンゲステン線からの熱放射の影響を避けるために、その表面温度は 500°C 以下に保つよう電流調整を行っている。

熱電対は、低温の測定であるから CA 線を用い、Z=Z₀ の位置においてそれを半径方向に移動させ、円筒内気体温度の Y 方向空間分布を求める。ここで、タンゲステン線を管内に入れることにより生ずる気体流の乱れを少なくてするため、コンプレッサから送る空気の流量は 100 l/min を抑えている。

前項の結果より、Fig. C-2 のように流線を考えられたので、タンゲステン線の位置を $r=0, 2.5, 5.5$ とえて測定し、その名々について、Fig. C-5, Fig. C-6, Fig. C-7 のデータを得たが、それらについて考察をする。

a. タンゲステン線が中心にある場合 ($r=0$)

測定結果は Fig. C-5 に示す通りである。これは、流れがある場合とない場合について同じ大きさの電流をタンゲステン線に流したときのものであるが、これによると

と、まず流れがない場合、タンゲステニ表面温度は約 350°C であり、その周辺の気体の温度は r に対して対数的に減少していきる。(これは理論より)

$$T = -\frac{Qk}{2\pi K} \ln r + C$$

で説明される)しかし、表面温度は、流れがある場合は著しく低下する。例えば、流量が 100 l/min になると表面温度は 100°C 以下にしかならぬ。

次に、流れがある場合は、 $r=4 \text{ mm}$ の所を境界として温度分布が変化している。これは軸方向速度 V_z が Fig. C-2 のようになつているからであり、 $r > 4 \text{ mm}$ では冷たい気体流によつて冷却されるが、 $r < 4 \text{ mm}$ では気体流量が変化しても、 r 方向温度勾配が気体流のない場合と比較して小さくなり、熱量は保持されている。これは流量が小さい場合について顕著であり、例えば、 60 l/min の流量では、 $1 \text{ mm} < r < 5 \text{ mm}$ において、流れのある場合の温度の方が、流れのない時のものよりもさかほくなっている。

b. タングステン線が中心よりずれた場合 ($r=2.5 \text{ mm}$)
この場合、タンゲステンの表面温度を 320°C とくらべて、電流調整を行なう測定し、Fig. C-6 のような結果を得た。これによると、 $r=0$ での温度は流れのある場合の方が高くなつていて、したがつて、流れのある場合は、熱量が中心に保存されてしまうと思われる。しかし、このとき、 $r=4 \text{ mm}$ には、やはりリレーティラクタの現象はないのであるが、 $r > 5 \text{ mm}$ では又方向の流れによつて熱量は運ばれ、流れがない場合と比較して低い温度になつてしまつ

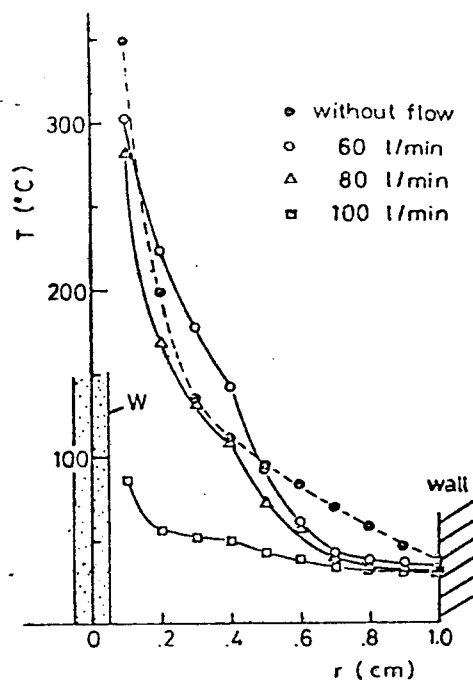
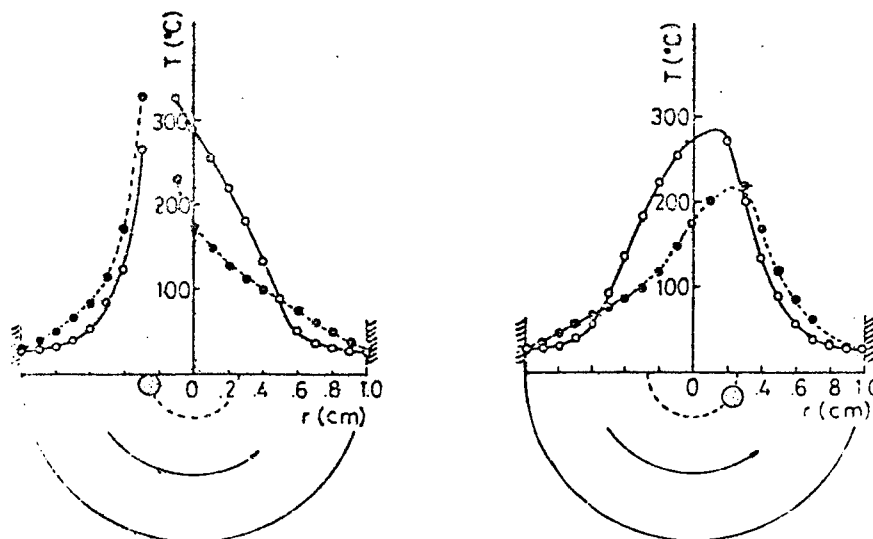


Fig. C-5 Temperature profile



ることがわかる。

Fig.C-6 Temperature profiles with and without gas flow

C. タングステン線が中により大きくずれた場合($r=5.5\text{mm}$)

Fig.C-7 は、気体流がある場合について、測定方向を変えて温度分布を測定したものである。このように、タングステン線が $r=4\text{mm}$ よりも外側にある場合は、気体流によつてタングステン表面温度は著しく低下している。しかし、回転気体流によつて、左右の対称性のよい温度分布となり、中心部では平坦な形を持っている。このことから、中心部での r 方向熱伝導は小さく、回転気体流は、熱量を中心軸付近に保存する効果があることになりかえる。このような熱伝達に対する回転気体流の効果は、Fig.C-2 に示すような流線によつていることは明らかである。

以上の実験によって、Fig.C-2 のような回転気体流生

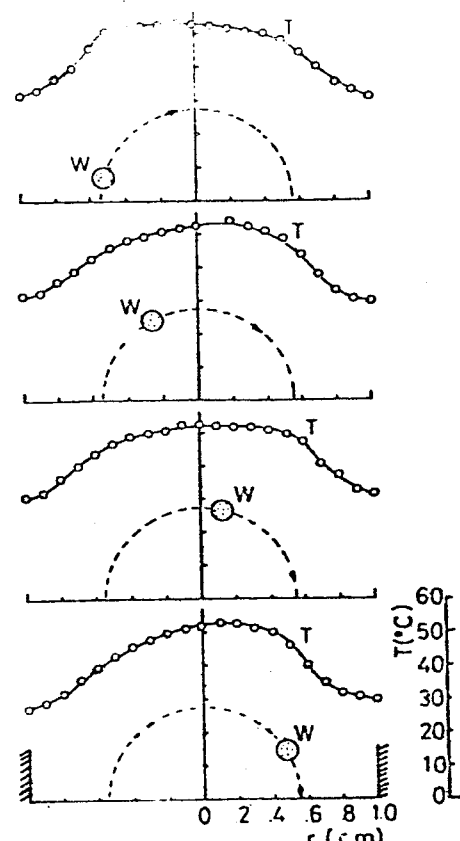


Fig.C-7 Temperature profile with gas flow

灰ノズルによって、円筒内に生成されるプラズマの安定化とともに、熱的ヒビンテ効果が期待できる。